



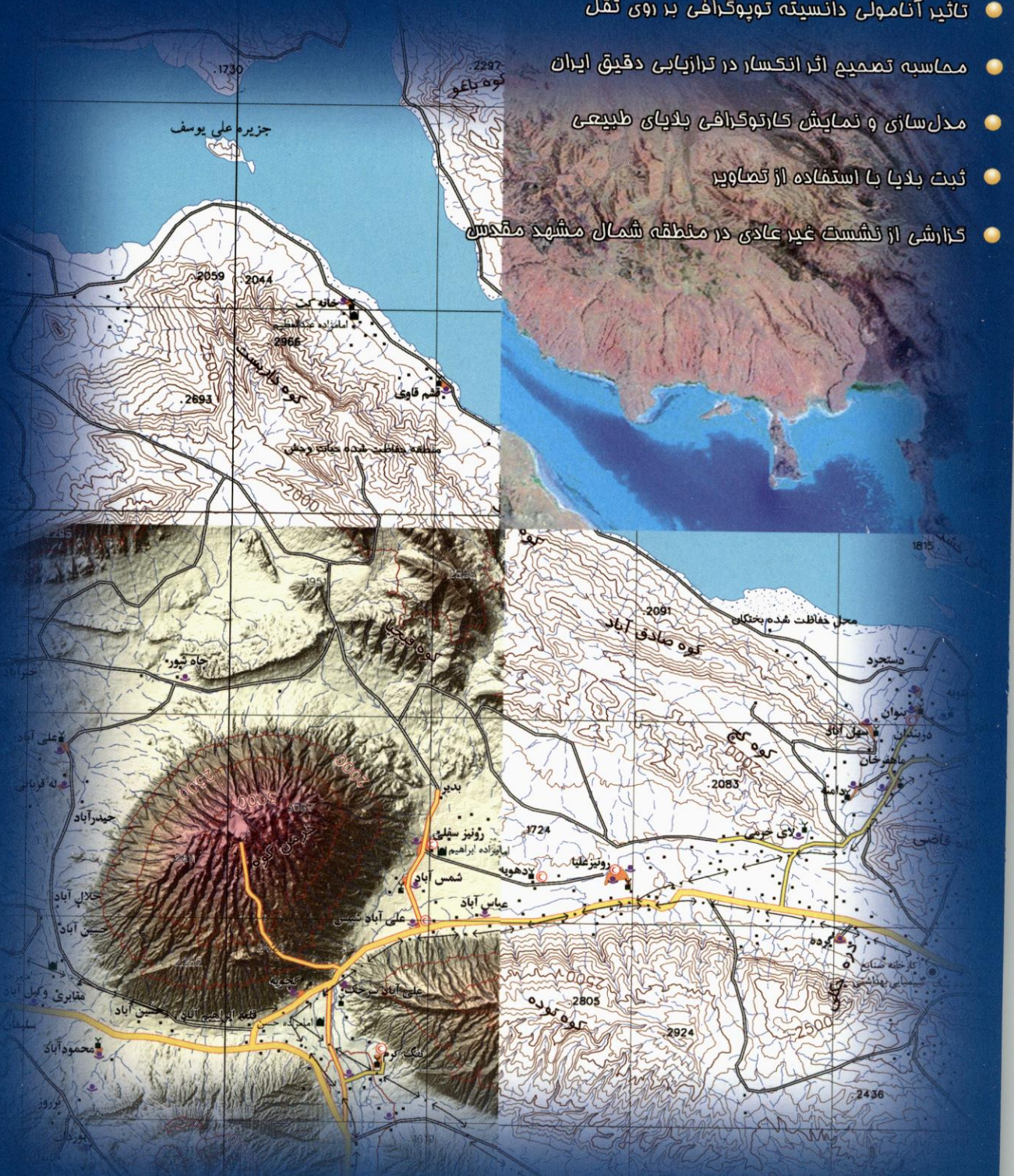
نقشه‌برداری

ماهنامه علمی و فنی سازمان نقشه‌برداری کشور

شماره استاندارد اینternational Standard Number (ISO 5275-1949)

سال شانزدهم، شماره ۶ (پیاپی ۷۴)، آذر ۱۳۸۴

۷۴



FOIF



نهاپر داز رایانه (NPR)

بهترین، جامع ترین، پیشرفته ترین، ارزان ترین
تمایزه انصصاری رسمی با کوافیتامه بین المللی



قیمت: مدل لیزر ۱۶۵۰/۰۰۰/- : OTS-538L
مدل بدون لیزر ۲۳۱۵/۰۰۰/- : RTS-538
(با یک سال گارانتی و ۵ سال ضمانت قطعات)



تودولیت و ترازیاب



سری ۷۰۰



قیمت: مدل لیزر ۴۲۵۰/۰۰۰/- : OTS-635
مدل بدون لیزر ۳۸۵۰/۰۰۰/- : RTS-635
(با یک سال گارانتی و ۵ سال ضمانت قطعات)

www.foif.com.cn



شاپل لیزری

CD های آموزشی فارسی توتال استیشن های OIF و نرم افزار فتو گرامتری PHOTOMOD و اطلاع رسانی عمومی شرکت NPR



با تعمیرگاه مجذب جهت
هر گونه خدمات و پشتیبانی فنی

VIASAT

RACURS

VEXCEL Imaging

RIEGL

BOIF



v.loktor.com



www.racurs.ru



www.vexcel.co.at



www.riegl.com



AL 120, 132



T16, T2



استرسکوب رومیزی

ایندہ دار بازار الکس بار

قیمت: ۹۹۸۰۰۰/- تومان

ترازیاب

قیمت: ۱۱۵۰۰۰۰/- تومان

تودولیت مکانیکی

قیمت: ۸۲۵۰۰۰/- تومان

تهران - خیابان شریعتی - خیابان ملک - کوچه جلالی - پلاک ۳۲ - طبقه اول - کد پستی: ۱۵۶۵۷-۶۶۵۱۳

تلفن: ۰۸۱۷۹۳۱۷۹۷ - فاکس: ۰۹۱۲-۱۱۶-۲۴۵-۷۵۳۴۱۵ - همراه: ۰۹۱۲-۲۴۵-۷۵۳۴۱۵ - e-mail: info@nprco.com - web: www.nprco.com

نقشه‌برداری

بِسْمِ اللّٰهِ الرَّحْمٰنِ الرَّحِيْمِ

شماره استاندارد بین المللی : ۵۲۵۹ - ۱۰۲۹

ISSN:1029-5259

Volume 16 Number 74

DECEMBER 2005

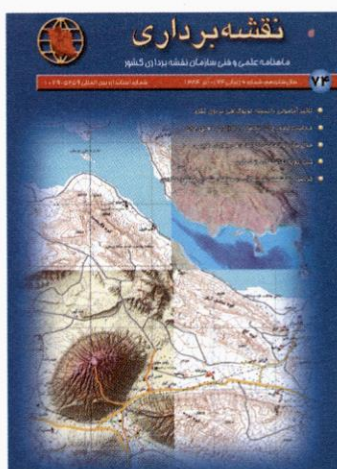
ماه‌نامه علمی - فنی
سال شانزدهم (۱۳۸۴) شماره ۶ (پیاپی ۷۴)
آذر ۱۳۸۴

صاحب امتیاز: سازمان نقشه‌برداری کشور

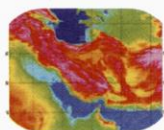
مدیر مسئول: دکتر محمد مدد
سردپیر: مهندس مرتضی صدیقی
هیئت تحریریه:
دکتر محمد مدد، مهندس محمد سریولکی، مهندس
حمدیرضا نانکلی، مهندس غلامرضا فلاحتی، دکتر
سعید صادقیان، مهندس سید بهداد غضنفری،
مهندس مرتضی صدیقی، مهندس بهمن تاج فیروز،
مهند محمد حسن خدام‌محمدی، مهندس
فرهاد کیانی‌فر، دکتر علیرضا قراگزلو، دکتر یحیی
جمور، دکتر کورش خوش‌الهام، دکتر سعید همایونی،
دکتر عباس رجبی‌فرد، دکتر حسین نهادنچی، مهندس
فرخ توکلی

همکاران این شماره:

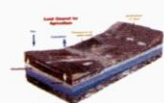
محمدسریولکی، حمیدرضا نانکلی، لطف‌الله
عمادعلی، مرتضی صدیقی، علیرضا منتظرین،
سیاوش عربی، رامین رحیمی جعفری، یحیی جمور،
زهراء موسوی، زهره رحیمی، علی طالبی، رامین
یوسفی، کامیز جلیله‌وند، علی اسلامی راد، سید
محمد ایازی، حشمت‌الله نادر شاهی، محمود
بخان‌ور، حسین جلیلیان، رضا‌الحمدیه



۱۰۰۵
۱۰۰۴



۶



۲۰



۴۶

پند نکته‌هایی

- متن اصلی مقاله‌ها را همراه با متن ترجمه شده ارسال فرمایید.
- فهرست منابع مورد استفاده همراه متن باشد.
- فایل حروف‌چینی شده مقاله را همراه با نسخه کاغذی آن به دفتر نشریه ارسال بفرمایید.

نشانی: تهران، میدان آزادی، خیابان معراج،
سازمان نقشه‌برداری کشور
صندوق پستی: ۱۳۸۵ - ۱۶۸۴
تلفن اشتراک ۸ - ۰۰۰۰۰۳۱ (داخلي ۴۶۸)

دورنگار: ۰۰۰۱۹۷۲

پست الکترونیکی: magazine@ncc.org.ir

نشانی اینترنتی: www.ncc.org.ir

گزارش‌های فنی و خبری

- تأثیر انامولی دانسیته توپوگرافی بر روی ثقل ۵
- محاسبه تصحیح اثر انکسار در ترازیابی دقیق ایران ۱۱
- مدل سازی و نمایش کارت‌توپوگرافی بلایای طبیعی ۲۳
- مدرسیزاسیون GPS ۳۲
- تجربه‌ای از کاداستر گیلان، طرح شلمانزرو ۴۱
- گزارش همایش پنجاه‌مین هفته فتوگرامتری ۴۶
- همایش‌های علمی انجمن بین‌المللی فتوگرامتری و دورکاوی (ISPRS) در سال ۲۰۰۶ میلادی ۴۷
- تازه‌های فن آوری ۵۲
- خبر ۵۳
- معرفی کتاب ۵۴

شرح روی جلد:

تالقیق Hillshade، هیپسومتری، توپوگرافی و تصویر ماهواره‌ای بخشی از نقشه ۱:۲۵۰۰۰ شیراز، دریاچه بختگان

طراحی جلد: مهرداد جعفری سلیم

سرمقاله

بدون شک تهیه نقشه و تولید اطلاعات مکانی به موازات علوم و فنون مهندسی نقشه‌برداری و ژئوماتیک در سالهای گذشته در کشور گسترش چشمگیری داشته است. نشانه‌های مختلفی برای دلالت بدین موضوع وجود دارد که برای مثال می‌توان به وضعیت تهیه نقشه و اطلاعات مکانی بر اساس «اطلس‌های استانی وضعیت نقشه و اطلاعات مکانی» که در چندماهه اخیر تهیه و در اختیار نمایندگان محترم مجلس شورای اسلامی و مسئولان کشور قرار گرفته است اشاره نمود (نشریه نقشه‌برداری در شماره‌های گذشته آگهی مربوط به تهیه این اطلاعات را چاپ نموده است). مثال دیگری که می‌توان به آن اشاره نمود، برگزاری همایشها و گردهماییها در زمینه گرایش‌های مختلف مهندسی نقشه‌برداری و ژئوماتیک در سالهای گذشته و سال جاری است. اگرچه فضای مثبتی نسبت به برگزاری همایشها و نشستها در کشور وجود ندارد و کارآیی و ثمر بخشی همایشها در مقایسه با هزینه‌های برگزاری آنها زیر سوال است اما قطعاً این موضوع در خصوص همایش‌های تخصصی که بدور از هرگونه اسراف و ریخت و پاش اضافی در فضاهای کاری و با کمترین هزینه برگزار می‌گردد صادق نیست. از ابتدای سال جاری شاهد برگزاری «همایش ژئوماتیک ۸۴» و «سومین همایش نامنگاری و یکسان سازی نامهای جغرافیایی» در سازمان نقشه‌برداری کشور بوده‌ایم. این همایشها و نمایشگاه‌های جانبی که با حضور بیش از چند هزار شرکت کننده و بازدیدکننده و ارائه دهها مقاله همراه بوده است حکایت از گسترش علوم و فنون مهندسی نقشه‌برداری و ژئوماتیک در کشور دارد.

«سومین همایش نامنگاری و یکسان سازی نامهای جغرافیایی» نیز به دنبال برگزاری همایش‌های اول و دوم آن در اسفند ماه سال ۱۳۸۰ و اردیبهشت سال ۱۳۸۲ در ۲۲ آبان ماه سال جاری به منظور تبادل افکار و اندیشه صاحبنظران و محققان در زمینه نامهای جغرافیایی و بحث در زمینه یکسان سازی و استانداردن نمودن اسامی جغرافیایی برگزار گردیده و عمده‌تا در این همایش نتایج کار کار گروه تخصصی نامنگاری و یکسان سازی نامهای جغرافیایی شامل ۶ گروه کاری آوانگاری، نامهای تاریخی، وب سایت و پایگاه نامهای جغرافیایی، نامهای خارجی، اصطلاح شناسی و نام عوارض دریایی ارائه گردید. همچنین در این همایش مقالاتی با موضوعاتی از قبیل نام خلیج فارس و دریای خزر در نقشه‌ها و اسناد، فعالیتهای گردآوری و یکسان سازی نامهای جغرافیایی در سطح ملی و بین‌المللی و نامهای جغرافیایی تاریخی نیز ارائه گردید. شایان ذکر است دومین همایش سیستمهای اطلاعات مکانی GIS نیز در ۲۷ آذرماه سال جاری در محل سازمان نقشه‌برداری کشور برگزار خواهد شد. تصمیم به برگزاری این همایش به دنبال نتایج نظرسنجی‌های انجام گرفته از شرکت کنندگان در همایش، بازدید کنندگان از نمایشگاه و ارائه دهندهای مقالات همایش‌های سالیانه ژئوماتیک مبنی بر نیاز به برگزاری همایش با فاصله زمانی کمتر از یک سال اتخاذ شد. همچنین اولین دور برگزاری این همایش در سال گذشته با استقبال بسیار خوبی مواجه گردید. امسال نیز دومین همایش سیستمهای اطلاعات مکانی GIS به همراه نمایشگاه جانبی برگزار می‌گردد که با توجه به مقالات واصله به دبیرخانه همایش انتظار می‌رود این همایش نیز مورد توجه و استقبال متخصصان مربوطه قرار گیرد. موضوعات مورد بحث در این همایش عبارتند از: GIS و سیستمهای باز (Open GIS)، تعامل پذیری سیستمهای GIS، زیرساخت داده‌های مکانی، خدمات مکانی، GIS همراه، سیستمهای اطلاعات مکانی در اینترنت، GIS سه بعدی، توسعه دانش مکانی، کاربردهای GIS (مدیریت بحران، GIS شهری، محیط زیست و ...). نشریه نقشه‌برداری ضمن دعوت از خوانندگان عزیز برای شرکت در دومین همایش سیستمهای اطلاعات جغرافیایی، برای برگزار کنندگان این همایشها آرزوی موفقیت نموده و در شماره‌های آتی گزارش‌های مربوط به برگزاری همایشها را نیز ارائه خواهد نمود.

تأثیر انامولی دانسیته توپوگرافی بر روی ثقل

نکته‌ای طریف در تعیین ژئوئید دقیق

نویسنده: مهندس مرتضی صدیقی

مدیر پژوهش و برنامه ریزی سازمان نقشه‌برداری کشور

با همکاری:

مرکز تحقیقات نقشه‌برداری سازمان نقشه‌برداری کشور - دانشکده مهندسی نقشه‌برداری دانشگاه صنعتی فواید نصیر طوسی

m-sedigh@ncc.neda.net.ir

دیسمبر برآورد می‌کند که در تعیین ژئوئید دقیق باید لحاظ شود.
واژگان کلیدی: ژئوئید؛ تصحیحات توپوگرافی؛ دانسیته توپوگرافی.

مقدمه

در تعیین ژئوئید دقیق با دقت سانتی متر موارد بسیاری مطرح است که ژئودزین‌ها در پی یافتن راه حلی برای رفع آنها در رسیدن به دقت مطلق سانتی متر برای ژئوئید هستند. یکی از مهمترین نکات عبارتست از انتقال انامولی ثقل از روی سطح زمین به سطح ژئوئید از میان توده‌های توپوگرافی. در واقع فرض اصلی در حل انتگرال استوکس در تعیین ژئوئید از داده‌های ثقل این است که انامولی‌های ثقل، منسوب به سطح ژئوئید باشند؛ به عبارتی دیگر، شتاب ثقل مشاهده شده به گونه‌ای به سطح ژئوئید منتقل می‌شود که هیچ جرمی در خارج ژئوئید باقی نماند (Heiskanen and Moritz, 1967).

هلمرت پیشنهاد داد که توپوگرافی زمین می‌تواند با یک لایه بسیار نازک (فرضی) با دانسیته‌ای برابر با حاصلضرب دانسیته متوسط واقعی در ارتفاع توپوگرافی جایگزین شود. این در واقع یک راه حل ریاضی برای تأمین شرط لازم برای حل انتگرال استوکس خواهد بود؛ به این لایه فرضی «Condensation layer» یا لایه جبران گفته می‌شود. اثر جاذبه جرم‌های توپوگرافی بالای سطح ژئوئید در روش استوکس - هلمرت در سه ترم اصلی بیان می‌شود (Martinec, 1993). این سه ترم عبارتند از: اثر مستقیم توپوگرافی روی ثقل DTE، اثر اولیه غیر مستقیم توپوگرافی روی

Abstract

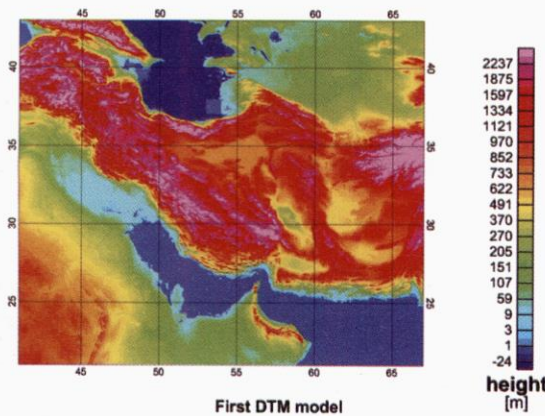
Topographical corrections require knowledge of topography i.e. height and density of topographical mass. Until now in most of geoid computations, we used a constant value for topographical density $\rho_0 = 2.67 \frac{g}{cm^3}$, but the real density varies from $1 \frac{g}{cm^3}$ (water) to $3 \frac{g}{cm^3}$ for dense materials. Today Geographic Information System (GIS) can help us for extracting a digital topographical density model from geological maps. Results show that the effect of topographical density lateral variations on geoidal heights is about decimeter and must be considered for precise determination of geoid.

Key word: Geoid, Topographical corrections , Topographical mass density.

چکیده

اعمال تصحیحات توپوگرافی، نیاز به شناخت توپوگرافی یعنی ارتفاع و دانسیته دارد. تاکنون در بیشتر محاسبات ژئوئید از مقدار ثابت دانسیته $\rho_0 = 2.67 \frac{g}{cm^3}$ استفاده شده است. این در حالی است که مقدار واقعی دانسیته زمین از حدود $1 \frac{g}{cm^3}$ برای مناطق آبی تا حدود $3 \frac{g}{cm^3}$ برای توده‌های سنگین متغیر بوده و امروزه با استفاده از سیستمهای اطلاعات مکانی GIS تهیه مدل‌های رقومی دانسیته از اطلاعات زمین‌شناسی امکان‌پذیر است. بررسیهای انجام شده میزان اثر انامولی دانسیته را بر ارتفاع ژئوئید در حدود

(بیش از ۸۰٪ کشور)، تولید DEM از این اطلاعات روش بهینه‌ای خواهد بود. بدیهی است برای تکمیل DEM با پوشش کامل از کشور نیاز به روش دیگری است، به طور مثال می‌توان از داده‌های ارتفاعی SRTM استفاده کرد. در طرحهایی نظری تعیین ژئوئید که دانستن اطلاعات خارج از محدوده کاری ضروری است استفاده از داده‌های جهانی اجتناب ناپذیر است.



مدل رقومی زمین، ایران و بخش‌های از کشورهای هم‌جوار (برمبنای نقشه‌های قدیمی ۱:۲۵۰۰۰۰ ایران و اطلاعات جهانی)

مدل دانسیته رقومی DTDM

این مدل، توزیع دانسیته توپوگرافی را توصیف می‌کند. در واقع، برای محاسبه دقیق و واقعی تاثیر توپوگرافی بر ثقل، به یک مدل سه بعدی از توزیع دانسیته در توپوگرافی زمین نیاز داریم که خود این نیاز به نقشه‌های سه بعدی زمین‌شناسی دارد. با بررسیهای به عمل آمده تنها اطلاعات موجود در سازمان زمین‌شناسی کشور در مورد جنس لایه‌های زمین مربوط به نقشه‌های بخشی از کشور در مقیاس ۱:۲۵۰۰۰۰ است که اطلاعات جنس سنگهای سطح زمین را در بر دارد. این اطلاعات در مقیاسهای بزرگتر نظری ۱:۱۰۰۰۰۰ نیز موجود هستند که یکپارچه نبوده و کل کشور را در بر نمی‌گیرند. همچنین اطلاعات زمین‌شناسی در مقیاس ۱:۱۰۰۰۰۰ نیز موجود است که تا زمان تالیف این مقاله منتشر نشده‌اند. بنابراین به نظر می‌رسد استفاده از

پتانسیل^۲ (PITE) و اثر ثانویه غیر مستقیم توپوگرافی روی ثقل SITE.^۳

$$\Delta g^h(r_t, \Omega) = \Delta g(\Omega) + \frac{2}{R} H^o(\Omega) \Delta g^B(\Omega) + \delta A(r_t, \Omega) + \delta \gamma(r_t, \Omega) \quad (1)$$

در این رابطه Δg انمولی ثقل هوای آزاد است و ترم دوم رابطه تصحیحی به خاطر اختلاف بین شبه ژئوئید^۴ و ژئوئید و δA همان SITE و $\delta \gamma$ DTE است.

در بیشتر مقالات ارائه شده برای دانسیته توپوگرافی زمین با فرض همگن بودن توپوگرافی‌ها یک مقدار ثابت دانسیته $\rho_0 = 2.67 \text{ g/cm}^3$ به آنها نسبت می‌دهند. این مقدار در واقعیت

صحیح نبوده و مقدار واقعی دانسیته از حدود 1 g/cm^3 برای دریاچه‌ها و دریاها و تا حدود 3 g/cm^3 برای توده‌های سنگین نظری gabro متغیر است. در واقع برای محاسبه اثرات توپوگرافی روی ژئوئید و تعیین سه ترم SITE، DTE و DTDM به یک مدل رقومی ارتفاعی زمین^۵ و یک مدل رقومی دانسیته توپوگرافی^۶ یا به اختصار مدل دانسیته رقومی نیاز داریم. در حال حاضر، DTDM دقیق‌تر با دقت بهتر از 10 m و بصورت نقطه‌ای با فواصل 10 m از نقشه‌های توپوگرافی پوششی کشور در مقیاس ۱:۲۵۰۰۰ استخراج می‌شوند که برای تعیین ژئوئید دقیق بسیار مناسب هستند ولی چنین وضعیتی برای DTDM موجود نیست و در واقع مدلی از دانسیته توپوگرافی زمین از کشورمان در اختیار نداریم.

از نظر تئوری میزان تأثیر تغییرات جانبی دانسیته جرم‌های توپوگرافی بر روی ارتفاع ژئوئید به حدود دسی‌متر می‌رسد (Martinec 1993)، بنابراین شکی نیست که برای تعیین ژئوئید دقیق به دانسیته جرم‌های توپوگرافی نیاز داریم.

مدل ارتفاعی رقومی DEM

مدل ارتفاعی رقومی، مجموعه داده‌های سه بعدی است که در آن ارتفاع نقاط زمین، در فواصل افقی منظم نمونه برداری شده است. روش‌های متفاوتی برای تولید DEM وجود دارد که یکی از متداول‌ترین روشها استفاده از نقشه‌های رقومی است. با توجه به وجود نقشه‌های توپوگرافی پوششی کشور در مقیاس ۱:۲۵۰۰۰

برای دانشیتۀ یک ستون از توپوگرافی رسید.

$$\rho(\Omega) = \frac{1}{H(\Omega)} \int_{r=R}^{R+H(\Omega)} \rho(r, \Omega) dr \quad (\text{V})$$

که در این فرمول $(\Omega) \rho$ مقدار متوسط دانسیته است که در طول یک ستون به ارتفاع $(\Omega) H$ میانگین گرفته شده است. پارامترهای دیگر در فرمول فوق عبارتند از: ρ که دانسیته واقعی توتپوگرافی است و R شعاع متوسط زئوئید که نتیجه تقریب زئوئید با یک کره (برای سادگی محاسبات) است.

مدلهای جبران^۷ بر اساس تئوریهای Airy-Heiskanen، Pratt-Hayford و Helmert

در اینجا مساله یافتن دانسته جبران (Ω) P_C و عمق آن ($D(\Omega)$ به عنوان دو پارامتر آزاد در مدل جبران قبل از محاسبه اثرات توپوگرافی است. فرض اولیه این است که مکانیزم جبران اثر جرمای توپوگرافی کاملاً محلی است.

براساس مدل Pratt-Hayford جرم‌های توپوگرافی با تغییر توزیع دانسیتی در یک لایه با خصامت ثابت $D(\Omega) = D_0 = \text{const.}$ (معمولًا برابر 100 km^3) جبران می‌شوند. در این صورت خواهیم داشت:

$$\rho_c(\Omega) = \rho_0 \frac{H(\Omega)}{D_0} \quad (\text{r})$$

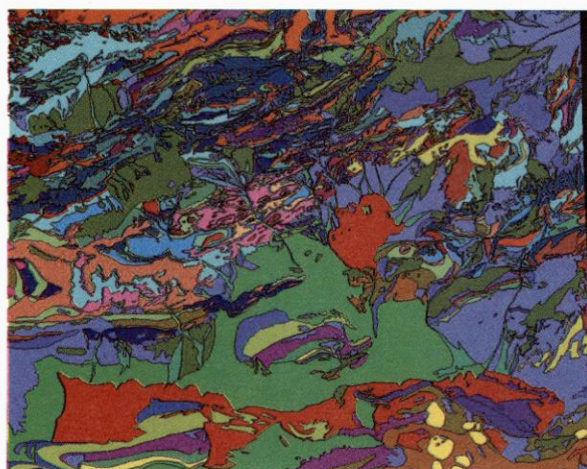
که در آن $\rho_0 = 2.67 \frac{g}{cm^3}$ است.

با فرض فوق، ترم ناهمواری زمین $V^{I,R}(r, \Omega)$ عبارتست از:

$$V^{I,R}(r,\Omega) = G \frac{\rho_0}{D_0} \int_{\Omega_0}^D [H(\Omega') - H(\Omega)] \int_{r'=R-D_0}^R \frac{r'^2}{L(r,\psi,r')} dr' d\Omega'$$

در مدل Airy-Heiskanen فرض می شود که جرم‌های توبوگرافی به وسیله تغییر ضخامت لایه $D(\Omega)$ جبران می شود. در این حالت دانسته لایه جبران ثابت و پرا بر اختلاف دانسته در لایه Moho

نقشه های زمین شناسی در مقیاس ۱:۲۵۰۰۰۰ گزینه اصلی برای استخراج مدل دانسیته برای کشور باشد. این نقشه ها همان طور که ذکر شد به صورت دو بعدی هستند و تنها حاوی اطلاعات سطح بالایی پوسته زمین هستند. البته با داشتن مقاطع عرضی و طولی جنس لایه های زمین از سطح تا عمق چند کیلومتری زمین می توان این مدل دو بعدی را در بعد سوم نیز تقریب نمود. قبل از چنین مدلی در کشورهای دیگر تهیه شده است. به عنوان نمونه می توان به مدل تهیه شده در کشور کانادا اشاره کرد که با استفاده از نقشه های زمین شناسی در مقیاس ۱:۵۰۰۰۰۰۰ تهیه شده است (J.Huang, 2001). بنابراین به نظر می رسد استفاده از نقشه های زمین شناسی کشور قابل استفاده در نرم افزارهای GIS (در مقایسه با کانادا) اطلاعات دقیق تری از دانسیته را در اختیار ما قرار دهن.



نقشه ۱:۲۵۰۰۰ میلی متری منطقه سمنان

شکل فوق نمونه‌ای از یک برگ نقشه زمین‌شناسی منطقه سمنان در مقیاس ۱:۲۵۰۰۰۰ است که از نظر جنس سنگها نسبتاً از تنوع بالایی برخوردار است. در این نقشه‌ها هر پلیگون نمایانگر یک جنس خاص از سنگهای پوسته زمین است. البته تنوع نسبتاً بالایی در این تقسیم‌بندی لحاظ شده است. به طور مثال در نقشه فوق بیش از ۲۴۰۰ پلیگون قرار دارد که به ۱۵۹ نوع سنگ تقسیم شده‌اند و لیکن می‌توان به هر چند نوع از سنگها (با استفاده از جداول دانشیت) یک عدد به عنوان دانشیت نسبت داد و با استفاده از پروفیلهای موجود و تفسیرهای زمین‌شناسی به یک عدد متوسط

$$G \int_{\Omega_0} \left[\rho_C(\Omega') \frac{\partial L^{-1}(r, \psi, r')}{\partial r} \right]_{r'=R-D(\Omega')}^R d\Omega'$$

$$- \rho_C(\Omega) \frac{\partial L^{-1}(r, \psi, r')}{\partial r} \Big|_{r'=R-D(\Omega)}^R \Big|_{r=R+H(\Omega)} d\Omega'$$

به طور خاص، اگر برای جبران اثر توپوگرافی از مدل استفاده شود و مقدار دانسیته را برابر مقدار ثابت Pratt-Hayford فرض کنیم، مقدار DTE برابر خواهد بود با:

(10)

$$\delta A(\Omega) = G \rho_0 \int_{\Omega_0} \left[\frac{\partial L^{-1}(r, \psi, r')}{\partial r} \right]_{r'=R+H(\Omega)}^{R+H(\Omega')} d\Omega'$$

$$- \frac{H(\Omega') - H(\Omega)}{D_0} \frac{\partial L^{-1}(r, \psi, r')}{\partial r} \Big|_{r'=R-D_0}^R \Big|_{r=R+H(\Omega)} d\Omega'$$

اگر از مدل Airy-Heiskanen برای جبران اثر جرم‌های توپوگرافی استفاده کنیم، خواهیم داشت:

(11)

$$\delta A(\Omega) = G \rho_0 \int_{\Omega_0} \left[\frac{\partial L^{-1}(r, \psi, r')}{\partial r} \right]_{r'=R+H(\Omega)}^{R+H(\Omega')} d\Omega'$$

$$- \frac{\Delta \rho_{Moho}}{\rho_0} \frac{\partial L^{-1}(r, \psi, r')}{\partial r} \Big|_{r'=R-D(\Omega')}^R \Big|_{r=R+H(\Omega)} d\Omega'$$

زمانی که از مدل (دوم) جبران Helmert برای جبران اثر جرم‌های توپوگرافی استفاده شود خواهیم داشت:

است: یعنی $\rho(\Omega) = \rho_0$ و $\rho_C(\Omega) = \Delta \rho_{Moho}$ در نتیجه خواهیم داشت:

$$D(\Omega) = H(\Omega) \frac{\rho_0}{\Delta \rho_{Moho}} \quad (5)$$

و مقدار جهش دانسیته برابر است: $\Delta \rho_{Moho} = 0.28 \frac{g}{cm^3}$ در نهایت ترم ناهمواری زمین به صورت زیر ساده خواهد شد:

(6)

$$V^{l,R}(r, \Omega) = G \Delta \rho_{Moho} \int_{\Omega_0} \int_{r'=R-D(\Omega')}^{R-D(\Omega)} \frac{r'^2}{L(r, \psi, r')} dr' d\Omega'$$

در تئوری Helmert جرم‌های توپوگرافی بر روی یک لایه فرضی (روی ژئوئید) با ضخامت بسیار کم فشرده می‌شوند. در اینجا دانسیته لایه فشرده شده عبارت است از:

(7)

$$\sigma(\Omega) = \rho(\Omega) H(\Omega) \left(1 + \frac{H(\Omega)}{R} + \frac{H^2(\Omega)}{3R^2} \right)$$

اثر مستقیم توپوگرافی روی ثقل

اثر مستقیم توپوگرافی روی ثقل از رابطه زیر محاسبه می‌شود:

$$DTE \equiv \delta A(\Omega) = \frac{\partial \delta V(r, \Omega)}{\partial r} \Big|_{r=R+H(\Omega)} \quad (8)$$

که در آن: $V^C = V^t - V^t$ و $\delta V := V^t - V^C$ پتانسیل توپوگرافی و پتانسیل جبران و δV پتانسیل باقی مانده (توپوگرافی) است. که به صورت فرمول زیر قابل محاسبه است:

(9)

$$\delta A(\Omega) = G \int_{\Omega_0} \left[\bar{\rho}(\Omega') \frac{\partial L^{-1}(r, \psi, r')}{\partial r} \right]_{r'=R}^{R+H(\Omega')} d\Omega' -$$

$$- \bar{\rho}(\Omega') \frac{\partial L^{-1}(r, \psi, r')}{\partial r} \Big|_{r'=R}^{R+H(\Omega)} d\Omega' -$$

(۱۶)

$$\delta A_0(\Omega) = G \rho_0 \int_{\Omega_0} \left[\frac{\partial \tilde{L}^{-1}(r, \psi, r')}{\partial r} \right]_{r' = R + H(\Omega)}^{R + H(\Omega')} - R^2 [\tau(\Omega') - \tau(\Omega)] \frac{\partial \tilde{L}^{-1}(r, \psi, R)}{\partial r} \Big|_{r = R + H(\Omega)} d\Omega'$$

(۱۷)

$$\delta A_{\delta\rho}(\Omega) = G \int_{\Omega_0} \left[\delta \bar{\rho}(\Omega') \frac{\partial \tilde{L}^{-1}(r, \psi, r')}{\partial r} \right]_{r' = R}^{R + H(\Omega')} - \delta \bar{\rho}(\Omega) \frac{\partial \tilde{L}^{-1}(r, \psi, r')}{\partial r} \Big|_{r' = R} - R^2 [\delta \sigma(\Omega') - \delta \sigma(\Omega)] \frac{\partial \tilde{L}^{-1}(r, \psi, R)}{\partial r} \Big|_{r = R + H(\Omega)} d\Omega'$$

به همین ترتیب این روابط رانیز می‌توان برای تصحیحات PITE و SITE نوشت.

طبق بررسیهای به عمل آمده توسط Martinec و Huang و ... میزان اثر فوق بر ارتفاع ژئویتد تا حد دسیمتر خواهد بود و بنابراین برای رسیدن به دقتهای بالاتر در تعیین ژئویتد لازم است که از مدل دانسیته رقومی استفاده شود.

نتیجه‌گیری و پیشنهادات

با توجه به میزان تاثیر انانمولی دانسیته در محاسبات ژئویتد، تعیین مدل دانسیته جرمها توبوگرافی ضروری است. اطلاعات و نقشه‌های زمین‌شناسی که کل کشور را پوشش دهند، مورد نیاز بوده و می‌توان با استفاده از تعیین مدل رقومی دانسیته به داخل زمین (توبوگرافی) با استفاده از پروفیلهای زمین‌شناسی یا روشهای مستقل دیگر نظیر استفاده و تجزیه و تحلیل داده‌های نقل سنجی و مغناطیس سنجی (هوایی)، مدل رقومی به دست آمده را بهبود بخشیده و به صورت سه بعدی درآورد.

(۱۲)

$$\delta A(\Omega) = G \int_{\Omega_0} \left[\bar{\rho}(\Omega') \frac{\partial \tilde{L}^{-1}(r, \psi, r')}{\partial r} \right]_{r' = R}^{R + H(\Omega')} - \rho(\Omega) \frac{\partial \tilde{L}^{-1}(r, \psi, r')}{\partial r} \Big|_{r' = R} - R^2 [\sigma(\Omega') - \sigma(\Omega)] \frac{\partial \tilde{L}^{-1}(r, \psi, R)}{\partial r} \Big|_{r = R + H(\Omega')} d\Omega'$$

به همین ترتیب روابط مشابه‌ای برای تصحیحات PITE و SITE موجود هستند.

اثر انانمولی دانسیته بر تصحیحات توبوگرافی

در این قسمت به بررسی میزان اثر تغییرات جانبی دانسیته جرمها توبوگرافی بر تصحیحات توبوگرافی و ارتفاع ژئویتد بر مبنای مدل هلمرت می‌پردازیم.

دانسیته واقعی جرمها توبوگرافی عبارتست از: مجموع مقدار ثابت $\rho_0 = 2.67 \frac{g}{cm^3}$ و مقدار متغیر $\delta\rho(\Omega)$ که بیانگر

تغییرات جانبی دانسیته است.

$$\rho(\Omega) = \rho_0 + \delta\rho(\Omega) \quad (13)$$

و به همین ترتیب، دانسیته لایه جبران در روش هلمرت نیز

برابر است با:

$$\sigma(\Omega) = \sigma_0(\Omega) + \delta\sigma(\Omega) \quad (14)$$

با جایگذاری دانسیته محاسبه شده از روابط فوق در فرمولهای تصحیحات توبوگرافی، اثر تغییرات جانبی دانسیته محاسبه می‌شود. برای مثال برای تصحیح DTE خواهیم داشت:

$$\delta A = \delta A_0 + \delta A_{\delta\rho} \quad (15)$$

که

4. quasigeoid
5. Digital Elevation Model
6. Digital Topographical Density Model
7. compensation
8. terrain roughness term
9. Helmert 2nd condensation

منابع

1. Zdenek Martinec - Boundary-Value Problems for Gravimetric Determination of Precise Geoid - Springer-Verlag 1998
2. J. Huang , ... - Effects of topographical density on geoid in Canadian Rocky Mountains - Journal of Geodesy 2001
3. Morteza Sedighi - The expression for orthometric heights in Helmert's space - Term paper by P. Vanicek - KNT University 2004
4. Z. Martinec, ... - The effect of lake water on geoidal height - manuscripta geodetica 1995

همچین بسط روابط و فرمولهای محاسبه تصحیحات توپوگرافی و بررسی آنها از لحاظ تئوریکی پیشنهاد می‌شود. در این راستا، برای تعیین میزان اثر انمولی دانسیته در کشور، محاسبه عددی میزان آن بر روی ثقل و ژئوئید به عنوان قدم اول مفید است. بدینهی است در کنار بررسیهای فوق مواردی نظری تعیین شعاع محاسبه تصحیحات توپوگرافی با در نظر گرفتن مدل رقومی دانسیته و DTM، موارد استفاده از مدل‌های مختلف با توجه به وضعیت توپوگرافی منطقه مورد نظر، میزان اثر تغییر دانسیته بر ارتفاع ارتومنتریک و مقایسه نتایج حاصل با GPS می‌تواند لحاظ شوند.

پانوشتها

1. Direct Topographical Effect
2. Primary Indirect Topographical Effect
3. Secondary Indirect Topographical Effect

وجه اشتراک ا) به مساب شما
۹۰۰۰ بانک ملی ایران، شعب
سازمان نقشه‌برداری - کد
(قابل پذیرافت در کلیه شعب بانک ملی
واریز نمایید. مبلغ اشتراک، دوازده
شما ره نشریه در تهران و شهرستان
..... دیال است.
لطفاً، اصل رسیده بانکی (ابه هم)
درخواست تکمیل شده به نشان
زید ارسال فرمایید.
تهران - میدان آزادی، فیلیا بانک
سازمان نقشه‌برداری کشور
صندوق پستی: ۱۶۸۵-۱۶۸۴
تلفن اشتراک: ۰۱-۸۰۰۰۰۰۰۰۰۰
داخلی: ۱۴۶۸
دور نگار: ۰۰۰۱۹۷۲

برگ درخواست اشتراک نشریه علمی و فنی نقشه‌برداری

اشتراک یکسال نقشه‌برداری از شماره
تعداد نسخه نشریه نقشه‌برداری از شماره
نام و نام خانوادگی شغل
تحصیلات سن
..... نشانی
..... کد پستی
شماره رسیده بانکی مبلغ ریال
شماره اشتراک قبلی تاریخ
امضا
تلفن:



محاسبه تصحیح اثر انکسار در ترازیابی دقیق ایران

(با استفاده از مدل Kukkamaki)

نویسنده‌ان:

کارشناس مسؤول ژئوئید اداره کل نقشه برداری زمینی سازمان نقشه برداری کشور

a-montazeri@nncc.neda.net.ir

مدیر پژوهش و برنامه ریزی سازمان نقشه برداری کشور

m-sedigh@ncc.neda.net.ir

رئیس اداره ترازیابی اداره کل نقشه برداری زمینی سازمان نقشه برداری کشور

s-arabi@ncc.neda.net.ir

مهندس علیرضا منتظری

مهندس مرتضی صدیقی

مهندس سیاوش عابی

با استفاده از مشاهدات تصحیح شده، اختلاف ارتفاع بین نقاط مجدداً محاسبه و آنالیز می‌گردد. در نهایت می‌توان مشاهده نمود که تمامی پارامترهای تعیین کننده دقت پس از تصحیح مشاهدات، به مرتب بهبود یافته است.

۱. مقدمه

تعیین دقیق مؤلفه ارتفاعی نقاط سطح زمین یکی از پیچیده‌ترین مسائل در علوم زئوتودیک است؛ زیرا بسیاری از اثرات محیطی، دستگاهی و... بر روی آن تأثیر غیر قابل انکاری دارند. از این موارد می‌توان به اثرات فیزیک زمین، اتمسفر زمین و ابزار مورد استفاده (خطاهای دستگاهی) اشاره نمود. بنابراین، عملیات ترازیابی دقیق که به منظور تعیین دقیق مؤلفه ارتفاعی نقاط سطح زمین انجام می‌گیرد نیز دارای نتایجی است که ناگزیر متأثر از این خطاهای سیستماتیک است.

از بین تصحیحات شناخته شده در ترازیابی دقیق، تصحیحات ذیل از اهمیت بیشتری برخوردار هستند:

۱. تصحیح اورتومتریک؛

۲. تصحیح کالیبراسیون؛

۳. تصحیح انکسار؛

۴. تصحیح میدان مغناطیسی زمین؛

۵. تصحیح مربوط به نشست شاخص و دستگاه ترازیاب.

یکی از مهمترین خطاهای سیستماتیک در این

چکیده

یکی از مهمترین خطاهای سیستماتیک در ترازیابی دقیق که اغلب در مناطقی با توپوگرافی و شرایط آب و هوایی پیچیده ظاهر می‌شود، خطای انکسار است که در اثر اختلاف موجود بین زوایای انکسار قرائتهای عقب و جلو به وجود آمده و با درجه حرارت لایه‌های جوی رابطه کاملاً مستقیمی دارد.

این خطای در نواحی کم وسعت، با شرایط آب و هوایی و توپوگرافی تقریباً ثابت ناچیز بوده و حتی در ترازیابی درجه یک نیز قابل صرف نظر است، ولی در کشور ما به دلیل پیچیده بودن شرایط مذکور نمی‌توان از این خطای صرف نظر کرد.

بدین منظور با استفاده از یک دستگاه حرارت سنج تفاضلی (برای هر میر انوار) درجه حرارت در سه ارتفاع $0/5$ ، $1/5$ و $2/5$ متر برای هر قرائت ثبت شده و این خطای با استفاده از مدل‌های انکسار موجود تصحیح می‌شود.

یکی از کامل‌ترین و در عین حال کاربردی‌ترین مدل‌ها در این زمینه، مدل تصحیح خطای انکسار در ترازیابی Kukkamaki است که بر اساس مدل تغییرات ارتفاعی (گرادیان قائم) درجه حرارتی به همین نام، مشاهدات ترازیابی را تصحیح می‌نماید.

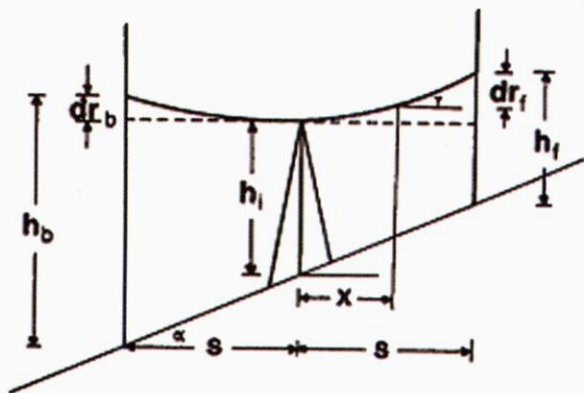
بر این اساس، در این مبحث، خطای انکسار موجود در برخی خطوط ترازیابی درجه یک کشور (که در آنها مشاهدات دما جمع آوری شده است) برای هر قرائت مورد تصحیح قرار گرفته و

- گروه اصلی تقسیم نماییم:
۱. مدل‌های مستقیم: با استفاده از مشاهده اختلاف درجه حرارت (محاسبه گرadiان قائم دما);
 ۲. مدل‌های غیرمستقیم: با استفاده از مشاهدات هواشناسی و شدت جریان تشعشعاتی خورشید.
- استفاده از این فرمولها بر روی مشاهدات ترازیابی دقیق، امکان نمایش رفتار خطای سیستماتیک انکسار را فراهم می‌آورد.

۳. بررسی مدل «Kukkamaki» به منظور تصحیح خطای سیستماتیک انکسار در ترازیابی دقیق

۱.۳. معادله عمومی انکسار

اساس تعیین عبارتی برای محاسبه انکسار بر این اصل استوار است که سطحی هم دما (ایزوترمیک) برای هر ارتفاع موردنظر (قرائتهای عقب و جلو) به موازات سطح زمین درنظر گرفته می‌شود:



h_f, h_b: rod readings -forward, backward-
h_i: height of instrument
s : sight distance
x : length along the line of sight
α : angle of ground slope in relation to the horizon, namely the angle of the isothermic surface and the horizon
dr_f, dr_b : elementary change of refraction
γ : elementary sight deviation of the light beam at length x

شکل ۱. چگونگی محاسبه تصحیحات انکسار در ترازیابی

انحراف از خط دید اصلی که از ضریب انکسارهای متفاوت بین دو لایه هم دما ناشی می‌گردد، به صورت تابعی از تغییرات

انکسار در ترازیابی به عنوان نتیجه زوایای مختلف انکسار در قرائتهای عقب و جلو است که منبعی کاملاً محیطی دارد. هدف از این مقاله، ارائه توضیحی روشن در مورد محاسبه اثر انکسار در ترازیابی به منظور نشان دادن ساختار نظری و عملی تصحیح این خطاست.

بر این اساس، در اینجا نخست مدل تغییرات ارتفاعی دما و تصحیح انکسار Kukkamaki مورد بررسی قرار گرفته و در نهایت مشاهدات ترازیابی دقیق کشوری برای برخی از خطوطی که دارای مشاهدات درجه حرارت هستند، با استفاده از مدل مذکور تصحیح شده و تحت مطالعه و آنالیز قرار خواهند گرفت.

۲. انکسار در ترازیابی و روش‌های تصحیح آن

به منظور حذف خطای انکسار در ترازیابی باید مدل‌هایی را معرفی نمود که بتوانند مشاهدات جمع آوری شده را تصحیح نمایند. براین اساس، به منظور محاسبه تصحیحات انکسار در ترازیابی، لازم است مدل‌ها یا فرمولهای ارائه شده به لحاظ نظری و عملی مورد بحث و بررسی قرار گیرند.

فرمولهای تصحیح انکسار را به سه دسته می‌توان تقسیم نمود:
الف. محاسبه تصحیحات انکسار توسط مشاهدات اختلاف درجه حرارت و با استفاده از مدل‌های تغییرات ارتفاعی دما نزدیک سطح زمین (مدلهای ارتفاعی دما)

(Garfinkel 1979, Lallemand 1898, Reissman 1954,

Kukkamaki 1938):

ب. محاسبه تصحیحات انکسار توسط مشاهدات اختلاف درجه حرارت به منظور وارد نمودن گرادیان ارتفاعی دما (dt/dz) در این مدلها به عنوان نماینده مناسب خواص فیزیکی لایه‌های پایینی جو (Brocks 1948, Muzzuchini 1977, Pelzer 1982)

ج. محاسبه تصحیحات انکسار توسط اندازه گیریهای دما برای محاسبه گرادیان قائم درجه حرارت؛ در این مورد گرادیان به صورت تابعی از پارامترهای هواشناسی و هندسی به عنوان تابعی از خط دید، شیب و جهت شیب، زاویه سمت الراسی خورشید و جریان نامنظم حرارتی عنوان می‌گردد (Holdahl).

بر این اساس امروزه می‌توانیم تمامی مدل‌های انکسار را به دو

۳.۳. مدل بهبود یافته (Kukkamaki)

می توان روابط بالا را به صورت زیر نیز مشاهده نمود که در عمل به لحاظ محاسباتی بسیار کاربردی تر است.

(6)

$$R = d \frac{4S^2}{(Z_1 - Z_2)^2} \frac{\delta}{z_2^c - z_1^c} \left[\frac{1}{c+1} (Z_1^{c+1} - Z_2^{c+1}) - Z_0^c (Z_1 - Z_2) \right]$$

که در این رابطه:

 d : مقدار تصحیح انکسار برای اختلاف ارتفاع هر دهن [m] c : ثابت توانی در مدل ارتفاعی درجه حرارت (رابطه ۲) z : ارتفاع از سطح زمین [m] δ : اختلاف درجه حرارت بین ارتفاعات z_1 , z_2 (به طور مثال ۰/۵ و ۲/۵ متر) s : طول خط دید [m] Z_0 : ارتفاع دستگاه [m] Z_1, Z_2 : به ترتیب قرائتهای جلو و عقب [m]

و در نهایت:

$$d = -10^{-6} [0.933 - 0.0064(t - 20)] \frac{P}{760} \quad (7)$$

که t : درجه حرارت در واحد $^{\circ}\text{C}$
 P : فشار اتمسفر در واحد mmHg

از آنجا که در ترازیابی دقیق (که در امتداد جاده‌های اصلی انجام می‌شود) ارتفاع خط دید از ۰/۵ متر کمتر و از ۲/۵ متر بیشتر نیست (در مناطق کوهستانی شدید، طول دهن کوتاه‌تر در نظر گرفته می‌شود). به منظور سهولت در جمع آوری داده‌های درجه حرارت، حسگرهای دمایی در سه ارتفاع ۰/۵، ۱/۷۵ و ۲/۵ متر مستقر گشته، توسط درجه حرارت‌های مشاهده شده (در این ارتفاعات)، ثوابت مدل ارتفاعی دما (رابطه ۲) و مقدار تصحیح انکسار محاسبه می‌شود. براین اساس، به جای رابطه ۶ می‌توان از رابطه زیر که

شکل ساده شده آن است، بهره بردن:

$$R = 10^{-5} \cdot \gamma \cdot \left(\frac{S}{50}\right)^2 \cdot \delta \cdot D \quad [\text{mm}] \quad (8)$$

دمایی و بر اساس قانون Snellius مدل سازی می‌شود.

بنابراین صورت عمومی معادله تصحیح انکسار به کمک توابع ارتفاعی مختلف درجه حرارت به صورت زیر خواهد بود:

$$dr_{f,b} = -\cot^2 \alpha \cdot k \int_{h_i}^{h_f, h_b} \Delta t \, dh \quad (1)$$

در این رابطه:

 dh : اختلاف ارتفاع مشاهده شده [m] Δt : اختلاف درجه حرارت [$^{\circ}\text{C}$] k : ضریب تاثیر تغییرات دما بر ضریب انکسار (-1.1×10^{-6}) α : زاویه شیب متوسط هر دهن

۲.۳. مدل انکسار (Kukkamaki)

با تعریف مدل تغییر ارتفاعی دما نزدیک سطح زمین:

$$t = a + b \cdot h^c \quad (2)$$

 t : درجه حرارت [$^{\circ}\text{C}$] a, b, c : ثوابت (که با استفاده از مشاهدات تعیین می‌گردند.) h : فاصله قائم دما منجذب از سطح زمین [m] h : ارتفاع دستگاه [m] h_b, h_f : به ترتیب قرائتهای جلو و عقب [m]

مدل ارتفاعی اختلاف درجه حرارت به شکل زیر درمی‌آید:

$$\Delta t = b(h_{f,b}^c - h_i^c) \quad \begin{cases} f \rightarrow \Delta t = b(h_f^c - h_i^c) \\ b \rightarrow \Delta t = b(h_b^c - h_i^c) \end{cases} \quad (3)$$

با جایگزینی این رابطه در فرمول ۱ و انتگرال گیری از آن می‌توان به رابطه نهایی تصحیحات انکسار برای قرائتهای جلو و عقب دست یافت:

$$(R.Heer, 1983) \quad (4)$$

$$dr_f = -\cot^2 \alpha \cdot k \cdot b \left[\frac{h_f^{c+1}}{c+1} - h_f \cdot h_i^c + \frac{c}{c+1} h_i^{c+1} \right] \quad [\text{m}] \quad (5)$$

$$dr_b = -\cot^2 \alpha \cdot k \cdot b \left[\frac{h_b^{c+1}}{c+1} - h_b \cdot h_i^c + \frac{c}{c+1} h_i^{c+1} \right] \quad [\text{m}] \quad (5)$$

عوامل متعددی است، دما مرتباً تغییر کرده و قانون تغییر آن بسیار پیچیده است.

برای یافتن راه حل این مساله، محققان متعددی مطالعات تجربی وسیعی را پیش گرفته و به چند مدل درجه حرارت دست یافته و نیز فرمولهایی را برای تصحیح انکسار ارائه نموده‌اند. مشاهدات تصحیح شده به لحاظ انکسار، به طور اصولی وابسته به نحوه انتخاب مدل دما و روش محاسبه تصحیح مربوطه داشته، و نیز ارتباط تنگاتنگی با روش مشاهده درجه حرارت دارد.

یکی از معروف‌ترین محققان در این زمینه پروفسور Kukkamaki است که یکی از کاربردی‌ترین مدل‌های تغییرات ارتفاعی دما (رابطه ۲) و نیز تصحیح اثر انکسار در ترازیابی (رابطه ۶) را ارائه نموده است.

در این مقاله به منظور تصحیح اثر انکسار از روی مشاهدات ترازیابی درجه یک ایران، از این مدل ارتفاعی و انکسار استفاده شده است. بنا بر این به بررسی این مدل دمایی می‌پردازیم.

۱.۴. تعیین ثوابت در مدل تغییرات ارتفاعی درجه حرارت

«Kukkamaki»

همان‌گونه که مشاهده شد، مدل Kukkamaki برای محاسبه تغییرات ارتفاعی دما به صورت زیر ارائه شده است:

$$t = a + b \cdot h^c$$

که در آن h ارتفاع از سطح زمین، t دما در ارتفاع h و a, b و c ثوابتی هستند که باید تعیین شوند.

برای تعیین این ثوابت روش‌های گوناگونی وجود دارد:

۱. روش عمومی تخمین زنجیره‌ای؛
۲. روش زنجیره‌ای کمترین مربعات؛
۳. روش مستقیم محاسبه؛
۴. روش کمترین مربعات.

از بین روش‌های فوق، ساده‌ترین و در عین حال کاربردی ترین آنها روش سوم است.

۲.۴. روش مستقیم محاسبه^۵

در مدل حرارتی فوق الذکر سه ضریب وجود دارد که باید تعیین گردند، بنابراین به حداقل سه مشاهده دما در سه ارتفاع مختلف نیاز است. از آنجا که این مدل نمایی است، محاسبه

که در این رابطه:

$$D = Z_2 - Z_1 \quad (\text{اختلاف قرائتها جلو و عقب})$$

اگر D در واحد ۵ میلی متر، S در واحد متر و δ در واحد سانتی‌گراد، در این رابطه قرار گیرند، R در واحد میلی‌متر تعیین می‌گردد. اگر مقدار متوسط ارتفاع دستگاه را 150 سانتی‌متر در نظر گرفته و در حالت واقعی آن را به صورت $150 + \Delta Z_0$ نمایش دهیم، خواهیم داشت:

(۹)

$$\gamma = \frac{5.95}{250^c - 50^c} \left\{ \frac{1}{c+1} \left[\begin{matrix} (50 + \Delta Z_0)^{c+1} \\ -(250 + \Delta Z_0)^{c+1} \end{matrix} \right] + (150 + \Delta Z_0)^c \cdot 200 \right\}$$

اگر ارتفاع دستگاه 150 سانتی‌متر در نظر گرفته شود، ΔZ_0 برابر صفر شده، این رابطه بسیار ساده می‌گردد. مقدار γ تنها بستگی به ثابت توانی مدل ارتفاعی دما (c) و ارتفاع دستگاه ترازیاب ($150 + \Delta Z_0$) دارد. R به دست آمده توسط رابطه اخیر، تصحیح انکسار را برای اختلاف ارتفاع هر دهنده محاسبه می‌نماید.

می‌توان خطای انکسار را برای هر قطعه ترازیابی (بین دو ایستگاه) نیز محاسبه نمود:

$$\rho = 10^{-5} \cdot \gamma \cdot \sum_i^n \left(\frac{S_i}{50} \right)^2 \delta_i D_i \quad (10)$$

در این رابطه:

n : شمارنده دهنده

S_i : تعداد دهنده‌ها بین هر دو ایستگاه ترازیابی (هر قطعه)

(J.Kakkuri, 1983)

شایان ذکر است که برای رسیدن به دقت بالا می‌توان در هر دهنده چندین بار پارامتر δ را مشاهده کرده و در روابط مذکور از میانگین حسابی آنها بهره برد.

۴. محاسبه ثوابت مدل ارتفاعی درجه حرارت

در ترازیابی، ارتفاع خط دید نسبتاً نزدیک به سطح زمین و عموماً کمتر از $2/5$ متر است. گرایدیان دما در این لایه جوی متأثر از

مثال $\Delta c = 0.001$) تغییر داده و مقدار تابع y_i را برابر با هر کدام از آنها تعیین نمود. در این صورت نزدیک ترین مقادیر c به عدد صفر، تناظر با مقادیر c مورد نظر است در این حالت آنها را به عنوان مقادیر اولیه پارامتر c یعنی $c_0 = 0$ می‌پذیریم:

$$|y_i| = |f(c_i)| \leq \epsilon_0 \Rightarrow c_i = c_0 = 0.0001$$

به طور مثال

پس از استخراج مقادیر قابل قبول c ، به ازای هر کدام می‌توان مقادیر a و b را با استفاده از روش کمترین مربعات و توسط دو معادله زیر محاسبه کرد:

$$\begin{cases} 3a + [h^c]b - [t] = 0 \\ [h^c]a + [(h^c)^2]b - [t \cdot h^c] = 0 \end{cases} \quad (15)$$

که در آن:

[نمایشگر مجموع برای $j=1,2,3$]

اغلب مقدار c که در شرط $\epsilon_i \leq y$ صدق می‌کند یکه نبوده و مجموعه ای از مقادیر این پارامتر را تشکیل می‌دهد. بر مبنای هر c ، ثوابت متناظر با آن یعنی a و b تعیین می‌گردد. با جانشین نمودن این مقادیر در معادله زیر:

(16)

$$v_i = [v_j \ v_j] = \left[\left(a_i + b_i \cdot (h_j)^c - t_j \right)^2 \right]_{j=1,2,3}$$

v_i های متناظر، محاسبه شده و از بین آنها، ثوابت a و b مربوط به می‌نیم مقدار v بهترین جواب خواهد بود:

(17)

$$|y_i| \leq \epsilon_0 \Rightarrow c_i \Rightarrow a_i, b_i \Rightarrow v_i \rightarrow \min \Rightarrow \begin{bmatrix} a \\ b \\ c \end{bmatrix}_{BEST}$$

این عملیات را می‌توان در مورد مشاهده چهار درجه حرارت در چهار ارتفاع مختلف (و یا بیشتر) نیز انجام داد. پر واضح است که

همزمان این ثوابت بسیار مشکل است بنابراین برخی مقدار c را ثابت و برابر 3 قرار داده و دو ضریب دیگر را به روش کمترین مربعات تعیین می‌نمایند. اما مقدار c ثابت نبوده تمام مدت با تغییر شرایط جوی (از قبیل دما و فشار) و زمینی (از قبیل توپوگرافی و شبیب) تغییر می‌نماید، از این رو فرض ثابت بودن آن از ابتدا مردود است. بنابراین به منظور تعیین این پارامتر، روش قاطع و در عین حال کاربردی زیر پیشنهاد شده است:

اگر مقادیر $h1=0.5$ ، $h2=1.5$ و $h3=2.5$ متر و درجه حرارت‌های متناظر با آنها به ترتیب، و در نظر گرفته شود طبق رابطه ۲ خواهیم داشت:

$$t_1 = a + b \cdot 0.5^c = a + b \cdot 0.5^c \times 1^c \quad (1)$$

$$t_2 = a + b \cdot 1.5^c = a + b \cdot 0.5^c \times 3^c \quad (2)$$

$$t_3 = a + b \cdot 2.5^c = a + b \cdot 0.5^c \times 5^c \quad (3)$$

(11)

از اختلاف گیریهای (1)-(2) و (1)-(3) خواهیم داشت:

$$t_2 - t_1 = 0.5^c \times (3^c - 1) \times b \quad (4)$$

$$t_3 - t_1 = 0.5^c \times (5^c - 1) \times b \quad (5)$$

(12)

و از (5)/(4) با فرض $t_3 - t_1 \neq 0$ داریم:

$$(t_1 - t_2) \times 5^c + (t_3 - t_1) \times 3^c + t_2 - t_3 = 0$$

فرض می‌کنیم:

$$y = f(c) = (t_1 - t_2) \times 5^c + (t_3 - t_1) \times 3^c + t_2 - t_3 = 0 \quad (14)$$

با در نظر گرفتن تجربیات عملی در این زمینه ثابت شده است که دامنه تغییرات پارامتر c با دقت بالا در محدوده $[+3, -3]$ واقع است. بر این اساس می‌توان این پارامتر را با نمودی کوچک (به طور

نام خطوط	وضعیت توپوگرافی	مسیر	شوابط آب و هوایی هنگام مشاهده
AFAJ	کوهستانی شدید	آستانه-اردبیل	آفتابی - شهریور و مهر ۸۳
BTBU	کوهستانی- تبه ماهوری	دلیجان - خوانسار	آفتابی - خردadt شهریور ۸۳
CFCG	تبه ماهوری	سه راه دبهوک - دبهوک	آفتابی - دی و بهمن ۸۲

جدول ۲. مشخصات عمومی خطوط ترازیابی تحت مطالعه

۲. چگونگی جمع‌آوری داده‌های درجه حرارت در شبکه ترازیابی دقیق کشور

برای این منظور در هر دهنگ با استفاده از دو دماسنج (Thermometer) الکترونیک که بر روی ساخته‌های انوار عقب و جلو نصب، و سه حسگر آن در سه ارتفاع $0/5$ ، $1/5$ و $2/5$ متر قرار می‌گیرد، در هر قرائت سه دما ($t_{2.5}, t_{1.5}, t_{0.5}$) ثبت می‌شود. با توجه به اینکه در هر دهنگ (در روش آلترناتیو) چهار قرائت وجود دارد، در مجموع ۱۲ مشاهده درجه حرارت جمع‌آوری خواهد شد. با استفاده از میانگین 3 دما از چهار قرائت ($\bar{t}_{2.5}, \bar{t}_{1.5}, \bar{t}_{0.5}$) طبق روش ارائه شده در شماره ۲۴، مقدار پارامتر σ برای هر دهنگ محاسبه شده است.

۳. محاسبه تصحیح انکسار

پس از تعیین پارامتر σ برای هر دهنگ، اقدام به محاسبه مقدار تصحیح انکسار در هر دهنگ طبق رابطه (R) و در نهایت در هر قطعه (طبق رابطه 8) شده و سپس مشاهدات اختلاف ارتفاع رفت و برگشت برای هر قطعه تصحیح شده است.

بر این اساس می‌توان مشخصات خطوط مورد مطالعه را پس از تصحیح در جدول زیر مشاهده نمود:

با افزایش مشاهده دما (در هر دهنگ) تقریب این ثابت دقیق تر صورت می‌گیرد.

پس از تعیین ضرایب مذکور، می‌توان طبق روابط 4 ، 5 ، 8 و 10 امقدار تصحیح انکسار را برای مشاهده هر قرائت، دهنگ و یا قطعه محاسبه نمود.

۵. تصحیح اثر انکسار مشاهدات سه خط (Line) از شبکه ترازیابی دقیق (درجه یک) ایران

از بین خطوطی که به طور کامل دارای مشاهدات درجه حرارت در ترازیابی رفت و برگشت بوده‌اند، 3 خط به صورت اتفاقی انتخاب شده و تحت تصحیح انکسار قرار گرفته است. به منظور مطالعه دقیق تر اثر توپوگرافی و شوابط جوی مناطق مختلف ایران بر روی تصحیح مذکور سعی گردیده این خطوط از بخش‌های مختلف کشور انتخاب گردند.

۱۵. مشخصات فنی خطوط ترازیابی تحت مطالعه

در جدول زیر می‌توان مشخصات اصلی خطوط انتخابی را مشاهده نمود. این مشخصه‌ها عبارتند از: طول رفت، طول برگشت، طول متوسط، اختلاف ارتفاع رفت، اختلاف ارتفاع برگشت، خطای بست، اختلاف ارتفاع متوسط، تعداد قطعه (Section)

Lines name	Section number s	Forward length (km)	Backward length (km)	Mean length (km)	Forward H.D. (m)	Backward H.D. (m)	Mean H.D. (m)	Misclosure error (mm)
AFAJ	41	82.789	82.940	82.864	-1362.55493	1362.58289	-1362.56909	28.0
BTBU	91	185.791	186.560	186.176	832.97626	-832.96881	832.97247	7.4
CFCG	41	96.220	96.906	96.063	-80.55588	80.56575	-80.56083	9.9

جدول ۱. مشخصات فنی خطوط ترازیابی تحت مطالعه، قبل از تصحیح

ترکیبی از دو مؤلفه تصادفی (σ) و سیستماتیک (η) معرفی شده است.

$$s.e. = \left(\sigma^2 L + \eta^2 L^2 \right)^{\frac{1}{2}} \quad [mm] \quad (18)$$

که در مورد فواصل بلند، وابستگی خطای استاندارد به خطای اتفاقی به طور چشم‌گیری کاهش یافته و قابل صرف نظر است:

$$s.e. = \eta L \quad (19)$$

که L طول هر خط یا حلقه ترازیابی تحت مطالعه است.

۲. روش Vignal: این روش بر این اصل استوار است که رفتار (مقدار و جهت) خطاهای سیستماتیک ثابت نبوده و طی فواصل بلند (۵۰، ۱۰۰ و ... کیلومتر) به صورت تصادفی ظاهر می‌گردد.

$$s.e. = \eta L \quad (20)$$

در این روش، به دو طریق می‌توان پارامتر (η) را محاسبه کرد:

الف. برای خطوط ترازیابی:

$$\eta_1^2 = \left(\frac{1}{4n} \sum_{i=1}^n \frac{\Delta_i^2}{r_i} \right) \quad [mm^2 / km] \quad (21)$$

که در این رابطه:

Δ_i : طول هر خط ترازیابی (km)

r_i : تعداد قطعه‌ها در هر خط ترازیابی

Δ : اختلاف ترازیابی رفت و برگشت در طول هر قطعه ترازیابی (mm)

۲. طول هر قطعه ترازیابی (km)

۳. برای کل شبکه ترازیابی و یا بخشی از آن:

$$\eta_2^2 = \frac{1}{n} \sum_{i=1}^n \frac{e_i^2}{L_i} \quad [mm^2 / km] \quad (22)$$

۴.۵. نتایج آماری و مقایسه شاخصهای خطوط مورد مطالعه

قبل و بعد از تصحیح انکسار

در زیر، برخی از مشخصه‌های اصلی خطوط ترازیابی دقیق مذکور، قبل و بعد از تصحیح انکسار با یکدیگر مقایسه شده و به صورت جداول و نمودارهای آورده شده است. در ضمن برخی نتایج آماری مربوط به مقادیر تصحیح انکسار در دهنده‌ها، قطعه‌ها و خطوط را نیز می‌توان مشاهده نمود:

۱.۴.۵ جداول مقایسه‌ای مشخصات فنی خطوط قبل و بعد از تصحیح انکسار

Lines name	Total Correction Value (mm)
AFAJ	-1.2
BTBU	-6.8
CFCG	-4.6

جدول ۵. مجموع تصحیح انکسار هر خط

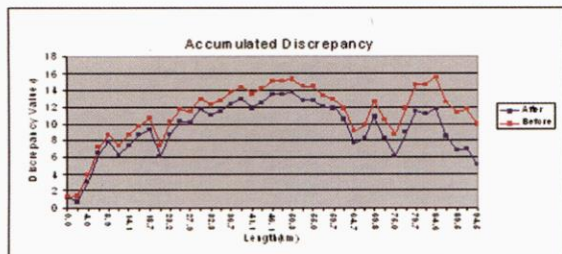
۲.۴.۵ خطای استاندارد (s.e.) قبل و بعد از تصحیح انکسار

یکی از مهم‌ترین معیارهای بررسی دقت در ترازیابی دقیق، مقدار خطای استاندارد خطوط یا شبکه (یا بخشی از آن) ترازیابی است که بر اثر حذف یا کاهش خطاهای اتفاقی و سیستماتیک کاهش می‌یابد. بنابراین می‌توان پس از اعمال هر تصحیح، کاهش یافتن خطاهای از سری اطلاعاتی تحت بررسی و مطالعه قرار داد. به منظور محاسبه این معیار دو روش پیشنهاد شده است:

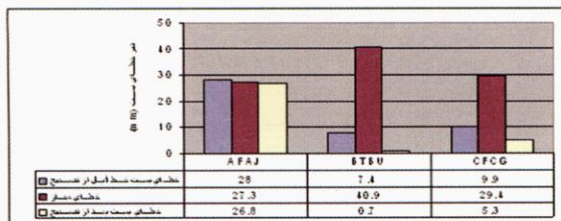
۱. روش Lallemand: در این روش خطای استاندارد به صورت

Lines name	Forward H.D. (m)		Backward H.D. (m)		Mean H.D. (m)		Misclosure error (mm)	
	Before	After	Before	After	Before	After	Before	After
AFAJ	-1362.55493	-1362.55603	1362.58289	1362.58279	-1362.56909	-1362.56941	28.0	26.8
BTBU	832.97626	832.97501	-832.96881	-832.97431	832.97247	832.97913	7.4	0.7
CFCG	-80.55588	-80.55848	80.56575	80.56375	-80.56083	-80.56111	9.9	5.3

جدول ۴. مشخصات فنی خطوط، قبل و بعد از تصحیح انکسار



۴.۵. نمودار خطای بست خطوط تحت مطالعه، قبل و بعد از تصحیح، در مقایسه با خطای مجاز



۶. آنالیز مشاهدات ترازیابی دقیق خطوط موردمطالعه، قبل و بعد از تصحیح انکساره (L.S.S.A) روش کمترین مربعات (L.S.S.A)

تشخیص و حذف خطاهای سیستماتیک، بخش بسیار مهمی از پردازش‌های ترازیابی دقیق به حساب می‌آید. برخی از این خطاهای استفاده از روش اندازه‌گیری تا حدود زیادی حذف می‌گردد (مانند خطای کرویت زمین) و برخی دیگر از طریق مدل‌های ریاضی موجود مرفوع می‌شود. آنچه مسلم است، استفاده از یک روش خاص اندازه‌گیری یا یک مدل ریاضی، به طور کامل نمی‌تواند خطاهای مزبور را حذف نماید بر این اساس لازم است با استفاده از ابزاری، وجود خطاهای سیستماتیک یا باقی مانده خطاهای سیستماتیک تصحیح شده را تشخیص داد. تحقیقات انجام شده در این زمینه نشان داده است که یکی از بهترین راهکارها در این مورد، آنالیز طیفی کمترین مربعات است.

۶.۱. اساس استفاده از آنالیز طیفی کمترین مربعات تعريف ساده تئوری تقریب، استخراج اطلاعات از یک سری اطلاعاتی است که برای این کار از شاخه‌های مختلف ریاضیات

که در این مورد:

۱: طول هر حلقه ترازیابی (km)

۲: تعداد حلقه تحت بررسی

۳: خطای بست هر حلقه (mm)

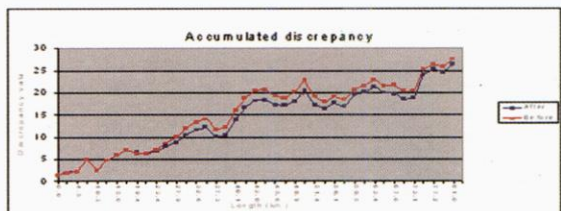
شایان ذکر است که خطای استاندارد به دست آمده از دو روش Vignal و Lallemand (Vignal ۲۵۰ کیلومتر مشابه یکدیگر بوده ولی در مورد فواصل ۱۰۰۰ کیلومتر به بالا اختلافات فاحشی نمایان می‌شود. به علاوه، تحقیقات و مطالعات مختلف نشان داده است که روش Vignal به مراتب مناسب تر است، به این علت در این مقاله، روش مذکور مورد استفاده قرار گرفته است. در جدول زیر مقدار خطای استاندارد هر یک از خطوط تحت مطالعه، قبل و بعد از تصحیح انکسار را می‌توان مشاهده نمود.

Lines name	Length (km)	$\eta \text{ (mm / } \sqrt{\text{km}}\text{)}$		$\eta \sqrt{L} \text{ (mm)}$	
		Before	After	Before	After
AFAJ	82.864	0.370	0.252	3.368	2.294
BTBU	186.176	0.298	0.204	4.066	2.784
CFCG	96.063	0.331	0.218	3.244	2.137

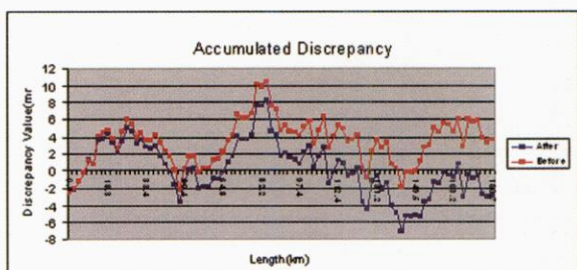
جدول ۶. مقدار خطای استاندارد هر یک از خطوط تحت مطالعه، قبل و بعد از تصحیح انکسار

۶.۲. نمودارهای خطای بست تجمعی هر خط، قبل و بعد از تصحیح انکسار

● خط AFAJ به طول تقریبی ۸۱ کیلومتر



● خط BTBU به طول تقریبی ۱۸۱ کیلومتر



● خط CFCG به طول تقریبی ۹۵ کیلومتر

می شود. بخش مشترک بین دو حلقه مجاور را یک خط (Line) ترازیابی گویند. هر خط از بخش‌های کوچکتری به نام قطعه (Section) تشکیل گردیده و ایستگاههای ترازیابی (Bench Marks) در دو سر قطعات واقع شده‌اند.

اطلاعات اصلی قطعات در ترازیابی دقیق، غالباً به شرح زیر است:

۱: تعداد استقرار دستگاه ترازیاب (تعداد دهن) در ترازیابی رفت هر قطعه؛

۲: تعداد استقرار دستگاه ترازیاب (تعداد دهن) در ترازیابی برگشت هر قطعه؛

S_1 : طول تقریبی هر قطعه در ترازیابی رفت؛

S_2 : طول تقریبی هر قطعه در ترازیابی برگشت؛

۳: اختلاف ارتفاع ابتدا و انتهای هر قطعه در ترازیابی رفت؛

۴: اختلاف ارتفاع ابتدا و انتهای هر قطعه در ترازیابی برگشت؛

۵: خطای بست هر قطعه ($f = H_1 + H_2$) (مجموع اختلاف ارتفاع رفت و برگشت هر قطعه)؛

و اطلاعات کمکی^۲، از قبیل دما و فشار محیط، مشاهده ثقل، دمای میر بارکد و گرادیان ارتفاعی درجه حرارت در مجاورت میرها.

دو نوع سری اطلاعاتی (قبل و بعد از تصحیح انکسار) را می‌توان بر اساس داده‌های مزبور تشکیل داد. سپس با استفاده از تکنیک آنالیز طیفی کمترین مربعات (LSSA) را بدین این روش آنالیز که توسط پروفسور Vanicek در سال ۱۹۷۱ گردیده، می‌تواند به عنوان یک ابزار قابل اطمینان برای آشکار سازی حضور خطاهای سیستماتیک در سریهای اطلاعاتی به کار گرفته شود. همچنین بررسیهای انجام شده نمایانگر این مطلب است که برخلاف تصور عمومی، آزمونهای آماری، روشهای قابل اعتمادی در این زمینه نیستند (Voosoghi, 1994).

۱. خطای بست هر حلقه^۳

۲. خطای بست قطعات^۴

تعداد حلقه‌ها در یک شبکه ترازیابی کمتر از تعداد خطوط و بنابراین بسیار کمتر از تعداد قطعات است. از طرفی، بررسیهای انجام شده نشان می‌دهد که بهتر است اثر انواع خطاهای سیستماتیک را در سریهای اطلاعاتی حاصل از خطای بست قطعات پیدا کرد؛ زیرا عموماً در فواصل کوتاه دارای اثری تجمعی بوده در حالی که اثر اغلب این خطاهای، علی رغم قابل توجه بودن

مانند آنالیز تابعی، جبر و آمار به عنوان ابزار ریاضی استفاده می‌شود. تئوری تقریب در ژئودزی و بسیاری دیگر از علوم زمینی کاربرد فراوانی دارد. اغلب مسائل تقریب را می‌توان هم در فضای آرگومان وهم در فضای فرکانس مورد تجزیه و تحلیل قرار داد که انتخاب فضای مناسب حل مساله به طبیعت داده‌های مشاهداتی و پارامترهای برآورده شونده بستگی دارد. به عنوان مثال، تقریب پریودهای مجھول در یک سری اطلاعاتی که هدف، آنالیز طیفی آن است، در فضای فرکانس راحت‌تر صورت می‌گیرد.

دو خصوصیت مهم سریهای اطلاعاتی ترازیابی ژئودتیک، یعنی غیر هم فاصله بودن و nonstationary بودن آنها (هرگاه خواص آماری یک فرآیند تصادفی که در رابطه با متغیر فضای احتمال تعریف شده است، وابسته فضای آرگومان باشد) موجب می‌شود که روشهای آنالیز طیفی قابل استفاده محدود گردد؛ زیرا اکثر روشهای آنالیز طیفی موجود با فرض هم فاصله و stationary بودن سریهای اطلاعاتی توسعه یافته‌اند که از آن جمله می‌توان به آنالیز طیفی فوریه اشاره نمود.

اما برخلاف روش فوریه، تکنیک کمترین مربعات توانایی آنالیز سریهای اطلاعاتی غیر هم فاصله و nonstationary را نیز دارد.

۲.۶. آنالیز طیفی کمترین مربعات (LSSA)

این روش آنالیز که توسط پروفسور Vanicek در سال ۱۹۷۱ ابداع گردیده، می‌تواند به عنوان یک ابزار قابل اطمینان برای آشکار سازی حضور خطاهای سیستماتیک در سریهای اطلاعاتی به کار گرفته شود. همچنین بررسیهای انجام شده نمایانگر این مطلب است که برخلاف تصور عمومی، آزمونهای آماری، روشهای قابل اعتمادی در این زمینه نیستند (Voosoghi, 1994).

در این تحقیق، از این روش آنالیز به عنوان ابزار تشخیص حضور خطاهای سیستماتیک، در سریهای اطلاعاتی حاصل از مشاهدات ترازیابی رقومی، قبل و بعد از تصحیح آنها نسبت به خطای انکسار استفاده می‌شود.

۱.۰۲۶. سریهای اطلاعاتی در ترازیابی دقیق

همان گونه که دانسته می‌شود، ترازیابی دقیق در مسیرهای بسته‌ای به نام حلقه (Loop) به صورت رفت و برگشت انجام

$$d_R = H(m) \cdot \left[\left(\frac{S_f}{2n_f} \right)^2 - \left(\frac{S_b}{2n_b} \right)^2 \right]$$

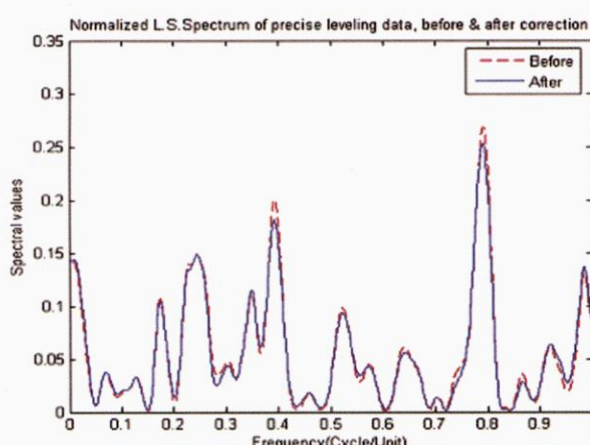
در این مقاله، به ترتیب پارامترهای اول (اختلاف ارتفاع متوسط هر قطعه) و دهم (اختلاف در ضرایب رابطه Kukkamaki برای خطای انکسار در ترازیابی رفت و برگشت هر قطعه)، به عنوان آرگومانهای آنالیز در نظر گرفته شده‌اند که به دلیل تعداد زیاد قطعات در هر یک از خطوط ترازیابی دقیق انتخابی، از درج بردارهای مقادیر تابعی (خطای بست هر قطعه) و نیز آرگومانهای انتخابی چشم پوشی شده است.

۲.۲.۶ نتایج آنالیز طیفی مشاهدات ترازیابی دقیق خطوط انتخابی قبل و بعد از تصحیح انکسار

در این بخش، نتایج طیفهای نرم‌الشده (هنچار) مشاهدات ترازیابی دقیق خطوط انتخابی، قبل و بعد از تصحیح انکسار، نسبت به دو آرگومان ذکر شده، به صورت نمودارهای مشترکی آورده شده است. در این نمودارها خطوط ناپیوسته قرمز رنگ، نمایانگر طیفهای مزبور قبل از تصحیح انکسار و خطوط پیوسته آبی رنگ، نمایانگر طیفهای مزبور پس از تصحیح انکسار است.

۱.۲.۲.۶ نمودارهای مقادیر طیفی مشاهدات ترازیابی نسبت به آرگومان (m)

● خط AFA (آرگومان)



● خط BTBU (آرگومان)

آن‌ها در طول یک حلقه، ممکن است از خطای بست لوپ حذف گردند (قابل تشخیص نباشند). براین اساس، در این تحقیق، خطای بست قطعات در هر خط ترازیابی به عنوان مقادیر تابعی معرفی شده و تحت بررسی قرار گرفته است. اگر یک خط شامل $n \times n$ قطعه باشد، سریهای اطلاعاتی مورد استفاده به صورت بردارهای $n \times 1$ ظاهر می‌گردد.

به منظور استفاده از ابزار آنالیز طیفی، لازم است بردارهایی به عنوان آرگومان سری اطلاعاتی معرفی گردد که آنها نیز دارای ابعاد $n \times 1$ هستند. برای این منظور می‌توان هر کدام از پارامترهای زیر را به عنوان آرگومان آنالیز معرفی نمود:

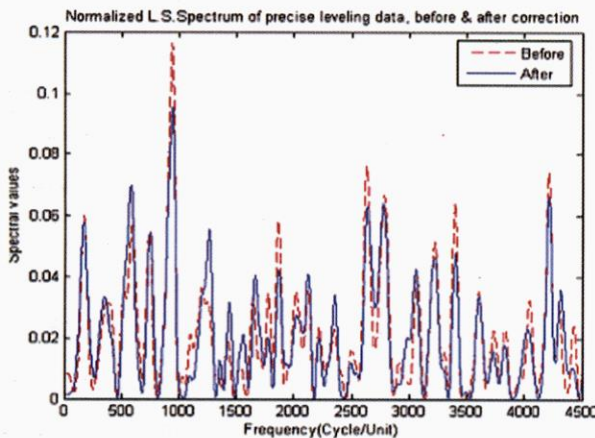
- اختلاف ارتفاع متوسط هر قطعه $H(m) = \frac{H_f - H_b}{2}$
- اختلاف ارتفاع نقطه انتهایی قطعه نسبت به ابتدای خط $\Sigma H(m)$

$$\bullet \text{ طول متوسط هر قطعه } s(m) = \frac{S_f + S_b}{2}$$

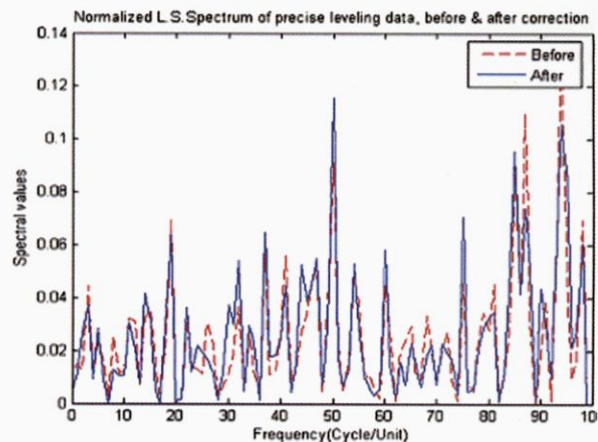
- فاصله نقطه انتهایی هر قطعه از ابتدای خط (طول تجمعی هر قطعه) $\Sigma s(m)$
- اختلاف طول مسیرهای ترازیابی رفت و برگشت هر قطعه $ds(m) = S_f - S_b$
- تعداد کل نقاط چرخش میر در ترازیابی رفت و برگشت هر قطعه $TP = n_f + n_b - 2$

$$\bullet \text{ شبکه متوسط زمین در طول هر قطعه } SLOP(m) = \frac{H(m)}{s(m)}$$

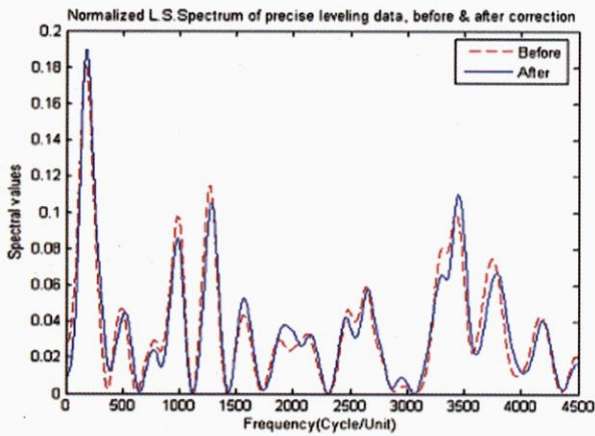
- اختلاف طول متوسط دهنده‌ها در ترازیابی رفت و برگشت هر قطعه $dSL(m) = \left(\frac{S_f}{n_f} \right) - \left(\frac{S_b}{n_b} \right)$
- اختلاف تعداد دهنده‌های ترازیابی رفت و برگشت هر قطعه $dNS = n_f - n_b$
- اختلاف در ضرایب رابطه Kukkamaki برای خطای انکسار در ترازیابی رفت و برگشت هر قطعه



خط CFCG (آرگومان) ●



خط AR (آرگومان) ●



۳.۶. بررسی آنالیز طیفی مشاهدات ترازیابی

با توجه به نمودارهای مقادیر طیفی مشاهدات (قبل و بعد از تصحیح انکسار) که در فضای فرکانس و بر اساس روش کمترین مربعات ترسیم شده‌اند، می‌توان به موارد زیر اشاره نمود:

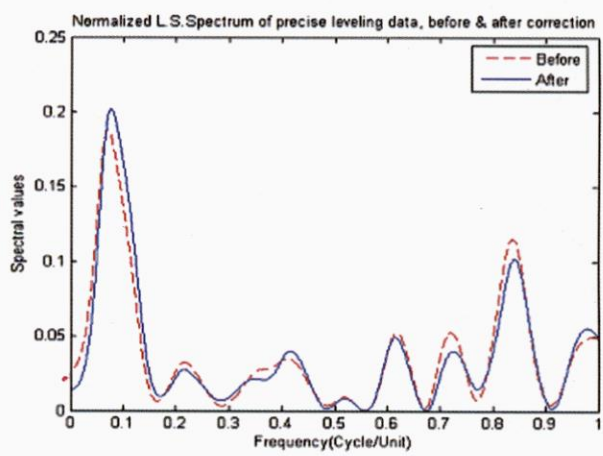
۱. رفتار مشابه فرم طیفی مشاهدات، قبل و بعد از تصحیح انکسار؛

۲. وجود جهش‌های^۵ کوتاه‌تر سری اطلاعاتی دوم (پس از تصحیح) در فضای فرکانس؛

۳. رفتار دوره‌ای^۶ تر (منظم تر) سری اطلاعاتی دوم (پس از تصحیح) نسبت به سری اطلاعاتی قبل از تصحیح؛

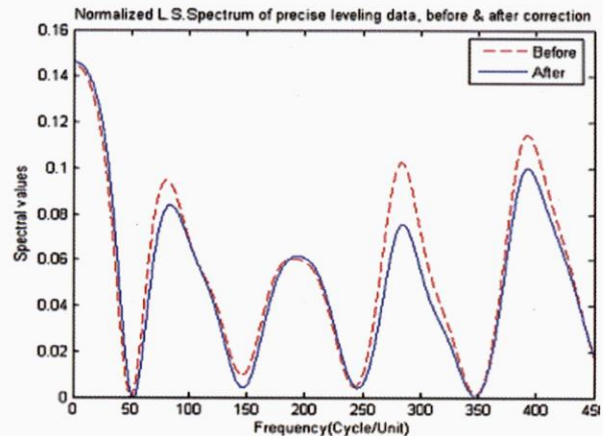
۴. وجود تعداد بالای جهشها در هر دو سری اطلاعاتی.

با توجه به موارد اول، دوم و سوم، کاهش خطاهای سیستماتیک در مشاهدات ترازیابی پس از اعمال تصحیح انکسار



۲.۲.۲.۶. نمودارهای مقادیر طیفی مشاهدات ترازیابی نسبت به آرگومان

خط DR (آرگومان) ●



خط BTBU (آرگومان) ●

نداشت.

در ضمن به منظور تفسیر کامل و مطالعه جامع آنالیز طیفی در مورد تصحیح یک خطای سیستماتیک، لازم است دیگر خطاهای سیستماتیک به خصوص خطاهای عمده‌تر (که در این مورد می‌توان به تصحیح اورتومتریک و کالیبراسیون میرهای انوار اشاره نمود) قبلاً تحت تصحیح قرار گرفته باشند که متأسفانه این مورد نیز تا امروز مقدور نبوده است.

پانوشتها

1. Least Square Spectral Analysis
2. Auxiliary Data
3. Circuit Misclosure
4. Discrepancy
5. Peak
6. Periodic

منابع

1. BOMFORD, G. (1977): Geodesy. Oxford University. Third edition with correction, pp.239-246.
2. HEER, R. (1983): Application of different refraction models on measuring results of the leveling test loop Koblenz. Contributions to the Workshop on Precise Leveling. Precise Leveling, p251-281.
3. KAKKURI, J. (1983) : About the future use of the Kukkamaki leveling refraction formula. Contributions to the Workshop on Precise Leveling. Precise Leveling, P235-250.
4. KREYSZIG (1987): Introductory Functional Analysis with Applications. Wiley.
5. KUKKAMAKI, T.J. (1938): Über die nivellitische Refraktion . Veröffentlichungen des finnischen Geodatischen Institutes, Nr. 25, Helsinki.
6. REMMER , O. (1980): Role and Evaluation of Refraction for the Processing of Leveling Networks - An Analysis of the First Precise Leveling of the Finland and Proper use of KUKKAMAKI 's Correction . NAD-Symposium, Ottawa Canada, P 623 - 646.
7. TAYLOR, J. and S. Hamilton (1972): Some tests of the Vanicek method of spectral analysis by least squares. Astrophysics and Space Science, 17, pp. 357-367.
8. VANICEK, P. (1971): Further development and properties of the spectral analysis by least Squares. Astrophysics and Space Science, 12, pp.10-73.
9. WELLS, D.E., P.Vanicek and Paglatakis (1985): Least Squares Spectral Analysis revised. University of New Brunswick. Surveying Engineering. Technical Report No.84.

بر روی آنها رامی توان نتیجه گرفت.

● با توجه به مورد چهارم، وجود دیگر خطاهای سیستماتیک در دو سری اطلاعاتی تحت مطالعه، قابل تشخیص است.

● به دلیل وجود دیگر خطاهای سیستماتیک، کوتاه بودن طول سری داده‌ها (موجود نبودن اطلاعات درجه حرارت برای حلقه‌ها) و نیز عدم هم فاصله بودن اطلاعات، بررسی و تفسیر طیفها پیچیده است.

● به دلیل وجود دیگر خطاهای سیستماتیک و امکان حذف یا کاهش تاثیر این خطای توسط خطاهای سیستماتیک دیگر (رفتار اتفاقی برخی خطاهای سیستماتیک) مشاهده می‌گردد که در برخی خطوط ترازیابی با وجود کاهش قابل ملاحظه خطای بست قطعات، رفتار طیفی بسیار مناسبی برای سری اطلاعاتی دوم (پس از تصحیح) مشاهده نگردد.

● در مورد برخی از آرگومانها، وجود جهش‌های کوتاه سری اطلاعات دوم، نشان از کاهش قابل توجه این خطای سیستماتیک از روی مشاهدات ترازیابی، پس از اعمال تصحیح انکسار بر روی آنها دارد.

۷. نتیجه گیری

بر اساس تمامی موارد مذکور و با توجه به جداول و نمودارهای مختلف، از جمله نمودارهای خطای بست تجمعی و آنالیز طیفی مشاهدات اختلاف ارتفاع قبل و بعد از تصحیح انکسار، به وضوح مشاهده می‌گردد که استفاده از مدل تصحیح انکسار Kukkamaki می‌تواند تا حدود زیادی این خطای سیستماتیک را که با رفتار بسیار پیچیده‌ای ظاهر می‌گردد، تحت تصحیح قرار دهد.

باشد اضافه نمود که به منظور مطالعه دقیق‌تر، لازم است سریهای اطلاعاتی تحت بررسی، یعنی مشاهدات اختلاف ارتفاع قطعات قبل و بعد از تصحیح، در مورد هر حلقه از شبکه ترازیابی درجه یک کشور تنظیم گردد. زیرا بهترین و قابل اطمینان ترین نوع آنالیز مشاهدات ترازیابی، در مورد حلقه‌ها و نسبت به قطعات (اختلاف ارتفاع هر قطعه) صورت می‌گیرد که در مورد هیچ کدام از حلقه‌های درجه یک کشور تاکنون داده‌های درجه حرارت به طور کامل جمع آوری نشده و بنابراین امکان چنین آنالیزی وجود

مدل سازی و نمایش کارتوگرافی بلایای طبیعی

نویسنده: David Fraser

مترجم: مهندس (امین همی) مجفری

کارشناس نقشه‌برداری مدیریت کارتوگرافی سازمان نقشه‌برداری کشور

r-rohimi@ncc.neda.net.ir

از راههای ساده کردن مفاهیم دنیای ما عبارت است از ساختن مدل‌هایی برای درک یک فرآیند پیچیده مانند فرآیند مربوط به یک فاجعه طبیعی و یا آزمایش یک فرضیه.

انسانها در خلاصه کردن مفاهیم مهم محیط اطرافشان مهارت دارند و از سنین پایین برای تشخیص دادن الگوهای مختلف و تجزیه و تحلیل ساختارها آموزش داده می‌شوند. متعاقباً گروههای مدیریت اضطراری بحران به دنبال پایگاههای داده‌های رایانه‌ای هستند که داده‌های مورد استفاده برای ایجاد اطلاعات مکانی مربوط به بلایای طبیعی را فراهم سازد. مشکل این است که ممکن است تصمیم‌سازان برای اتخاذ راه حلی برای یک موضوع، بیش از حد به یک سیستم پایگاه داده‌های مکانی تکیه کنند. اگر صورت مساله به صورت ضعیف و بادقت کم فرموله شده و روش شناختی آن ضعیف باشد، نتایج ضعیفی نیز به دنبال خواهد داشت. یک سیستم تصمیم‌سازی رایانه‌ای، می‌تواند دسترسی آسان به حجم بزرگی از داده‌ها را فراهم سازد اما برای اغلب کاربردهای نمی‌تواند جایگزین فرمول‌بندی خوب مساله توسط مدل ساز شود. هنگامی که مساله به صورت دقیق فرموله شده باشد، ایجاد کننده پایگاه داده‌ها باید در مورد اینکه چه عوارضی مهم هستند و چه مشخصه‌های مفیدی از عوارض می‌توانند حفظ شوند و حفظ خواهند شد، تصمیم بگیرد. دانش ایجاد کننده پایگاه داده به همراه دانش تخصصی مربوط به یک فاجعه بخصوص طبیعی و همین طور درک اینکه چگونه داده‌ها باید به شکل قابل فهم توسط رایانه آماده شوند، به عنوان ورودی مورد نیاز هستند. معمولاً حقایقی که ما انتخاب می‌کنیم، با توجه به اهمیت آنهاست. (Goldstein, Goldstein[2])

چکیده

امروزه به علت توجه جدی رسانه‌های گروهی جهان به موضوع بلایای طبیعی، دانش و آگاهی بشر درباره موضوع بلایای طبیعی و همین طور بلایای معلول انسان افزایش یافته است. در این مقاله فقط در مورد بلایای طبیعی بحث خواهد شد. بعضی از بلایای طبیعی ممکن است چند سال به طول بینجامند (مانند شور شدن خاک) و یا طی چند ماه رخ دهد (مانند ریزش کوه) و یا حتی طی یک روز اتفاق بیفتند (مانند وقوع سیل‌های ناگهانی).

ابزارها و روش‌های کارتوگرافی تا جایی توسعه یافته است که می‌تواند به نمایش و درک این پدیده‌های طبیعی کمک نماید. محصولات کارتوگرافی می‌توانند برای بیان مشخصات چشم انداز خاصی از زمین که ممکن است مربوط به یک حادثه طبیعی باشد، استفاده شوند. همچنین مدل‌های کارتوگرافی می‌توانند به منظور آگاهی دادن به جامعه کاربران در مورد نتایج محتمل وقوع یک حادثه طبیعی به کار روند.

در این مقاله برای نشان دادن اینکه چگونه محصولات کارتوگرافی می‌توانند برای مدل سازی و نمایش بلایای طبیعی با هدف تعیین ریسک خطرات فعلی و آینده مربوط به پدیده طبیعی مورد مطالعه استفاده شوند، ۳ مطالعه موردی بیان می‌شود.

مقدمه

اما عموماً در تلاش‌هایمان برای درک طبیعت سطح زمین، تمایل به ساده کردن مفاهیم و کار با زیر مجموعه کوچکتری از مفاهیم داریم. دلیل این مطلب آن است که محیط کلی تحت مطالعه عموماً خیلی پیچیده‌تر از آن است که بتوان بسادگی آن را درک کرد. یکی

سه بعدی و تجزیه و تحلیل مکانی بر روی داده‌های جغرافیایی رقومی موجود.

تمرکز این طرح بر مطالعه آبهای سطحی (سیل) و آبهای زیرزمینی (شوری) است.

شوری خاک

ساختن و آزمایش یک مدل پیش‌بینی کننده برای ریسک شوری خاک بخصوص برای مناطق تحت آبیاری، دارای اهداف زیر است:

- تعیین عواملی که در منطقه دارای آبهای زیرزمینی کم عمق تاثیر می‌گذارند و تغییرات عمق آبهای زیرزمینی در نواحی تحت آبیاری که این عوامل در ساختن مدل‌های تجربی تعیین کنند هستند.

- ساختن مدل‌های تجربی که موارد زیر را پیش‌بینی کنند:
 - مساحت آبهای زیرزمینی کم عمق
 - عمق آبهای زیرزمینی
 - تغییرات عمق آبهای زیرزمینی

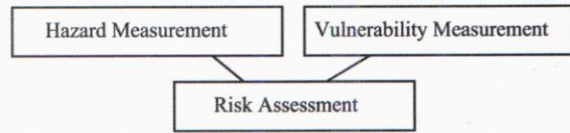
و با استفاده از تصاویر ماهواره‌ای و مجموعه داده‌های در دسترس در مورد هواشناسی، هیدرولوژی و متغیرهای زمین‌شناسی:

- تعیین عوامل در رابطه با احتمال و شدت شوری خاک مهم است. این عوامل در ارزیابی ریسک شور شدن خاک مهم بوده و برای تعیین خروجی‌های مورد نیاز حاصل از مدل‌سازی آبهای زیرزمینی و همین‌طور برای تعیین سایر متغیرها و مجموعه داده‌هایی که ممکن است مورد نیاز باشند، ضروری هستند.

- ایجاد یک چهارچوب ریسک برای شوری خاک که با استفاده از مدل تجربی و همین‌طور احتمال و شدت شوری، مدلی برای ریسک شوری خاک به وجود می‌آورد.

منطقه مورد مطالعه در این طرح عبارت است از ناحیه تحت آبیاری دره مورای (Murray Valley) که در حوزه Murray-Darling در جنوب New South Wales استرالیا قرار گرفته است. این منطقه از ۳ قسمت مختلف تحت آبیاری تشکیل شده است که عبارتند از: Deniboota، Berquin-Denimein و Wakool (شکل ۲).

در حال حاضر کاربران انتظارات خیلی بیشتری از سیستمهای مدل‌سازی دارند. مدل‌سازی پیش‌بینی کننده و نمایش فرآیندهای طبیعی، از حوزه‌های در حال رشد پژوهش هستند. بدین ترتیب نیاز به اطلاعات بیشتری در مورد میزان عدم اطمینان داده‌ها و مدل خواهد بود. نقشه‌های کاغذی مورد اطمینان نبوده و کاربران نیز از این مطلب آگاهی دارند. امروزه کاربران انتظار بالایی از سیستمهای مدل‌سازی دارند و در بسیاری موارد بر خروجی با کیفیت بالا چه در محتوای اطلاعات و چه در نمایش آنها تکیه می‌کنند. معمولاً بلایای طبیعی در ارتباط با گروه خاصی از مردم یا یک منبع خاص طبیعی با ارزش بررسی می‌شوند. مدل‌سازی مکانی و نمایش کارتوگرافی می‌تواند برای ارزیابی ریسک مربوط به یک حادثه طبیعی خاص استفاده شود. ارزیابی‌های ریسک ترکیبی است از اندازه‌گیری‌های مربوط به آسیب پذیری و میزان مخاطره که به پیش‌بینی مکانهایی که ممکن است متحمل خسارت شود، کمک می‌نماید.



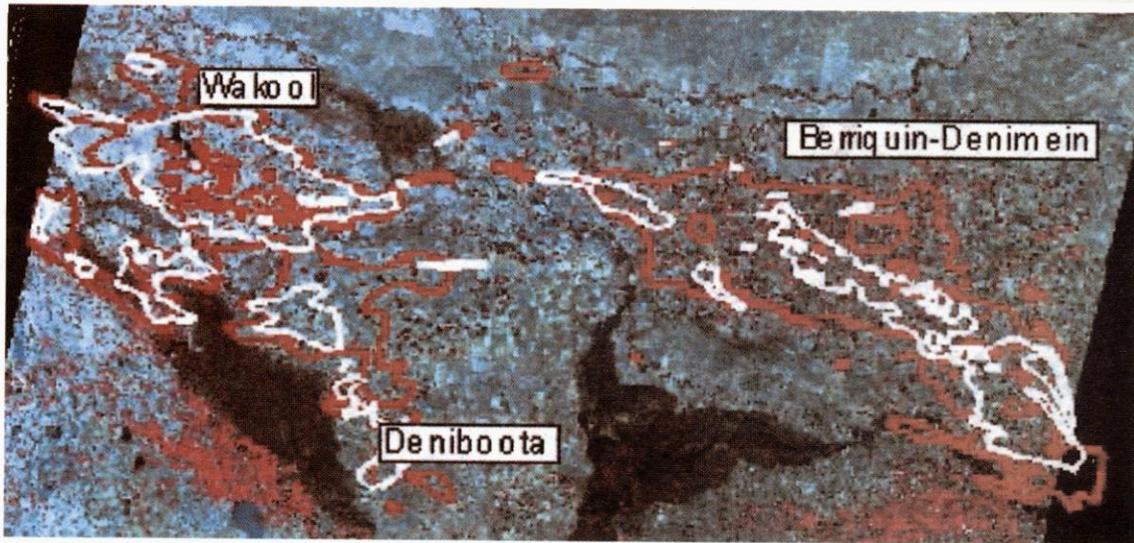
شکل ۱. مولفه‌های ارزیابی ریسک

در اینجا برای نمایش اینکه چگونه محصولات کارتوگرافی می‌توانند برای نمایش و مدل‌سازی بلایای طبیعی استفاده شود، سه مطالعه موردی بررسی خواهند شد که عبارتند از:

- شوری خاک: هدف اولیه از این طرح، ساخت و آزمایش یک مدل پیش‌بینی کننده برای احتمال شوری خاک، بخصوص برای مناطق تحت آبیاری است.

- نمایش پدیده ریزش کوه: هدف اولیه از این طرح، عبارت است از ارزیابی توانایی ادارات محلی برای ایجاد نمایش مفیدی از میزان آسیب پذیری جامعه با استفاده از داده‌های موجود فعلی و روش‌های مدل‌سازی و فناوری فعلی که به منظور آموزش جامعه و کاهش میزان خسارات مناسب باشد.

- مدل‌سازی حوزه‌های آبریز: هدف از این طرح تحقیقاتی عبارت است از توانایی دادن به کاربران در بکارگیری یک مدل



شکل ۲. مناطق تحت مطالعه و پلی گونهای مربوط به آبهای زیرزمینی (کوچکتر از ۳۰ متر) برای سال ۱۹۸۰ (سفید) و پلی گونهای مربوط به آبهای زیرزمینی (کوچکتر از ۳۰ متر) برای سال ۱۹۹۵ (قرمز).

کوچکتری تقسیم می شود و میزان ریسک شوری خاک در هر یک از این سلولها از طریق معادله زیر به دست می آید:

$$\text{میزان ریسک} =$$

احتمال رخ دادن شوری خاک \times شدت بروز شوری خاک

در روش وابسته به مکان، شدت بروز شوری خاک (اگر رخ دهد) به وسیله شوری آبهای زیر زمینی نمایش داده می شود. احتمال شوری خاک به وسیله عواملی تعیین می شود؛ از جمله عمق پیش بینی شده برای آبهای زیرزمینی، تغییرات پیش بینی شده در آبهای زیرزمینی و ارتفاع نسبی آن سلول. عمق آبهای زیرزمینی از میزان تغییرات در آبهای زیر مینی و عمق اولیه آبهای زیرزمینی به دست می آید. عمق آبهای زیر زمینی از طریق یک معادله بازگشتی تجربی که تغییرات عمق آبهای زیر زمینی را به عوامل متفاوت موثر بر آن مربوط می سازد، به دست می آید. در هر دو مدل مستقل از مکان و وابسته به مکان یک معادله تجربی متغیرهای کلیدی را به خروجیهای مورد نظر مربوط می سازد (مثلًا زمینهای تحت آبیاری و میزان بارندگی را به مساحت آبهای زیر زمینی کم عمق یا تغییرات عمق آبهای زیر زمینی).

تا بحال نتایج نشان می دهنند که پتانسیلی برای یک مدل پیش بینی کننده برای آبهای زیر زمینی در ناحیه Murray-Valley وجود دارد. اما شواهد نشان می دهد که این مدل نمی تواند فقط بر

هر یک از این قسمتها در مطالعه مستقلی بررسی شده اند. نتایج مربوط به ریسک شوری خاک و مدل های تجربی آبهای زیرزمینی توسط نقشه هایی که نشان دهنده مناطق دارای آبهای زیر زمینی بالا و همین طور نقشه هایی که نشان دهنده ریسک شور شدن خاک هستند، نمایش داده شدند.

ریسک شوری خاک با استفاده از دونوع روش مدل سازی شد، یکی روش مستقل از مکان که در آن ریسک به طور کلی در داخل یک قسمت مورد نظر است و دیگری روش وابسته به مکان که در آن ریسک در هر یک از مناطق درون یک قسمت در نظر گرفته و ریسک می شود. مدل مستقل از مکان میزان ریسک شوری خاک را از طریق یک متغیر جانشین که عبارت است از مساحت آبهای زیر زمینی کم عمق پیش بینی می کند. آبهای زیر زمینی کم عمق مناطقی هستند که در آنها عمق آبهای زیر زمینی کمتر از ۲ متر باشد. پیش بینی مساحت آبهای زیر زمینی کم عمق از طریق یک معادله تجربی است که عوامل معین مربوط به حرکت آبهای زیر زمینی و میزان گسترش شوری خاک را به مساحت آبهای زیر زمینی کم عمق مربوط می کند.

استفاده از روش مستقل از مکان به تعیین و تثیت اهمیت متغیرهای مختلف در قسمت های مختلف و اینکه آیا آنها باید در مدل وابسته به مکان استفاده شوند یا خیر، کمک می کند. در روش وابسته به مکان هر قسمت از مناطق تحت آبیاری به سلولهای

ریزش کوه در استان Yarra Ranges انجام شد. نتیجه این بود که ۱۱٪ از املاک استان در محدوده با ریسک متوسط تا بالا قرار دارد. هم اکنون مسئولان دولتی بر موضوع ضعف در ک عمومی از میزان آسیب‌پذیری جامعه که ناشی از استفاده از نقشه‌های استاتیک نمایش ریسک است، تمرکز کرده‌اند. در این طرح برای ترکیب کردن ارزیابی‌های موجود از احتمال ریزش کوه با کمیتهای اجتماعی، زیر ساختاری و اقتصادی به منظور ایجاد یک نمایش بصری از آسیب‌پذیری جامعه در برابر این پدیده، از سیستم اطلاعات جغرافیایی (GIS) استفاده شده است. سپس ابزار اطلاعاتی حاصله از لحاظ عملی بودن و مفید بودن در آموزش جامعه و کاهش میزان خطر ارزیابی گردید.

اطلاعات مربوط به ریسک جامعه در ارتباط با حوادثی مثل لغزش زمین و آتش سوزی در یک منطقه خاص که در اختیار ماموران دولت محلی و مسئولان منطقه است، معمولاً به ارزیابی ریسک رخداد آن حادثه محدود می‌شود. اما به هر حال میزان آسیب‌پذیری جامعه در برابر این خطرات تابعی است از جنبه‌های مختلف آن منطقه نظیر مجاورت با مرکز آن حادثه، مجاورت با مسیر انتشار آن حادثه، اطلاعات جمعیتی آن منطقه (تراکم جمعیت، سن و...)، ارزش زمینها و خدمات در دسترس برای بعد از حادثه (مثلاً یک پل خراب شده ممکن است یک منطقه آسیب ندیده را از خدمات ضروری محروم کند). معمولاً اطلاعات مربوط به این متغیرها در دسترس مسئولان محلی است اما نه به صورت آماده و یک جا که فوراً برای آموزش جامعه و کاهش میزان خطرات و آسیبها قابل استفاده باشد.

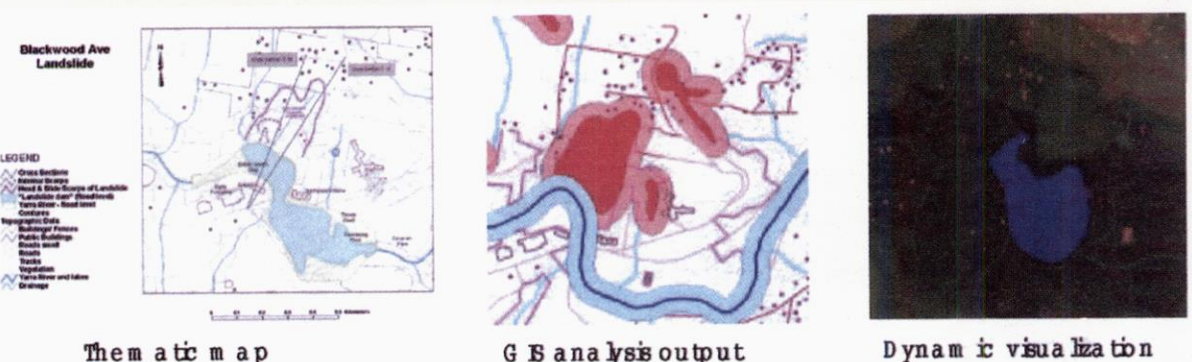
اساس تمرکز بر منطقه تحت آبیاری بر مبنای آنالیز شبکه یا منطقه تحت آبیاری بر مبنای آنالیز چند ضلعیها باشد، بلکه حرکت آبهای زیر زمینی در مقیاس وسیع تر در منطقه Wakool بر نتایج به دست آمده در آن منطقه موثر بوده است. این مساله نشان می‌دهد که در مدلها باید متغیرهای بیشتری را که همگی در بالا و پایین رفتان آبهای زیر زمینی موثرند، در نظر گرفت.

نمایش پدیده ریزش کوه

این طرح تحقیقاتی موضوعی است که در آن نمایش کارتوگرافی بیشترین کمک را در آگاه نمودن جامعه در مورد میزان آسیب‌پذیری حاصل از ریزش احتمالی کوه در آن منطقه، انجام داده است. منطقه مورد مطالعه محدوده استان yarra Ranges در Victoria کشور استرالیاست.

ارزیابی‌های ژئوتکنیکی احتمال وقوع ریزش کوه معمولاً توسط نقشه‌هایی که نشان دهنده مناطق با احتمال کم، متوسط و بالا هستند، نشان داده می‌شوند، البته این نقشه‌ها به وسیله موسسات مختلفی تهیه می‌شوند.

این نوع نقشه‌های دارای طبقه‌بندی برای تعیین مناطق دارای خطر ریزش کوه، مفید هستند اما ضرورتا میزان آسیب‌پذیری واقعی جامعه را نشان نمی‌دهند. برای مثال جوامعی که به طور فیزیکی از یک منطقه دارای خطر ریزش کوه دور شده‌اند، ممکن است بعداً متوجه شوند که ارتباط آنها با شهرهای اصلی در اثر بسته شدن جاده در ریزش کوه قطع خواهد شد. در سالهای ۱۹۹۸-۹۹ ماموریت نقشه‌برداری ژئوتکنیکی برای ارزیابی ریسک پتانسیل



شکل ۳. مثال برای هر یک از سه نوع نمایش مورد استفاده برای نشان دادن جنبه‌های مختلف ریزش کوه

مفاهیم هیدرولوژیکی حوزه آبریز؛

- نمایشگاهی زیستی- برای بررسی تاثیرات آلوده کننده‌ها بر روی حیات جانوری و گیاهی در حوزه آبریز؛
 - برنامه‌ریزی اقتصادی و اجتماعی- برای کمک به درک تاثیرات اجتماعی و اقتصادی تصمیمات اتخاذ شده در مورد مدیریت حوزه آبریز؛
 - آنالیزهای مکانی- برای مدل‌سازی روابط بین عوارض جغرافیایی مختلف نمایش داده شده در حوزه آبریز مانند سطح آبهای زیرزمینی، جنگلها، دشت‌های سیلانی، کاربری زمین و مناطق مسکونی.
- در اینجا قابلیت‌های GIS و نرم‌افزار کار با تصاویر در یک محیط قرار گرفته که کاربر را قادر می‌سازد هم مدل‌سازی سه‌بعدی محاوره‌ای و هم تجزیه و تحلیل مکانی داده‌های جغرافیایی رقومی را در اختیار داشته باشد. مطالعه آبهای سطحی و آبهای زیرزمینی تمرکز اصلی طرح است.
- امروزه در صنعت داده‌های مکانی نرم افزارهای متعددی وجود دارد که برای تجزیه و تحلیل مکانی مجموعه داده‌های جغرافیایی رستری و برداری مناسب هستند. داده‌های مکانی مربوط به آبهای سطحی و آبهای زیرزمینی می‌توانند برای مدل‌سازی مکانی حوزه آبریز رودخانه به صورت مناسبی تبدیل شوند.

تا این لحظه یک محیط مجازی ترکیبی سه بعدی برای تجزیه و تحلیل و نمایش همه داده‌های جغرافیایی در دسترس ایجاد نشده است. برای درک فرآیندهای مربوط به حرکت آبهای سطحی و آبهای زیرزمینی، از نرم‌افزارهای مدل‌سازی پیش‌بینی کننده و نرم‌افزارهای تجزیه و تحلیل کننده زمانی استفاده می‌شود. پیش‌بینی می‌شود که خروجی نهایی، یک محیط مدل‌سازی بوده (شکل ۴) و ابزاری برای استفاده کننده فراهم می‌سازد که بتواند بر روی داده‌های مکانی گردآوری شده عملیات سوال و پرسش را انجام دهد. این کار در یک محیط سه بعدی واقعی که در آن تجزیه و تحلیل مکانی وابزارهای نمایش جغرافیایی می‌توانند برای اندازه‌گیری، نمایش و تبدیل به نقشه نمودن آبهای سطحی و زیرزمینی (همچنین شوری خاک) استفاده شوند، انجام می‌شود.

هدف این طرح تولید سه نوع محصول است (تصاویر و نقشه‌های موضوعی، آنالیزهای GIS و نمایشگاهی دینامیک) (شکل ۳) و می‌تواند توسط دولت محلی به عنوان نمایش میزان آسیب پذیری جامعه با استفاده از داده‌های موجود و فنون و فناوری مدل‌سازی ای که مناسب برای آموزش جامعه و کاهش میزان خطرات و خسارات است، ارائه شود.

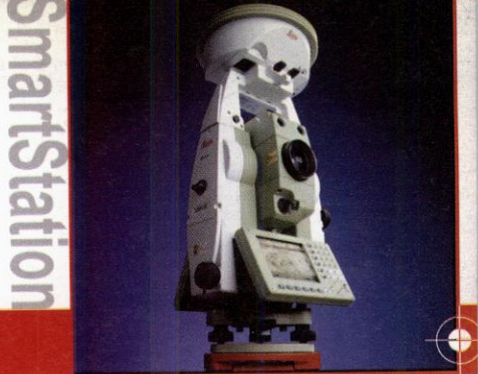
بدین منظور این طرح روشی را برای ترکیب داده‌های موجود در دسترس و مدلها و فنون ارائه داد. سپس یک ارزیابی از میزان کارایی و محدودیت‌های نمایشگاهی بصری حاصله بعد از مشورت با عموم انجام شد.

جلسه مشورتی با عموم مردم منطقه مزبور برگزار گردید و سه نوع نمایش حاصله به آنها ارائه شد. این جامعه متشکل بود از افرادی از بخش‌های خدمات اضطراری (مانند پلیس، آتش‌نشانی، خدمات اورژانس منطقه‌ای)، افرادی از مدرسه منطقه و ساکنان محلی. پرسشنامه‌ای نیز توسط این شرکت کنندگان تکمیل گردید. نتایج حاصله نشان دهنده این بود که نقشه‌های موضوعی و خروجی GIS اطلاعات ارزشمندی در مورد پدیده ریزش کوه در اختیار جامعه قرار می‌دهد. نمایشگاهی دینامیک اگر چه جالب و سرگرم کننده بودند اما از نظر جامعه به اندازه محصولات دیگر برای نیل به این مقصود مفید نبودند.

مدل سازی حوزه‌های آبریز

هدف از این طرح تحقیقاتی عبارت است از ترکیب کردن مجموعه داده‌های موجود و پیشنهادی اقتصادی، اجتماعی و زیستمحیطی در یک مدل رایانه‌ای جغرافی مبنای که به وسیله آن بتوان مشخصات حوزه آبریز یک رود را نمایش داده و تجزیه و تحلیل نمود. داده‌ها در یک محیط مجازی سه‌بعدی رایانه‌ای نمایش داده می‌شوند که دارای ابزارهایی برای بررسی و پرسش در مورد آبهای سطحی و آبهای زیرزمینی می‌باشد. یک روش کلی گراید بررسی و تجزیه و تحلیل حوزه‌های آبریز شامل تحقیق در زمینه‌های زیر خواهد بود:

- کیفیت آب- کاربرد مدل‌های رایانه‌ای برای کمک به درک



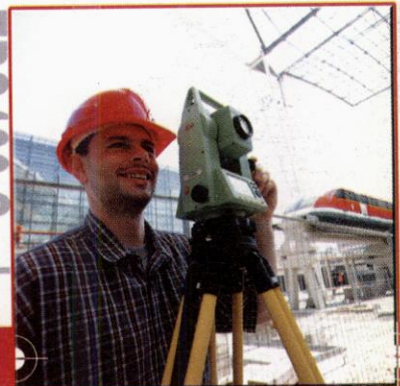
GRX 1200



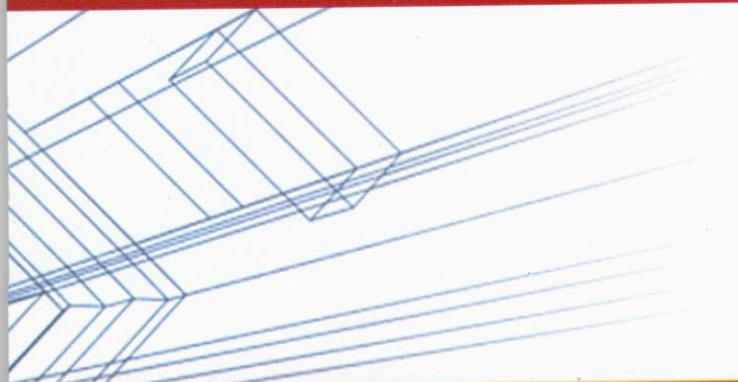
TPS800 Series



TPS400 Series



اولین توتال استیشن منضم به GPS در جهان



پیشرفته ترین گیرنده های ایستگاه های دائمی GPS



توتال استیشن ایده ال مهندسین نقشه بردار

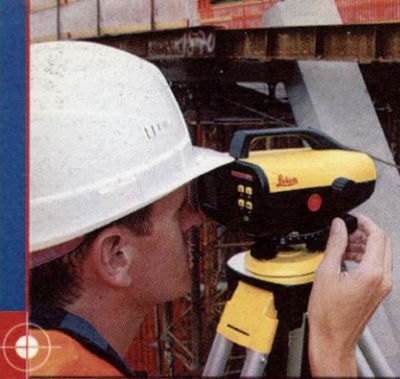


پرفروش ترین توتال استیشن لایکا در ایران

- when it has to be **right**

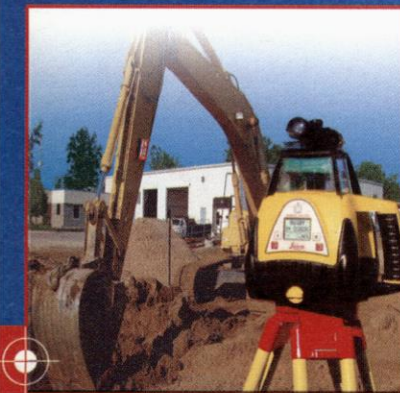
Leica
Geosystems

- زمانی که کار باید درست باشد



SPRINTER

رازیاب های دیجیتال سری ساختمانی لایکا



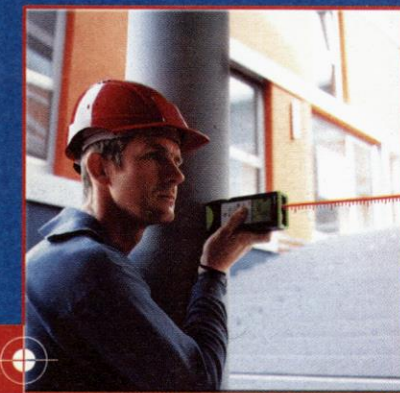
RUGBY

توماسیون ماشین آلات راه سازی لایکا



DIGICAT

سیستم تعیین موقعیت تاسیسات زیرزمینی لایکا



DISTO

تر لیزری جدید و دقیق لایکا با برد ۲۰۰ متر

www.geobite.com

آدرس : خیابان خرمشهر - خیابان مرغاب - خیابان ایازی

پلاک ۵ تلفن : ۰۱۳-۰۶۷۰-۸۸۷۵۵۰ فکس : ۰۶۷۰-۸۸۷۶۰

GEOBITE

Geo Based Information TEchnology

برکت فن آوری داده های زمین (ژئوبایت)

ساینده انحصاری شرکت لایکا سوئیس در ایران

حساس باشد، البته با در نظر گرفتن کاربرد مدل و شرایط محدود کننده‌ای که می‌بایست به مدل اعمال شوند. در اینجا خبره بودن کاربران و توانایی آنها در تفسیر نتایج مدل سازی مهم است، عواملی که به عنوان حقایق مهم موثر بر جمع آوری و تجزیه و تحلیل داده‌های مربوط به طرح پذیرفته شده‌اند. سازنده مدل می‌بایست از عوامل نامریوط و بی‌تأثیر در مورد عوارض مورد مطالعه آگاه بوده و از آنها چشم پوشی کند. مدل ساز باید با مفهومی نمودن مساله، معیارهای انتخاب و ساده کردن داده‌ها را تعیین نماید. موضوعات مربوط به مطالعه یک نوع از بلایای طبیعی باید توسط کارشناسان رشته‌های مربوط به آن تعیین شود. آنها می‌توانند تخصصها و تجهیزات موردنیاز برای یافتن راه حل یک مساله را تعیین نمایند. امروزه این فناوری نیست که محدود کننده توانایی ما در مدل سازی محیط اطرافمان است بلکه توانایی خودمان در مفهومی کردن و ساختن نوعی منطق درباره مفهوم خاص یک مساله محدود کننده است. یک نکته مهم در ایجاد یک مدل مکانی عبارت است از غلبه مشاهدات و برداشت‌های احساسی مختلفی است که در اثر عقاید گوناگون افراد دخیل در ایجاد مدل به وجود می‌آید. الگوهای باورهای خاص ممکن است طوری در ذهن افراد رسوخ کرده باشد که فرضها و استنباطهای بخصوصی را درباره طبیعت ایجاد نموده و دیدگاهی نادرست و متفاوت با وضعیت واقعی طبیعت به وجود آورده. می‌توان انتخاب مدل را بجای اینکه بر اساس خصوصیات ذاتی مسئله باشد، بر اساس دانش و تجربه مسئول حل مساله انجام داد. از آن جایی که مدلها شدیداً تحت تاثیر دیدگاههای سازنده مدل هستند، بسیار مهم است که ایده‌های از پیش تعریف شده‌ای درباره داده‌ها نداشته باشیم. عموماً تمايلی برای حذف داده‌هایی که با نتایج مورد انتظار برای طرح هماهنگ نباشند وجود دارد. همچنین عموماً تمايلی برای تأکید بر نتایج مثبت تحقیقات و بزرگنمایی اهمیت بعضی نتایج خاص وجود دارد. گاهی نیز فرد مطالعه کننده بلایای طبیعی ممکن است بدون درک کامل مساله مورد بررسی، راه حلی را ارائه کند. مدل‌های محاسباتی نظری آنها که برای مدل سازی مکانی استفاده می‌شوند، نیاز به الگوریتم‌های دقیقی دارند که ممکن است همواره مقتضی و مناسب نباشند، بخصوص هنگامی که با عدم اطمینانهایی

نمایش و تجزیه تحلیل سطحی و زیر سطحی پیوسته با مدل سازی پیش‌بینی کننده ممکن است.

در اینجا، شکل ۴ نشان‌دهنده نمایش محیط سه بعدی است که در آن استفاده کننده تجزیه و تحلیلهای جغرافیایی را انجام می‌دهد.



شکل ۴. دید سه بعدی از شبیه‌سازی یک محیط مدل سازی

این مدل در طول زمان توسعه خواهد یافت و در صورت نیاز از تخصص پژوهشگران سایر رشته‌های انسانی استفاده می‌کند. نسخه اول آن با ساختار محکمی پایه گذاری می‌شود. در ضمن تکمیل مدل، مازولهای جدیدی در آن وارد خواهند شد.

نتیجه گیری

مدلهای مکانی دید محدودی از دنیای فیزیکی ایجاد می‌کنند. دنیای ما دربردارنده واکنش‌های متقابل پیچیده‌ای میان عوامل مختلف طبیعی است که نمی‌توان همواره آنها را توسط یک مدل مکانی رایانه‌ای بازسازی نموده و نمایش داد. تغییر در یک عامل ممکن است باعث واکنش در قسمت دیگری از سیستم شود که به آسانی برای ناظر این سیستم طبیعی آشکار نباشد. با در نظر گرفتن فقط بخشی از واقعیت‌های طبیعی، ممکن است ارتباط آن با سایر مفاهیم طبیعت را که شاید در آینده مهم باشند، از دست بدھیم. بلایای طبیعی عموماً دارای طبیعتی متغیر در حوزه مکان و زمان هستند که به این علت مدل سازان باید عمل مدل سازی مکانی بلایای احتیاط انجام دهند. موفقیت در امر مدل سازی مکانی بلایای طبیعی شدیداً بستگی دارد به اینکه سازنده مدل راه حلی به وجود آورده که نسبت به تقسیم‌بندی مناسب مساله و تحديد مناسب آن

هر محصول کارتوگرافی دارای سطح معینی از جنرالیزاسیون است که بر درک کاربر از آن پدیده تاثیر می‌گذارد. با در نظر گرفتن مشخصه خروجیهای یک مدل، ضروری است که نگاه دقیقی به طبیعت داده‌های مورد استفاده داشته باشیم. هر چه خروجی‌هایی با جزئیات بیشتر مورد درخواست باشند، درک طبیعت و کیفیت داده‌ها مهم‌تر خواهد بود. داده‌هایی که برای تولید خروجیهای خاص و دارای جزئیات استفاده می‌شوند، باید دارای کیفیت بالایی باشند. بیشتر خروجیهای حاصل از مدل‌سازی پیگاه داده‌های مکانی رقومی‌طوری پردازش شده اند که انواع جدیدی از اطلاعات را که در داده‌های اولیه نبوده است، ایجاد کنند. چنین اطلاعاتی ممکن است ایده‌ها و طرق جدیدی را برای درک بلایای طبیعی به وجود آورد که قابل تفسیر توسط کاربران نیز باشند.

باید پذیرفت که محصولات کارتوگرافی در ارائه اطلاعات درباره بلایای طبیعی گرانبها هستند ولی تجزیه و تحلیل کننده باید در نظر داشته باشد که این محصولات فقط نسخه‌های ساده شده‌ای از پدیده‌هایی را ارائه می‌کنند که ممکن است سیستمهای طبیعی پیچیده‌ای باشند.

مراجع

1. Burrough P A and Frank A U (1995) " Concepts and Paradigms in Spatial information : are current Geographic information systems truly generic ? ", International Journal of Geographic Information Systems, Vol.9, No.2, pp101-116, Taylor & Francis.
2. Goldstein M and Goldstein I F (1978) "How we Know-An Exploration of the Scientific Process", Plenum Press.
3. The National Airborne Geophysics Project - Report5, " Evaluation of Airborne Geophysics for Catchment Management. By Natural Resource Systems for Agriculture, Fisheries and Forestry-Australia and the National Dryland Salinity Program" , December 1998.

مریبوط به تعریف مکانی بعضی عوارض موجود در محیط یک حادثه طبیعی سر و کار داشته باشیم. ما در مفهوم بخشیدن به جهان اطرافمان معمولاً نوعی ساختار را بر روی طبیعت قرار می‌دهیم. معمولاً نیاز به تقسیم بندهی محیط مورد مطالعه که در واقع یک سیستم پیوسته است وجود دارد. الگوریتمهای دقیق، سازنده مدل را مجبور می‌کنند که داده‌های مکانی را با الگوریتم موجود در نرم افزار هماهنگ کنند.

مدل‌سازی باید مقایسه بین خروجیهای مختلف حاصل از منابع متفاوت داده‌ها و فنون پردازشی متفاوت را فراهم نماید. در حال حاضر، بسیاری از مدل‌های مکانی نسبت به تغییرات کاملاً غیر قابل انعطاف بوده و فقط با یک سبک خاص تصمیم‌گیری هماهنگ هستند.

مدل‌ها باید بتوانند همراه با کسب دانش و اطلاعات بیشتری درباره فرآیند مریبوطه، خود را پالایش نموده و بهبود بخشنند. نتایج هر مدل‌سازی باید با توجه به و در مقایسه با راه حل‌های دیگر مساله و مقایسه با نتایج معیارهای شناخته شده در دنیای واقعی سنجیده شود. هر نوع نتیجه گیری حاصل از مدل‌سازی باید با فرضهای ساخته شده درباره موضوع مورد مطالعه تعديل و هماهنگ شود و کاربرد نظری یا عملی یک مدل نیز به همراه آزمایش نتایج باشد. نتایج حاصل از مدل باید با نتایج مشاهده شده قبل از اخذ تصمیم، برای بررسی دقت مدل مقایسه شوند. علی رغم بیشترین تلاشها برای تعیین کیفیت داده‌ها، به علت نیاز به عمل جنرالیزاسیون، تغییرات نمایشی در مرحله کارتوگرافی غیر قابل اجتناب است. نمادهای گرافیکی ساده نسبت به مقیاس نقشه حساس بوده و باید با توجه به مراحل معین جنرالیزاسیون استفاده شوند. برای نمایش داده‌هایی مشخص می‌توان از محصولات کارتوگرافی متفاوتی استفاده نمود.

GPS مدرنیزاسیون

نویسندهان: Bryn Fosburgh and Bruce Peetz, Trimble, USA

مترجم: مهندس لطف الله عمادعلی

کارشناس ارشد ژئودزی مدیریت نقشه برداری فوزستان

emadali@ncc.neda.net.ir

ماهواره ای GPS فقط در زمانهای محدودی از شبانه روز در دسترس بودند، ولی امروزه با وجود گیرنده هایی با ابعاد تلفنهای همراه و امکان دستیابی به سیگنالها در تمامی ساعات شبانه روز و در تمامی نقاط دنیا، سیستم GPS در مقام مقایسه عصر فضارتادعی کرده و در واقع چنین نیز هست.

دستاوردهای گذشته

سیستم GPS که در سال ۱۹۷۴ توسط وزارت دفاع ایالات متحده و به منظور فعالیتهای آن وزارت توانه یافته، سیگنالهای تعیین موقعیت، تعیین زمان و ناویری را برای کاربران نظامی و غیرنظامی در سراسر دنیا فراهم می نماید. ۱۰ ماهواره اولیه بلوک ۱ که در فاصله ۲۰۳۰ کیلومتری از سطح زمین قرار گرفته و در فاصله زمانی بین سالهای ۱۹۷۸ تا ۱۹۸۵ پرتاب شده اند، به وسیله ۲۸ ماهواره بلوک ۲ که از سال ۱۹۸۹ تا ۱۹۹۷ به فضا پرتاب شده و ۱۰ ماهواره بلوک ۳R که از سال ۱۹۹۷ به بعد به فضا فرستاده شدند جایگزین گردیدند. امروزه ترکیب فضایی ۲۹ ماهواره ای موجود در فضا، شامل ۱۹ ماهواره از بلوک ۲ او ۱۰ ماهواره از بلوک ۳R است. هر ماهواره دو سیگنال L1 و L2 ارسال می کند که هر کدام از آنها شامل کدهای شبیه تصادفی (PRN) است که برای دستیابی به اطلاعات مربوط به تعیین موقعیت ناویری و تعیین زمان استفاده می شود. این کدها گیرنده های GPS را قادر می سازد تا سیگنالهای چندین ماهواره را به صورت همزمان رديابی کرده و نیز در هر زمان از شبانه روز و در هر مکان از زمین قادر به تعیین موقعیت دقیق باشند.

پیش گفتار

ایالات متحده در سال ۱۹۹۸، رسماً اعلام کرد که به منظور گسترش قابلیتهای سیستم تعیین موقعیت جهانی (GPS)، فعالیتهای را آغاز کرده است. در طرح مدرن سازی GPS ضمن افزایش توان سیگنال، دو سیگنال جدید برای کاربران غیر نظامی اضافه و در شاخه کاربری نظامی نیز سیگنالهای جدیدی با خصوصیات پیشرفته به این سیستم افزوده خواهد شد. این طرح برای نقشه برداران و کاربران نقشه کشی و پیمانکاران سازه ای و همچنین سایر کاربردهای غیر نظامی شامل کاربردهای هوایی ناوگان زمینی و دریایی، کشاورزی و مدیریت سرمایه مزایای قابل ملاحظه ای را دربردارد. اجرای این طرح موجب افزایش درجه صحت نتایج و ثبات اندازه گیریها، افزایش بهره وری و ایجاد زمینه پیشرفت گسترده در دستگاههای گیرنده می گردد. نویسندهان این مقاله قصد دارند با تکیه بر کاربرد غیر نظامی طرح مذکور ضمن مرور برنامه دولت در مدرنیزه سازی GPS به بحث در مورد تاثیر آن بر حرفه نقشه برداری پردازنند.

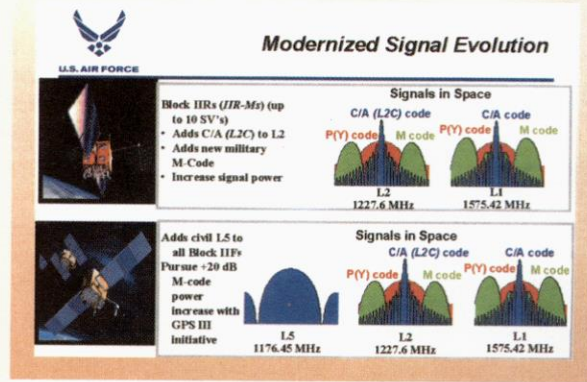
مقدمه

فناوری در حال تغییر است و این تغییر بر کیفیت کار ما نیز تاثیر می گذارد. در اوایل دهه ۱۹۸۰، زمانی که GPS برای نخستین بار در حیطه کار نقشه برداران وارد شد، هیچ کس نمی دانست که این سیستم به صورت بخشی لاینک از ابزار کار نقشه بردار در خواهد آمد. اولین دستگاههای نقشه برداری GPS به بزرگی یک چمدان بوده و می بایست با خودرو حمل می شدند، سیگنالهای

در فواصل بلندتر با دشواری بیشتری انجام شود. بنابراین برای دریافت نتیجه بهتر و دقیق‌تر با گیرنده‌های دو فرکانسی گزینه بهتری مورد نیاز بود. این نیاز منجر به اجرای برنامه مدرنیزه سازی GPS گردید.

دو سیگنال غیر نظامی جدید

در طول چند سال آینده مدرنیزه سازی سیستم GPS موجب افزایش دو سیگنال خواهد شد و قدرت سیگنال را در شاخه کاربری غیر نظامی افزایش خواهد داد. همچنین ویژگیهای پیشرفته و سیگنالهای جدیدی را برای کاربردهای نظامی ارائه خواهد داد. اولین سیگنال جدید غیر نظامی یک کد تجاری (سیگنال غیر نظامی یا CS) به سیگنال L2 (تحت عنوان L2C) اضافه خواهد گردید. این سیگنالها، گیرنده‌ها را قادر خواهد ساخت برای تصحیح خطأ - که در روش پیشرفته RTK مورد نیاز است - به دو سیگنال قوی دست یابند. سیگنال L2C نیز دارای کد پیچیده‌تری است که قابلیت استفاده در فناوری گیرنده مدرن را دارد و نتایج حاصل از کاربرد آن بسیار پایدارتر خواهد بود. سیگنال L2C اگر چه تا حدودی ضعیف‌تر از سیگنال L1 است، اما قدرت ارسال بیشتری نسبت به سیگنال L2 موجود خواهد داشت.



شکل ۱. با مدرنیزه شدن GPS دو سیگنال جدید به این سیستم افزوده شده، توان سیستم برای کاربران غیر نظامی افزایش یافته و امکانات پیشرفته و سیگنالهای جدید برای کاربران نظامی ایجاد خواهد شد.



شکل ۲. در یک نگاه: ماهواره‌های IIA-17 و IIA-9 هم اکنون در مدار بوده و ماهواره‌های IIR-3, IIR-7 و IIR-16 طبق برنامه زمانبندی شده پرتاب خواهند شد.

سیگنال L1 که به طور قراردادی با فرکانس ۱۵۷۵.۴۲ مگاهرتز ارسال می‌شود، دارای کد C/A یا کد تجاری است که به عنوان دریافت اکتسابی نیز شناخته می‌شود، در حالی که سیگنال L2 که با فرکانس ۱۲۲۷.۶ مگاهرتز و کد P/Y ارسال می‌شود برای مقاصد نظامی در نظر گرفته شده است. گیرنده‌های نقشه برداری تجاری اولیه تک فرکانس بودند که تنها از سیگنال غیر نظامی L1 بهره می‌بردند. تعیین موقعیت با دقت‌های مورد نیاز نقشه برداری، مستلزم عملیات پردازش بعدی مشاهدات تک فرکانس بود. با این حال طی یک دهه دانشمندان و جامعه نقشه برداران امکانات استفاده از سیگنال L2 را که در انحصار شاخه نظامی است، توسعه دادند. برای این منظور روش‌های نوینی برای استفاده از اطلاعات استخراج شده از کد L1 با هدف حداکثر بهره وری از سیگنال L2 ابداع گردید. این امر به گیرنده‌های دو فرکانسی امکان داد تا زمان دریافت دو سیگنال را اندازه گیری نموده و خطاهای یونسفریک و تروپوسفریک را که با افزایش مسافت اضافه می‌گردند، تصحیح کنند. گیرنده‌های دو فرکانسی در ابتدا برای اندازه گیری طولهای بلند مورد استفاده قرار گرفته و سپس با پیشرفت فناوری، برای تعیین موقعیت آنی به کار گرفته شدند. اگر چه این روش استفاده از سیگنال L2 روش مناسبی است اما اندازه گیریهای به دست آمده با این روش از اندازه گیریهایی حاصل از روش استفاده مستقیم سیگنال L1 دارای نویز بیشتری است و این امر موجب می‌شود کار

موجود نیز از کارآبی لازم برخودار خواهد بود. ورود فناوری گیرنده‌های جدید به بازار نقشه‌برداران را قادر خواهد ساخت به محض ارائه توانایه‌های پیشرفته‌تر ماهواره‌ای از امکانات آنها برخوردار گردند.

در شرایط کنونی وضعیت چگونه است؟ از آنجایی که بیشتر نقشه‌برداران سالیان متمادی از تجهیزات خود استفاده می‌نمایند، می‌توانند با پرداخت هزینه برای ارتقاء سیستمها از قابلیتهاي فوق الذکر بهره جسته و از این طریق پاسخگوی نیازهای خود در سالهای آتی باشند. راه حل جدید می‌تواند پتانسیل بهره‌وری سیستم را به طرز چشمگیری افزایش دهد. بنابراین، این نکته حائز اهمیت است که تجهیزات خریداری شده خواه در زمینه نقشه‌برداری خواه در مصارف شاخه نظامی، فناوری و توانایی دسترسی به قابلیتهاي پیشرفته سیگنال L2C در آینده را داشته باشند.

کاربردهای عملی در جهان واقعی

به منظور گسترش یا تکثیر شبکه دائم سیستم تعیین موقعیت جهانی (CGPS) در جزایر شمالی و جنوبی نیوزیلند، موسسه انحصاری زمین‌شناسی و علوم هسته‌ای (GNS) به گیرنده‌های مناسبی برای مناطق دور دست- که از انرژی خورشیدی با میزان مصرف پایین بهره جسته وaz طریق یک ارتباط اینترنتی در سیستم عامل لینوکس به هم متصل هستند- نیاز داشت. در تصمیم این موسسه برای خرید ۴۰ دستگاه گیرنده GPS با ایستگاه مرجع فعال دائمی ملاحظات مربوط به مدرنیزاسیون GPS نقش مهمی را ایفا می‌نمود. همچنین موسسه حمل و نقل اوهايو (Ohio) نیز گیرنده‌های GPS مجهز به سیگنال L2C را برای شبکه در دست احداث ایستگاه مرجع مجازی (VRS) خریداری نمود. از آنجایی که گیرنده‌های مرجع در یک شبکه زیر بنایی غالباً در یک موقعیت ثابت استقرار می‌یابند و نمی‌توان آنها را بسادگی مانند یک گیرنده متحرک جایجا نمود، بنابراین فناوری مدرنیزاسیون GPS دستاوردهای بیشتری را در این زمینه در برخواهد داشت.

دستاوردهای اضافی

نقشه‌برداران نیز تمایل دارند از پیشرفتهای حاصل در زمینه

بلوک IIR-M (مدرنیزه شده) اولین نسل ماهواره مجهر به این فناوری است که برای ارسال در ۱۲ ماه آینده برنامه ریزی شده است. تاریخ دقیق پرتاب این ماهواره به برنامه زمانبندی وزارت دفاع ایالات متحده بستگی دارد. اگر چه اولین نمونه‌های ساخته شده از ماهواره‌های بلوک IIR-M با کد غیر نظامی جدید و دو کد جدید نظامی مدرنیزه شده‌اند، با این حال وزارت دفاع آمریکا قصد دارد ۱۲ ماهواره از ماهواره‌های بلوک IIR موجود در مدار را مدرنیزه نماید و این خود نخستین گام بزرگ در زمینه بهبود فناوری ماهواره محسوب می‌شود.

دومین سیگنال غیر نظامی کاملاً جدید، سیگنال L5 خواهد بود. قدرت ارسال این سیگنال ۱۱۷۶/۴۵ مگاهرتز است که سطح بالاتری را نسبت به سیگنالهای دیگر فراهم خواهد کرد و پهنای باند بیشتر آن می‌تواند کدهای طولانی تری را ارائه نماید. بنابراین دریافت و رديابي سیگنالهای ضعیف آسانتر می‌شود. از آنجایی که قراردادن سیگنال L5 در ماهواره نوع IIR-M امکان پذیر نیست، چهارمین نسل از ماهواره‌های بلوک II (بلوک IIF) در حال توسعه است. این نوع ماهواره‌ها علاوه بر سومین سیگنال غیر نظامی L5 ویژگیهای ماهواره‌های مدرنیزه شده بلوک IIR-M را نیز خواهند داشت. طبق برنامه زمانبندی شده، اولین ماهواره بلوک IIF در سال ۲۰۰۶ به فضا پرتاب خواهد شد.

تأثیرات این سیستم بر نقشه‌برداری

وزارت دفاع ایالات متحده با افزودن سیگنال غیر نظامی L2C بهترین وضعیت را برای کاربران غیر نظامی بخصوص نقشه‌برداران فراهم می‌آورد. نقشه‌برداران برای دستیابی به دقت‌های در حد سانتی‌متر در حالت نقشه‌برداری RTK بیشتر از سایر کاربران غیر نظامی سیگنال L2 را به کار می‌برند. وزارت دفاع با افزودن سیگنال غیر نظامی به آنچه که به عنوان کاتال نظمی تلقی می‌شود، به اهمیت و توان جامعه کاربران غیر نظامی که گروه نقشه‌برداران بخش مهمی از آن را تشکیل می‌دهند، پی خواهد برد. در حقیقت، GPS را دیگر نمی‌توان به عنوان یک سیستم نظمی قلمداد نمود. از آنجایی که هدف از طراحی سیستم GPS مدرنیزه شده، سازگاری کامل با تجهیزات موجود کاربران GPS است، بنابراین گیرنده‌های

محصولات را براساس فناوری جامع و فرآگیر تولید نمایند.

آینده

از آن جایی که ارائه و توسعه نسل جدیدی از ماهواره ها نیازمند زمان است، وزارت دفاع قبل از مسائل مربوط به سیستم را تا سال ۲۰۳۰ میلادی برنامه ریزی نموده است. یک گروه از دانشمندان در حال تحقیق درباره نسل بعدی ماهواره تحت عنوان GPS III هستند. طبق اطلاعات موجود GPS III نسبت به طرح بلوک IIF پیشرفت‌های تجاری اندکی داشته است. مزیت عمدۀ این برنامه برای نقشه‌برداران آن است که فضای وجود ماهواره های مجهرز به ۱۵ انباشته شده و سیستم تا سال ۲۰۳۰ میلادی پیوسته به روز می گردد.

مرجع

GIM International ,Volume18 ,May 2004,PP41.43.

فناوری تعیین موقعیت ماهواره‌ای و سایر روش‌های تعیین موقعیت بهره مند گردند. طرح گالیله آژانس فضایی اروپا (ESA) و کمیسیون اروپا (EC) تا پایان دهه جاری به اجرا درخواهد آمد. طرح‌های گالیله و مدرنیزاسیون GPS برنامه های نوید بخشی در زمینه تقویت بهره‌وری محسوب شده و ویژگیها و تواناییهای را که قبل از پیش‌بینی نشده اند ارائه می نمایند. علاوه براین، تلفیق سیستمهای اینترشیال (INS) با برنامه های GPS و گالیله حد اکثر توان اجرایی را در محیط‌ها و کاربردهای گوناگون برای کاربران سیستم INS فراهم خواهد ساخت. سیستم GPS که به وسیله فناوری GPS تقویت می شود، در موقعیتهایی که سیگنالهای ماهواره های GPS با مانع رویرو می شوند، مانند محیط‌های پوشیده از جنگلهای انبوی یا سازه‌های بلند شهری می تواند سیستم تعیین موقعیت قابل اعتماد RTK را ارائه نماید. سازندگان با اطلاع از این پیشرفت‌ها به طور دائم در زمینه تحقیق و توسعه مقدماتی در حال سرمایه‌گذاری هستند تا بتوانند از هر یک از فناوریهای وارد شده به بازار بهره مند شده و

www.ncc.org.ir

گزارشی از نشست غیر عادی در منطقه شمال مشهد مقدس

(بر اساس مشاهدات روزانه اخیر از ۱۰ دیماه ۱۳۸۴ تا ۱۰ مهرماه ۱۳۸۴)

نویسنده: دکتر یمینی جمیور

مدیر کل نقشه‌برداری زمینی سازمان نقشه‌برداری گشوار

پ- djamour@ncc.neda.net.ir

زهرا موسوی، همید رضا نانگلی، زهراه (همینی)، سیاوش عربی و علی طالبی
کارشناسان اداره کل نقشه‌برداری زمینی سازمان نقشه‌برداری گشوار

جنوب غربی است.

● گسل شاندیز - سنگ بست: این گسل یکی از مهمترین گسل‌های بینالود محسوب می‌شود. راستای آن شمال غربی - جنوب شرقی و سازوکار آن راندگی است. فاصله این ایستگاه از گسل فوق حدود ۴۰ کیلومتر است.

با توجه به اینکه دشت مشهد در بین دو پهنه ساختاری چین خورده بینالود و کپه داغ قرار دارد، گسل‌های فراوانی - بعضاً با سابقه لرزه خیزی و اکثراً جوان - در آن وجود دارد. بنابراین ایستگاه توس و ایستگاه‌های مجاور در ثبت داده‌های حاصل از حرکات نسبی پوسته‌ای ناشی از فشار دائمی از سوی شمال شرق (صفحه توران) به سمت جنوب غربی (صفحه ایران) نقش مهمی خواهد داشت.



نگاره ۱. منطقه شمال شرقی ایران و موقعیت ایستگاه توس در دشت شمال غرب مشهد

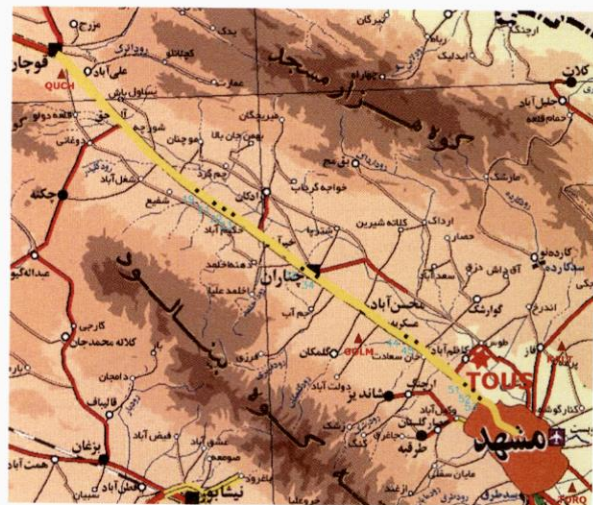
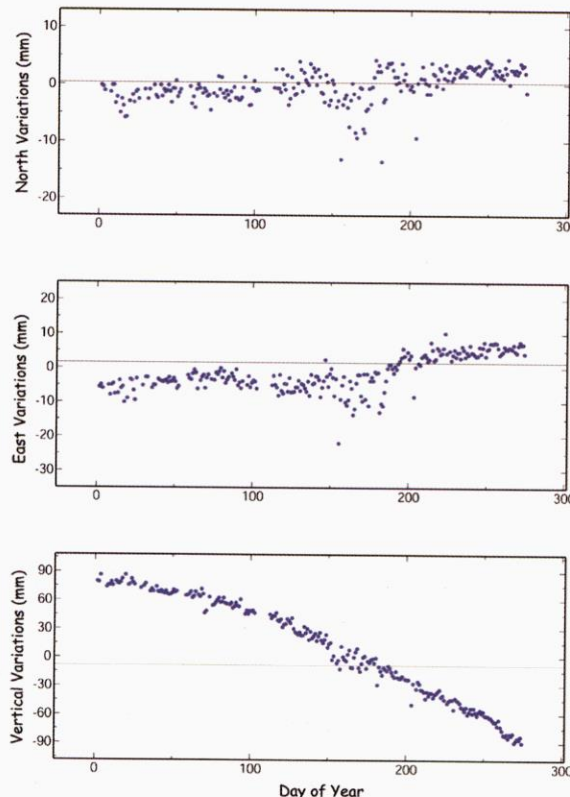
مقدمه

ایستگاه GPS دائمی توس در حدود ۱۰ کیلومتری شمال غرب مشهد با طول جغرافیایی $59^{\circ}20'42.15''$ و عرض جغرافیایی $36^{\circ}26'42.15''$ در محوطه ایستگاه تقویت فشار شهید باقری مربوط به منطقه ۴ عملیات انتقال گاز در جاده فردوسی قرار دارد (نگاره ۱ و ۲). از دیدگاه زمین‌شناسی این ایستگاه در پهنه ساختاری کپه داغ (نزدیک حاشیه جنوبی کپه داغ) قرار گرفته است که دشت اطراف ایستگاه موردنظر توسط واحدهای آبرفتی جوان پوشانده شده است. گسل‌های مهم اطراف این ایستگاه عبارتند از:

● گسل کارده: این گسل با امتداد شمال غربی - جنوب شرقی و سازوکار راندگی در پهنه ساختاری کپه داغ قرار دارد. فاصله این گسل تا ایستگاه GPS حدود ۱۵ کیلومتر است.

● گسل دو تایی: با سازوکار راستا لغز و امتداد شمال شرقی -





نگاره ۲. موقعیت ایستگاه توس در شمال مشهد و مسیر ترازیابی مشهد- قوچان

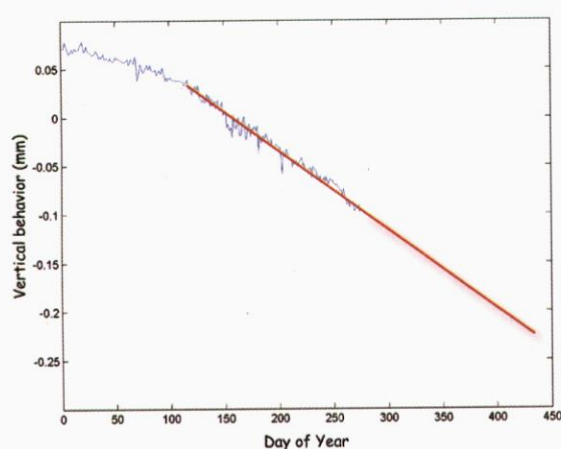
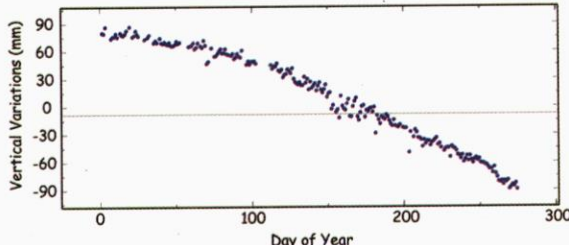
اندازه‌گیریهای GPS و جابجاییهای ارتفاعی مشاهده شده

نتایج پردازش مشاهدات ۲۴ ساعته ایستگاه توس به مدت ۹ ماه از اول ژانویه ۲۰۰۵ تا ۱۱ اکتبر ۲۰۰۵ (معادل دهم دیماه تا ۱۶ خرداد ۱۳۸۴) مهرماه به صورت سریهای زمانی این ایستگاه در سه مولفه مختصات شمالی-جنوبی (North)، شرقی-غربی (East) و ارتفاعی (Up) در نگاره ۳ دیده می‌شود. پردازهای روزانه فوق با استفاده از یکی از معترضترین و علمی ترین نرم افزارهای پردازش مشاهدات GPS به نام GLOBK/GAMIT و ترکیب با بیش از ۵۰ ایستگاه شبکه ژئودینامیک ایران و ایستگاههای دائم IGS و استفاده از پارامترهای مداری دقیق انجام گرفته است. براساس تغییرات ارتفاعی به دست آمده در نگاره ۳ به وضوح متوجه یک فرونشست ۱۷ سانتیمتری از اول ژانویه ۲۰۰۵ تا اکتبر ۲۰۰۵ (دهم دیماه ۱۳۸۳ الی ۱۰ مهرماه ۱۳۸۴) می‌شویم.

مشاهدات ترازیابی دقیق مسیر مشهد- قوچان

با توجه به وجود دونوبت مشاهدات ترازیابی دقیق در مسیر مشهد- قوچان و قرار گرفتن ایستگاه توس در فاصله تقریبی ۵ کیلومتری از نزدیکترین ایستگاه ترازیابی (نگاره ۲)، این دونوبت مشاهدات نیز مورد بررسی قرار گرفتند. نگاره ۴ تغییرات ارتفاعی حاصل از دونوبت مشاهدات ترازیابی دقیق بین سالهای ۷۳ و ۸۱ نشان می‌دهد که نمایانگر فرونشست در برخی از ایستگاههای ترازیابی در طول مسیر مورد مطالعه است. بیشترین فرونشست

وظیفه ملی ایجاد می نماید که با اطلاع رسانی بموقع رفتار ارتفاعی منطقه شمال غرب مشهد به مستو لان و تصمیم گیران مربوط از بروز خسارت های سنگین احتمالی مربوط به اینه فنی و تاسیسات صنعتی موجود در منطقه جلوگیری شود.

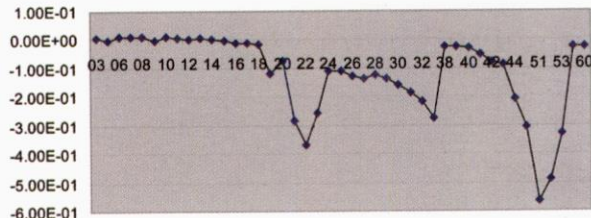


برای بررسی دقیق تر علت فرونشست فوق نیاز به کاوشهای بیشتری توسط تخصصهای مرتبط در سازمانها و موسسات ذیربسط است. در همین راستا پیشنهادات زیر ارائه می شود:

- اندازه گیری حداقل دو نوبت ترازیابی دقیق از محل ایستگاه GPS دائم توسر تا مسیر ترازیابی مشهد- قوچان و نیز مشاهدات ثقلی دقیق با فاصله زمانی چند ماهه به منظور مطالعه و تجزیه و تحلیل دقیق ترمحل فرونشست. این اندازه گیری در حال حاضر در حال انجام است.

- انجام یک مطالعه تلفیقی InSAR و GPS در منطقه فرونشست (شمال غربی مشهد) به منظور تعیین دقیق محدوده مکانی فرونشست و نرخهای مربوط. در این خصوص یک توافق اولیه با یک همکار ایرانی در موسسه GFZ آلمان شده است و امید می رود تا چند ماه آینده نتیجه مقدماتی آن قابل حصول شود.

مربوط به ایستگاه ۵۱ ام است که در نزدیکی محل تقاطع جاده مشهد- قوچان و توسر قرار دارد. این فرونشست نزدیک ۶۰ سانتی در طول ۸ سال است که سرعت یک خطی $7/5$ میلی متر در سال است. بنابراین مشاهدات ترازیابی نیز در فاصله کمتر از ۵ کیلومتری جنوب ایستگاه GPS دائم توسر، روند فرونشست پوسته زمین را در این منطقه تایید می کنند.



نگاره ۷. نتایج ترازیابی مسیر مشهد- قوچان بین سالهای ۷۳ تا ۸۱

نتیجه گیری و پیشنهادات

به طور یقین با توجه به بزرگی قابل ملاحظه مقدار فرونشست حاصل از مشاهدات GPS در محل ایستگاه توسر (۱۷ سانتیمتر)، این رفتار نمی تواند ناشی از فرونشست محلی پیلار بتونی این ایستگاه باشد. زیرا نه تنها تاکنون نمونه چنین رفتاری در سایر ایستگاههای مشابه دیده نشده است بلکه اصولاً چنین رفتارهایی نمی تواند به صورت خطی و پوسته تا حدود ۹ ماه ادامه پیدا کند. این کاهش ارتفاعی ممکن است دارای عوامل مختلفی باشد که یکی از محتمل ترین آنها استخراج آبهای زیرزمینی در منطقه مورد بحث است و البته وجود تغییرات ارتفاعی فصلی ناشی از تغییرات تراز سطح آبهای زیرزمینی در فصول مختلف نیز دور از انتظار نیست. در این صورت می توان با داشتن حداقل یک دوره کامل یک ساله مشاهدات GPS دائم و تجزیه و تحلیل فرکانسی آن درمورد حرکات ارتفاعی فصلی اظهار نظر کارشناسی کرد.

- براساس نتایج حاصل از بردارش مشاهدات اخیر ایستگاه GPS دائم توسر، یک کاهش ارتفاع به مقدار تقریبی ۱۷ سانتیمتر از دیماه ۸۳ تا مهرماه ۸۴ وجود دارد.

- مشاهدات ترازیابی مسیر مشهد- قوچان که از فاصله کمتر از ۵ کیلومتری جنوب این ایستگاه می گذرد نیز یک فرونشست ۶۰ سانتیمتری را در فاصله سالهای ۷۳ تا ۸۱ نشان می دهد که موید نتیجه قبلی است.

- در صورتی که رفتار محل ایستگاه GPS دائم توسر با همین نرخ ادامه یابد، مقدار فرونشست در این ایستگاه در اسفندماه آینده به حدود ۳۰ سانتی متر خواهد رسید (نگاره ۵ و ۶). بر این اساس،

ثبت بلایا با استفاده از تصاویر

نویسنده: مهندس محمد سرپولکی
محاون فنی سازمان نقشه‌برداری کشور
saripulki@ncc.neda.net.ir



نگاره ۱. بخشی از شهر هیروشیما قبل از بمباران هسته‌ای



نگاره ۲. بخشی از شهر هیروشیما بعد از بمباران هسته‌ای

در طول تاریخ، بشر همواره با انواع بلایای طبیعی و غیر طبیعی دست به گریبان بوده است، به گونه‌ای که متاسفانه هر از چند گاهی شاهد وارد آمدن میلیارد رها دلار خسارات مالی و از دست رفتن جان تعداد زیادی از افراد بشر هستیم که عمدتاً آنها را کودکان، افراد بی‌سرپناه و اقوام ضعیف جوامع تشکیل می‌دهند.

دلایل مختلفی در بروز یا گسترش ابعاد فاجعه آمیز این بلایا وجود دارد که شاید عمدت ترین آنها را بتوان جهل و نادانی بشر بر شمرد. بلایایی مانند جنگ، نسل کشی قومی، سوانح مرتبط با حمل و نقل، قحطی، سیل، خشکسالی، زلزله، زمین لغزش، توفان، سونامی، آتش‌نشانی، آتش‌سوزی جنگلها و ... که می‌توان آنها را به دو گروه طبیعی و غیر طبیعی تقسیم بندی نمود. به عنوان مثال، انواع مناقشتات سیاسی و جنگهای خونینی مانند جنگ جهانی دوم که با پایان غم انگیز بمباران هسته‌ای شهرهای هیروشیما و ناکازاکی ژاپن به وقوع پیوست، دسته‌ای از بلایا و مصایب انسانی را به دنبال داشت که شاید بتوان از آنها با نام بلایای غیرطبیعی نام برد. نگاره ۱ قسمتی از عکس هوایی شهر هیروشیما را قبل از بمباران هسته‌ای در تاریخ ۲۵ ژوئیه سال ۱۹۴۵ و نگاره ۲ تصویر دیگری از همان شهر را بعد از بمباران هسته‌ای در تاریخ ۶ آگوست ۱۹۴۵ نشان می‌دهد. حجم عظیم تخریب مناطق مسکونی، عمق فاجعه انسانی و میزان جهل و بی‌خردی عوامل جنایتکار آن را نشان می‌دهد.

نقشه و اطلاعات مکانی می‌تواند ضمن تسريع در مراحل امداد و نجات، موجبات کاهش تلفات جانی ناشی از بلایا را نیز فراهم آورد.



نگاره ۳. بخشی از شهر نیوارلنان قبل از وقوع طوفان



نگاره ۴. بخشی از شهر نیوارلنان بعد از وقوع طوفان

در خصوصیات بلایای طبیعی نیز می‌توان به نگاره‌های ۳ و ۴ اشاره نمود که شامل تصاویر ماهواره‌ای شهر نیو اورلان قبل و بعد از وقوع طوفان اخیر کاترین است.

علی‌رغم افزایش سطح علم و دانش و دستیابی به فناوریهای برتر، شکافتن هسته، دستیابی به فضا، ساخت ابرایانه‌ها، تهیه نقشه ژئوتک موجودات، کشف سلولهای بنیادی و بهره‌گیری از انواع و اقسام داده‌ها و اطلاعاتی که به صورت پیوسته از ماهواره‌های مختلف اخذ می‌گردد، نه تنها دانش کافی برای مقابله با بلایای طبیعی وجود ندارد بلکه تمامی این پیشرفتها و بهره‌گیری از فناوریهای نوین برای کاهش ابعاد و حجم خسارات ناشی از بلایای طبیعی نیز با مشکلات عدیده‌ای مواجه است. با وقوع طوفان اخیر در ایالات متحده و میزان خسارات مالی و جانی ناشی از آن مشخص گردید، عدم توانایی بشر در کاهش اثرات مخرب بلایا منحصر به کشورهای جهان سوم و یا در حال توسعه نیست. قطعاً راه حل مساله را باید در کاهش میزان جهل بشر و افزایش سطح دانش و دانایی او جستجو نمود. امروزه بشر علی‌رغم وجود منابع و سیستمهای مختلف برای اخذ داده‌ها و تبدیل این داده‌ها به دانش و بهره‌گیری از این دانش در بهبود وضع زندگی و کاهش اثرات مخرب بلایا توفیق چندانی نداشته است.

متاسفانه در چند سال گذشته، علی‌رغم برگزاری همایش‌های مختلف مهندسی نقشه‌برداری و ژئوماتیک در کشورهای مختلف و توجه بیشتر جوامع به نقشه، اطلاعات مکانی و کاربردهای آن، بهره‌گیری از توانمندیهای اطلاعات مکانی حتی در کشورهای پیشرفت‌به حدی نبوده است که بشر بتواند به صورت موثر از اثرات مخرب این بلایا بکاهد.

در هر حال نباید این واقعیت را از نظر دور داشت که نقشه و اطلاعات مکانی می‌تواند به صورتی موثر در بررسی موقعیت و وضعیت سکونتگاههای بشر از لحاظ آسیب‌پذیری در برابر بلایای مختلف مورد استفاده قرار گیرند. به عبارت دیگر، امروزه سیستمهای اطلاعات مکانی می‌توانند مکانهای مناسب برای ساخت سکونتگاههای جدید و انتقال سکونتگاههای در معرض خطر را معرفی نمایند. علاوه بر موارد فوق امکان شبیه‌سازی بلایا و شناخت و بررسی اثرات این بلایا قبل از بروز آنها وجود داشته و

تجربه‌ای از کاداستر گیلان، طرح شلمانرود

نویسنده‌ان:

مهندس رامین یوسفی

(ئیس گروه استاندارد و برنامه‌بازی مدیریت پژوهش و برنامه‌بازی سازمان نقشه‌برداری گشواره
yousefi@ncc.neda.net.ir)

مهندس کامبیز جلیله‌وند

(ئیس اداره کنترل سیستمهای اطلاعات جغرافیایی مدیریت نظارت و کنترل فنی سازمان نقشه‌برداری گشواره
jalilvand@ncc.neda.net.ir)

اینجاست که فناوری در خدمت مهندسی رئوماتیک و چگونگی مدیریت منابع زمینی درآمده و تخصیص اراضی به مردم و کاربردهای مختلف را، مستدل و منطقی می‌سازد تا برای همه امور زمین مورد نیاز را در اختیار داشته و بانک زمینی خویش را برای انجام طرحهای مفید اجتماعی عمرانی و ... به کار بیندیم.
این طرح حاصل تلاش کارشناسان ادارات کل نقشه‌برداری زمینی، نقشه‌برداری هوایی، سیستمهای اطلاعات جغرافیایی و نظارت و کنترل فنی است که تحت نظر معاونت محترم فنی سازمان انجام وظیفه نموده و هر کدام بخشی از کار را به انجام رسانده‌اند.

مراحل کار

مراحل کار طرح شامل ۳۲۳ روستا و بدین صورت بوده است. ابتدا به روش نقشه‌برداری هوایی تهیه نقشه ۱:۵۰۰۰ از منطقه انجام گرفته و پس از آن با عکسبرداری از منطقه به مقیاس ۱:۱۰۰۰ و تحديد حدود اراضی زمینی و تهیه اورتوفوتو عکسی و ایجاد بانک اطلاعات Access متصل به نقشه در محیط GIS، و دست آخر تهیه مدل رقومی زمین کار تکمیل گردید. پس از آنکه پرواز صورت گرفت، در اداره پردازش تصاویر (Remote Sensing) به روش اورتو فتو، موزائیک عکسی تهیه شده و به فرمت Geotiff تصاویر ذخیره سازی شد. البته با توجه به طبیعت کار و درخواست مدیریت نظارت و کنترل فنی، از محدوده روستاهای نیز به تفکیک تصاویر اورتو به فرمت Geotiff تهیه شد.

چکیده

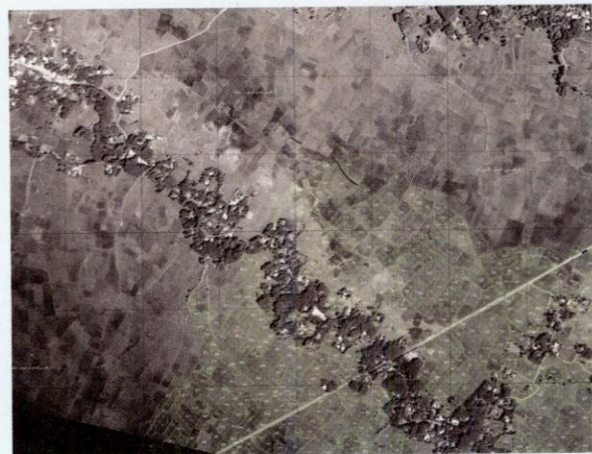
سازمان نقشه‌برداری گشواره برای تولید نقشه‌ها و بانکهای اطلاعاتی مبنای، تاکنون تولیدات و دستاوردهایی را ارائه نموده است. در این راستا یکی از تجارب ارزنده‌ای را که در استان گیلان به آن روی آورده، تهیه نقشه‌ها و بانکهای اطلاعاتی موسوم به کاداستر گیلان است که برای تحديد حدود اراضی زراعی و تعیین حق آبه و دیگر حقوق ملکی مطرح در کاداستر استفاده خواهد شد. طبیعی است که این طرح به عنوان اولین کار نواقصی را در اجرا داشته است، اما فوائد نقشه‌های کاداستر زراعی، نواقص موجود را تحت الشاعر قرار می‌دهد. امید است این مقاله بتواند کمکی در یافتن راه حل‌های نوین در ارائه نقشه‌ها با فرمت عکسی همراه با بانک اطلاعات توصیفی بنماید.

مقدمه

کمبود منابع طبیعی از جمله زمین برای کاربردهای مختلفی مانند کشاورزی، سکونت و ... باعث می‌شود که در کشورهای جهان سوم مدیریت زمینی (Land Management) ضرورت بیشتری داشته و توسعه در این زمینه صورت پذیرد. در مدیریت زمینی GIS کنترل و تخصیص منابع طبیعی با استفاده از فناوری مکانیزه GIS روستایی (کاداستر زراعی) در تشخیص نیازهای حیاتی جامعه و راه اندازی سیستمهای کاربردی برای برطرف کردن آن نیازها صورت می‌گیرد. البته در سایه تخصیص بجا و درست منابع با کمک سیستمهای GIS، عدالت اجتماعی رشد می‌نماید.

- ۶.۴ حذف خطوط کوچک زاید
- ۶.۵ حذف خطوط تکراری
- ۶.۶ حذف Gap ها و Sliver
- ۶.۷ حذف پلیگونهای زاید و پایپونی
- ۶.۸ Snap کردن
- ۶.۹ کنترل انتباقي لبه ها
۷. انتقال عوارض به فرمت Shape File
۸. تکمیل بانک اطلاعاتی در نرم افزار Access
۹. کنترل Shape File
۱۰. تهیه Layout در نرم افزار ArcGIS
۱۱. کنترل Layout
۱۲. تهیه آلبوم و شناسنامه برای هر روستا به صورت Hard copy
۱۳. کاهش حجم اطلاعات رستری به ۷۱۶ مقدار اولیه
۱۴. ارسال مدارک به کارفرما
۱۵. تهیه نرم افزار نمایشگر کاداستر گیلان، با استفاده از نرم افزار Visual Basic و Map Object برای سهولت استفاده کاربران از کلیه مدارک تهیه شده در فرمت وکتوری Shape و فرمت رستری Geotiff و بانک اطلاعاتی Access با قابلیتهای ذیل:
۱۶. کنترل سر آزاد المان
۱۷. نمایش اطلاعات وکتوری، توصیفی و رستری
۱۸. Zoom out , Zoom in , Pan, Zoom extent
۱۹. نمایش اطلاعات توصیفی مورد نیاز کاربران
۲۰. جستجوی روستایی مورد نظر از طریق Index
۲۱. امکان اخذ پلات و پرینت از اطلاعات وکتوری و رستری در مقیاس دلخواه
۲۲. نمایش اطلاعات مورد نظر به صورت Tooltip
۲۳. جستجوی اطلاعات توصیفی از طریق نقشه
۲۴. جستجوی پارسلهای زراعی از طریق داده های توصیفی
۲۵. دریافت اطلاعات توصیفی به صورت Info از قطعات زراعی
۲۶. امکان اخذ Print از شناسنامه های هر روستا

(تصویر نمونه زیر مربوطه به روستای کماچال پائین محله از منطقه است).



همراه با این کار در اداره کل نقشه برداری زمینی هر کدام از عاملان با استفاده از عکسهای کاغذی نسبت به تحديد حدود در منطقه در مقیاس ۱:۲۵۰۰ اقدام نموده و با مشورت شورای روستا، میراب و پرسش از اهالی برای تشخیص مالکان و تکمیل پرسشنامه اطلاعات توصیفی (نام مالک، نام خانوادگی، نام پدر و مساحت قطعه زمین و) و درج در بانک اطلاعاتی هر روستا به تفکیک اقدام کردد. به طور کلی مراحل اجرای طرح به شرح ذیل است:

۱. عکسبرداری هوایی
۲. تهیه اورتوفتوى عکسى
۳. ترسیم قطعات ملکی زراعی برروی عکس توسط عاملان زمینی
۴. ترسیم قطعات ملکی زراعی برروی تصاویر زمین مرجع شده در فرمت Geotiff توسط نرم افزار Microstation
۵. کنترل اطلاعات توسط عاملان زمینی
۶. پردازش اطلاعات رقومی در نرم افزارهای Autodesk map و Microstation به منظور بستن پلیگونهای مربوط به قطعات ملکی زراعی که شامل مراحل ذیل است:
- ۶.۱. کنترل سر آزاد المان
- ۶.۲. رفع به هم نرسیدگی و از هم رد شدگی المانها
- ۶.۳. یکپارچه کردن Arc ها

Windows 98 SE	سیستم عامل
Arcview 3.2 A	نرم افزار

نرم افزار و سیستم عامل

توضیح فیلد اطلاعاتی	عنوان فیلد اطلاعاتی
شماره قطعه زمین روی نقشه	شماره قطعه
کد منحصر بفرد هفت رقمی قطعات زمین، از هفت رقم مربوط به شماره زمین چهار رقم، سمت شماره قطعه زمین و سه رقم سمت جب شماره روستا خواهد بود	ID
نام مالک زمین	نام
نام خانوادگی مالک زمین	نام خانوادگی
نام پدر مالک زمین	نام پدر
مساحت قطعه زمین بر حسب متر مربع	مساحت
توضیحات	

سازمان مدیریت و برنامه ریزی کشور

سازمان نقشه برداری کشور

نمونه خلاصه شده شناسنامه تهیه شده برای روستای کماچال

پائین محله کاداستر زراعی گیلان

روستای کماچال پائین محله

سازمان آب منطقه ای گیلان

دفترچه اطلاعات توصیفی



مشخصات داده ها

ردیف	داده های روستای کماچال پائین محله			
	نام پدر	مساحت (مترمربع)	نام خانوادگی مالک	شماره قطعه
۱	ابراهیم	۸۲۷.۸۱	شهرزاد	۱۹۸۰۹۷۸ ۹۷۸
۲	حسن	۳۷۳۱.۵۵	اصغرزاده	۱۹۸۰۹۷۹ ۹۷۹
۳	قاسم	۳۱۸۰.۴۸	حمدی	۱۹۸۰۹۸۰ ۹۸۰
۴	علی‌حسین	۸۲۶۴.۲۵	علی	۱۹۸۰۹۸۱ ۹۸۱
۵	علی	۴۴۶۵.۹۹	علی	۱۹۸۰۹۸۲ ۹۸۲
۶	مصطفی	۱۸۶.۳۵	حليقت شناس	۱۹۸۰۹۸۳ ۹۸۳
۷	مصطفی	۵۴۴.۱۶	فیض‌الله	۱۹۸۰۹۸۴ ۹۸۴
۸	مصطفی	۱۹۹۴.۹۹	حليقت شناس	۱۹۸۰۹۸۵ ۹۸۵
۹	علی‌زاده	۱۲۰۵.۰۴	سکینه	۱۹۸۰۹۸۶ ۹۸۶
۱۰	علی‌زاده	۴۷۰.۱۷	بهر نصری	۱۹۸۰۹۸۷ ۹۸۷
۱۱	محمد‌آزاد	۱۶۴.۷۷	مرتضی	۱۹۸۰۹۸۸ ۹۸۸
۱۲	علی‌زاده	۱۷۰۰.۹۱	غلامرضا	۱۹۸۰۹۸۹ ۹۸۹
۱۳	علی‌زاده	۲۰۲۸.۴	محمد	۱۹۸۰۹۹۰ ۹۹۰
۱۴	علی‌زاده	۲۶۴۳.۱۳	مهدی	۱۹۸۰۹۹۱ ۹۹۱
۱۵	علی‌زاده	۶۷۴.۸۸	فریدن	۱۹۸۰۹۹۲ ۹۹۲

کل روستا: ۶۵

کاداستر زراعی روستای کماچال پائین محله

در انتهای کار، هر روستا شیت بندي شده و هر شیت جداگانه برش خورده و Layout هر روستا در محیط نرم افزار Arcgis تهیه گردید. به طور مثال روستای کماچال پائین محله دارای ۴ شیت به شماره های ۲۸۵، ۲۸۶، ۳۰۵، ۳۰۶ است.

امیرآباد	نام روستا
۶۵	کد روستا
	همکار محلی
۳۰۴	تعداد قطعات
۱۲۶۸۳۷۵	مساحت تمام قطعات
مترمربع	زراعی روستا
۱۰	تعداد صفحات
	دفترچه

راهنمای اطلاعات توصیفی

سازمان آب منطقه ای گیلان	سازمان سفارش دهنده
سازمان نقشه برداری کشور	سازمان تهیه کننده
۱۳۸۱-۱۳۸۲	تاریخ تهیه
در انحصار سازمان آب منطقه ای گیلان می باشد	حق دسترسی

اطلاعات کلی

موقع (شرکتی) زمینی در این طرح نامناسب بوده و مشکلاتی را سبب می شود که قابل روایابی و شناسایی نیستند.

۳. تنوع داده ها، مدیریت جدی تری را نیاز داشت که در این زمینه مدیریت نظارت و کنترل فنی در زمینه کنترل اطلاعات تولید شده در مدیریتهای مختلف دست اندکار، اقدام به تهیه بانک اطلاعاتی Relational database در محیط نرم افزار Access، برای کنترل طرح نمود.

۴. به دلیل تنوع داده های موجود، اصلاح Shape فایلها در دستور کار قرار گرفت که در کنار آن نیز بر حسب مورد، dgn های نهایی نیز اصلاح شد، ولی اصلاح مابقی نسخ به علت تعدد فرمتهای امکان پذیر نبود.

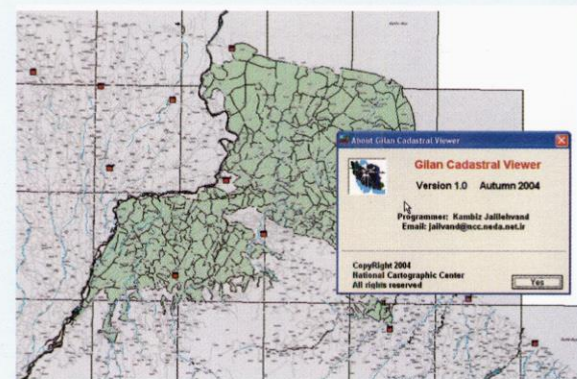
۵. از ابتدا اورلپ بین روستاهای دیده نشد. بنابراین بین دو روستا، احتمالاً قطعاتی وجود داشتند که برداشت نشده و یا دوبار برداشت شده بودند. پیشنهاد شد که برای کل منطقه و به صورت global تمامی روستاهای به صورت مرکز اورلپ گیری شوند. ۶. عدم وجود استاندارد و دستورالعمل کاری باعث برخی از ناهمانگیها شده بود. مثلاً در انتهای کار، استخراج پرونده ماهی را کارفرما مورد نیاز تشخیص داده که برداشت گردید.

۷. در تایپ موارد از روی کاغذ به فایل mdb کنترل لازم وجود نداشت. بنابراین در انتهای کار به صورت Random check این کنترل صورت پذیرفت.

۸. ارتباط عوامل زمینی با دیگر قسمتها تحکیم بخشیده شد. بدین منظور نماینده عاملهای زمینی با نماینده دیگر قسمتها اصلاحات خویش را مطرح کرده و این همانگیها صورت پذیرفت.

۹. در اثر حذف برخی از روستاهای در حین کار، عدم توالی کدها رخ داد. اگرچه در ابتدا این مورد مشکلی به وجود نمی آورد، اما در اثر تجمعی اراضی یا تفکیک آنها و متوالی نبودن کدها استفاده از سیستم را در آینده چهار مشکل می نمود، بنابراین در جلسات مسئولان همانگیها لازم برای توالی کدها صورت پذیرفت.

۱۰. در ابتدای کار و به درخواست کارفرما، مالک ملاک عمل قرار گرفته و کد به مالک تعلق می گرفت؛ یعنی اگر کسی ۲ یا چند قطعه زمین داشت، کدهای یکسانی به آن اراضی تعلق می گرفت



نرم افزار نمایشگر Gilan Cadastral Viewer با استفاده از نرم افزار Visual Basic و Map Object

تجارب به دست آمده در برخورد با موارد عدم هماهنگی طرح کاداستر گیلان

۱. در اثر عدم تطابق رکوردهای موجود در بانک اطلاعات mdb با تعداد کدهای فایل dgn مربوطه متوجه از بین رفتن (lost شدن) تعداد زیادی از قطعات زراعی شدیدم. در جلسات کارشناسی تصمیم گرفته شد که ناظر به محل رفته و با کمک عاملان زمینی مساله را حل و فصل نماید.

۲. به دلیل تنوع داده ها (دونسخه عکس، یک یا دو فایل dgn، یک فایل Shape، یک فایل mdb، یک جدول کاغذی قبل از فایل نمودن mdb، یک شناسنامه، یک فایل tiff و ...) و گستردگی خط تولید و عدم شفافیت در خواسته های کارفرما از ابتداء، ناهمانگیها وجود داشت که حضور ناظر مقیم را از ابتداء ضروری می ساخت. می توان گفت که استفاده از وجود عاملان

نتیجه‌گیری و مزایای طرح

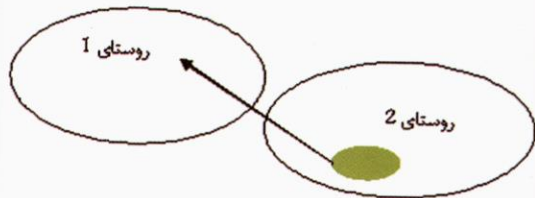
۱. اثر ژرف نقشه‌ها و اطلاعات به صورت یکپارچه در تصمیم‌گیری مسائل کاداستر زراعی
۲. کسب تجربه در زمینه کاداستر زراعی در سازمان نقشه‌برداری کشور
۳. ایجاد کار و بهره‌وری مناسب از نیروی انسانی کارآزموده سازمان نقشه‌برداری کشور
۴. مدیریت صحیح‌تر کارفرما در توزیع آب در منطقه با وجود اطلاعات و نقشه‌های بدقت مناسب
۵. ارائه الگوی جدید مدیریتی (مدیریت منابع آب) در سطح استان گیلان
۶. قابل ارائه بودن نمونه عملی فوق برای استانهای دیگر کشور
۷. اشاعه فرهنگ استفاده از نقشه و اطلاعات در تصمیم‌گیری‌های مدیریتی
۸. برنامه‌ریزی صحیح و مناسب برای آینده‌ای روشن‌تر در سطح استان
۹. بهره‌گیری از فناوری GIS به صورت کاربردی در اجرای طرح‌های آبی کشور

مراجع

۱. تجارب ارزنده همکاران مدیریت زمینی، هواشنی، GIS و نظارت سازمان نقشه‌برداری کشور
۲. یوسفی، رامین: کاداستر رقومی، چاپ اول، تهران، سازمان نقشه‌برداری کشور، ۱۳۸۰.

که این کار سبب بروز مشکلاتی می‌شد و تصمیم گرفته شده که یک کد به قطعات زمینی تعلق گیرد.

۱۱. به لحاظ اصرار برخی اهالی در وسط یک روستا قطعه زمینهایی به روستای دیگر تعلق می‌گرفت که مشکل عدم یکپارچگی اراضی را در پی داشت. این مورد به کارفرما منتقل شده و انتظار می‌رفت که مشکلات آینده که کارفرما با آن روبروست تذکر داده شود.



۱۲. در اثر گذشت زمان برخی نوشته‌های روی عکسها پاک شده بودند که خوشبختانه از روی اثر قلم بر روی عکسها همکاران به احیاء موارد پرداختند و سرعت طرح بالاتر رفت.

۱۳. به لحاظ عدم شناخت سازمان از نیازهای کارفرما و مهم‌تر از آن عدم شناخت کارفرما از نیازهای خود، نفس کار چنین بود که طرح رفته تکمیل شده و به سوی محصولات با کیفیت بیشتر پیش رفت. در اینجا وجود مدیریت کارдан و آگاه به مسائل مختلف خط تولید و هماهنگی همکاران در مدیریتهای مختلف باعث رفع موانع شد.

گزارش همایش پنجاهمین هفته فتوگرامتری

نویسنده: مهندس سید محمد ایازی

کارشناس ارشد فتوگرامتری سازمان نقشه برداری کشور، مدیریت فراسان

a.yazi@ncckh.ir

عنوان دوم مقالات «フトوگرامتری تحت Web و خدمات Geodata» بود که در این بخش ۱۰ مقاله در زمینه خدمات نقشه ایزی در Web، پردازش‌های توزیع یافته در اینترنت، تولید DTM با قدرت تفکیک بالا از منابع مختلف داده‌های تحت اینترنت، OGC و شناسایی داده‌های توزیع شده مکانی ارائه گردید.

آخرین عنوان مقالات به «چشم انداز فتوگرامتری در سال ۲۰۲۵ میلادی» پرداخته و ۱۳ مقاله در زمینه مدل‌سازی‌های سه‌بعدی، 3D City، استفاده از لیزراسکن در فتوگرامتری زمینی، حجم بالای اطلاعات اخذ شده در آینده و ترکیب آنها، حقیقت مجازی و نمایش عکس‌های واقعیت‌گرا و نیز چشم انداز خدمات ارائه شده توسط شرکتهای خدمات اینترنت مانند Phoogle ارائه گردید. در بخش کارگاه‌های آموزشی نیز شرکتهای Inpho، Leica، Intergraph و IGI شانزده کارگاه آموزشی در ۴ روز برگزار نمودند.

شایان ذکر است کتاب مجموعه مقالات و CD این همایش در کتابخانه سازمان نقشه برداری کشور موجود است. علاقمندان جهت کسب اطلاعات بیشتر در زمینه عناوین مقالات ارائه شده می‌توانند به پایگاه اینترنتی دانشگاه اشتوتگارت نیز مراجعه نمایند.
www.ifp.uni-stuttgart.de/phowo.en.html



مجموعه همایش‌های هفته فتوگرامتری از سال ۱۹۰۹ هجری دوره یک بار در یکی از دانشگاه‌های کشور آلمان برگزار می‌گردد. پنجاهمین دوره این همایش از پنجم تا نهم سپتامبر ۲۰۰۵ (چهاردهم تا هجدهم شهریورماه ۱۳۸۴) در شهر اشتوتگارت برگزار شد.

در این همایش با حضور حدود ۴۰۰ شرکت کننده از ۳۰ کشور جهان از جمله جمهوری اسلامی ایران، آخرین دستاوردهای علمی در زمینه فتوگرامتری ارائه شد.

این همایش از دو بخش ارائه مقالات به صورت سخنرانی و کارگاه‌های آموزشی تشکیل گردیده بود. در بخش ارائه مقالات در محل سالن آمفی تئاتر دانشگاه اشتوتگارت حدود ۴۰ مقاله ارائه گردید. مقالات این همایش در قالب سخنرانی‌های مقدماتی و سه عنوان اصلی ارائه گردید.

در سخنرانی‌های مقدماتی شرکتهای Inpho، Intergraph و IGI به ارائه پیشرفتهای نرم‌افزاری و سخت‌افزاری در زمینه فتوگرامتری پرداخته و یک سخنرانی از دانشگاه اشتوتگارت نیز ارائه گردید. پرسنل Fritsch، رئیس بخش فتوگرامتری دانشگاه اشتوتگارت و دبیر همایش نیز گزارشی از تاریخچه هفته فتوگرامتری و یک قرن تلاش موفق در زمینه فتوگرامتری مطالبی ایجاد نمود. اولین بخش مقالات با عنوان «جمع آوری داده‌های تصویری فتوگرامتری» با ۱۲ مقاله ارائه گردید. این بخش عمدتاً به ارائه تجهیزات جدید فتوگرامتری، دوربینهای هوایی رقومی، سنجنده‌های لیزراسکن، کالیبراسیون سنجنده‌ها و نیز مقلاطی در زمینه استفاده از منابع مختلف داده‌های تصویری برای افزایش دقیق استخراج عوارض، ارائه روش جدید عکسبرداری برای از بین بردن خطای اختلاف ارتفاع و سایه و نیز افزایش کارایی سنجنده‌های هوایی می‌پرداخت.

همایش‌های علمی انجمن بین‌المللی فتوگرامتری و دور کاوی (ISPRS) در سال ۲۰۰۶ میلادی

نویسنده: مهندس علی اسلامی (اد)

مدیر کل نقشه‌برداری هوایی سازمان نقشه‌برداری کشور

a-eslami@ncc.neda.net.ir

ارائه مقالات، بحث و تبادلهای نظرهای علمی و فنی، برگزاری نمایشگاهها و کارگاههای تخصصی، بازدیدهای فنی و ایجاد ارتباط بین کارشناسان

- تشویق متخصصان به انجام تحقیقات و فعالیتهای علمی در زمینه فتوگرامتری و دور کاوی از طریق ایجاد گروههای فنی و کاری.

- انتشار نتایج تحقیقات و فعالیتهای علمی در زمینه‌های مرتبط در سطح بین‌المللی از طریق ایجاد و انتشار آرشیو بین‌المللی فتوگرامتری و دور کاوی

- همکاری در جهت ایجاد انجمنهای ملی فتوگرامتری و دور کاوی و ایجاد ارتباط مستمر و مناسب بین این انجمنها ارکان اصلی انجمن عبارتست از مجمع عمومی مشکل از اعضاء، هیات رئیسه که توسط مجمع عمومی به مدت چهار سال انتخاب می‌شوند و گروههای فنی هشت گانه که وظيفة هدایت فعالیتهای فنی و تحقیقاتی را بر عهده دارند.

گروههای انجمن

بر طبق اساسنامه موجود، وظایف علمی و فنی انجمن بر عهده ۸ گروه فنی آن قرار دارد. روسای این گروهها در دوره‌های چهار ساله توسط مجمع عمومی انتخاب شده و کشور متبوع این افراد، مرکز هدایت گروه مربوطه در دوره مذکور است. در سال ۲۰۰۴ میلادی آخرین مجمع عمومی انجمن در شهر استانبول ترکیه برگزار و کشورها و افراد مندرج در جدول زیر به عنوان مرکز هدایت و رئیس هر گروه برگزیدند.

این گروهها هر یک در قالب چندین گروه کاری به ساماندهی و هدایت تحقیقات در زمینه‌های مربوطه می‌پردازنند. مشخصات

چکیده

انجمن بین‌المللی فتوگرامتری و دور کاوی (ISPRS) در راستای اهداف خود و در کنار همایش‌های علمی خود که در دوره‌های چهار ساله برگزار می‌شود، نسبت به برگزاری همایش‌های علمی تخصصی در حوزه فعالیتهای هر یک از گروههای فنی خود اقدام می‌نماید. دور بعدی این همایشها در فاصله بین دو همایش اخیر انجمن (۲۰۰۴ استانبول) و همایش بعدی (۲۰۰۸ پکن) یعنی در سال ۲۰۰۶ میلادی در کشورهای مختلفی برگزار می‌گردد. مطلب حاضر ضمن معرفی اجمالی انجمن و گروههای وابسته آن، به معرفی این همایش‌های علمی می‌پردازد.

انجمن بین‌المللی فتوگرامتری و دور کاوی

انجمن بین‌المللی فتوگرامتری و دور کاوی (ISPRS) انجمنی بین‌المللی و غیر دولتی است که با هدف گسترش همکاریهای بین‌المللی برای پیشبرد علوم فتوگرامتری، دور کاوی و اطلاعات مکانی و همچنین تحقیقات، آموزش، کاربردها و تلفیق آنها با سایر علوم ایجاد شده است. نگرش اصلی انجمن مشارکت با سایر نهادهای بین‌المللی برای ایجاد محیطی سالم و پایدار برای خدمت به بشریت است. اعضای این انجمن نمایندگان بیش از ۱۰۰ کشور جهان و عمدتاً از سازمانهای ملی و انجمنهای تخصصی مرتبط در کشور متابع خود هستند. سازمان نقشه‌برداری کشور نیز نماینده رسمی کشور جمهوری اسلامی ایران در این انجمن است.

فعالیتهای اصلی این انجمن بر طبق اساسنامه آن عبارتند از:

- برگزاری دوره‌ای و منظم همایش‌های بین‌المللی به منظور

کشور فلسطین اشغالی، اطلاعات مربوطه به این همایش ارائه نشده است.

۱. گروه ۱: اخذ اطلاعات تصویری، سنجنده‌ها و سکوها

عنوان اصلی همایش: از سنجنده‌ها تا تصاویر (FROM SENSORS TO IMAGERIES)

عناوین فرعی:

- روش‌های کالیبراسیون آزمایشگاهی سنجنده‌ها
- کالیبراسیون رادیومتریک و هندسی سنجنده‌ها در حین کار و ارزیابی عملکرد سیستم
- روند فناوری و پیشرفت‌های سیستمهای InSAR و LIDAR
- ارزیابی سیستمهای پردازش داده‌های SAR و LIDAR
- تلفیق سیستمهای نوری، InSAR و LIDAR
- بررسی قابلیت‌های سیستمهای مبتنی بر چند سکو و شبکه‌های سنجنده‌ها
- تلفیق سنجنده‌های تصویربرداری با سنجنده‌های دیگر برای ایجاد شبکه‌های سنجنده‌ها
- مرجع دهی مستقیم
- ارزیابی سنجنده‌های رقومی هوایی مورد استفاده در فتوگرامتری
- تلفیق سنجنده‌های رقومی هوایی با سنجنده‌های دیگر

هر یک از گروه‌های کاری در پایگاه اینترنتی انجمان به آدرس WWW.ISPRS.ORG و پایگاه‌های اینترنتی هر یک از گروه‌ها که در جدول زیر درج شده، قابل دسترسی است.

بر اساس روال موجود انجمان، نتایج فعالیت‌های علمی هر دوره گروه‌ها در پایان هر دوره به صورت عمومی طی همایش‌های بین‌المللی انجمان و در فاصله دو همایش طی همایش‌های تخصصی علمی در کشورهای عهده‌دار هر گروه برگزار می‌شود. در دوره کنونی (۲۰۰۸ تا ۲۰۰۴) نیز گروه‌های علمی انجمان برنامه‌ریزی اولیه برای برگزاری این همایش‌های علمی در سال ۲۰۰۶ میلادی را انجام داده‌اند که شرح آن در ادامه خواهد آمد.

مشخصات همایش‌های علمی سال ۲۰۰۶ میلادی

در این بخش، مشخصات همایش‌های تخصصی علمی که در سال ۲۰۰۶ میلادی توسط گروه‌های ۱ تا ۷ برگزار می‌شود، اعلام می‌گردد. متخصصان و محققان علاقمند به همکاری با مجتمع علمی و همچنین افرادی که مایل به ارائه نتایج تحقیقات خود در همایش‌های علمی معتبر هستند می‌توانند ضمن استفاده از این اطلاعات به پایگاه‌های اینترنتی اعلام شده نیز مراجعه نمایند. شایان ذکر است که با توجه به برگزاری همایش علمی گروه ۸ در

کشور	عنوان رئیس در دوره ۲۰۰۴ تا ۲۰۰۸ آدرس پایگاه اینترنتی گروه	عنوان	گروه
فرانسه	Alain Baudoin http://www.commission1.isprs.org	اخذ اطلاعات تصویری، سنجنده‌ها و سکوها	۱
اطریش	Wolfgang Kainz http://www.commission2.isprs.org	ثوری و اصول کار با داده‌ها و اطلاعات مکانی و زمانی	۲
آلمان	Wolfgang Forstner http://www.commission3.isprs.org	دید رایانه‌ای فتوگرامتری و آنالیز تصویر	۳
هند	Shailesh Nayak http://www.commission4.isprs.org	پایگاه‌های اطلاعات مکانی و تهیه نقشه‌های رقومی	۴
آلمان	Hans-Gerd Maas http://www.commission5.isprs.org	سنجه بر د کوتاه-آنالیز و کاربردها	۵
ژاپن	Kohei Cho http://www.commission6.isprs.org	آموزش و ارتباطات	۶
هلند	John Van Genderen http://www.commission7.isprs.org	پردازش، آنالیز و مدل‌سازی موضوعی داده‌های دورکاوی	۷
فلسطین اشغالی	Ammatzia Peled http://www.commission8.isprs.org	کاربردها و سیاستهای دورکاوی	۸

- کیفیت داده‌ها و مدل‌های مکانی - زمانی
- سیستم‌های پویا و چند بعدی و کاربردهای آنها
- زمان برگزاری همایش: ۱۲ تا ۱۴ جولای ۲۰۰۶ (۲۳ تا ۲۳ تیرماه ۱۳۸۵)
 - محل برگزاری: دانشگاه وین، وین، اتریش
 - تاریخهای مهم:
 - ۳۱ مارس ۲۰۰۶: پایان ثبت نام
 - ۹ دسامبر ۲۰۰۵: پایان ارسال مقاله کامل
 - ۱۳ فوریه ۲۰۰۶: اعلام مقالات پذیرفته شده
 - نکات مهم: پذیرش مقالات بر اساس بررسی مقاله کامل صورت می‌گیرد. نام همایش GOCON2006 است که همزمان با دوازدهمین همایش SDH و همایش سالانه کارتوگرافی اروپای مرکزی برگزار می‌شود. در تهیه مقاله کامل، شرایط مندرج در کتاب نارنجی انجمن (قابل دستیابی در پایگاه اینترنتی (<http://www.isprs.org/documents/orangebook/app5.html>) رعایت گردد.
 - ارسال مقالات: پست الکترونیکی isprs@gicon2006.at
 - گروه ۳: دید رایانه‌ای فتوگرامتری و تجزیه و تحلیل تصویر عنوان اصلی همایش: دید رایانه‌ای فتوگرامتری (PHOTOGRAMMETRIC COMPUTER VISION PCV'06)
 - عنوان فرعی: هنوز اعلام نشده
 - زمان برگزاری همایش: ۱۹ تا ۲۲ سپتامبر ۲۰۰۶ (۲۸ تا ۳۱ شهریورماه ۱۳۸۵)
 - محل برگزاری: موسسه فتوگرامتری دانشگاه بن، بن، آلمان
 - تاریخهای مهم:
 - ۲۷ مارس ۲۰۰۶: پایان ارسال مقاله کامل
 - ۳۱ جولای ۲۰۰۶: اعلام مقالات پذیرفته شده
 - ۳۱ جولای ۲۰۰۶: پایان ارسال مقالات اصلاح شده
 - نکات مهم: پذیرش مقالات بر اساس بررسی مقاله کامل صورت می‌گیرد. در تهیه مقاله کامل، شرایط مندرج در کتاب نارنجی انجمن (قابل دستیابی در پایگاه اینترنتی (<http://www.isprs.org/documents/orangebook/app5.html>) رعایت گردد.
- ماهواره‌های با قدرت تفکیک خیلی زیاد
- مدل‌سازی هندسی تصاویر فضایی
- تهیه نقشه‌های توپوگرافی از تصاویر هندسی با قدرت تفکیک زیاد
- ماهواره‌های کوچک
- کنترل هوشمند و خودکار سنجنده‌ها و سکوها
- پردازش داده‌ها به صورت همزمان (On-board)
- سنجنده‌های هوشمند
- پرنده‌های بدون سرنشین و ناوبری روباتیک
- ناوبری با استفاده از تصاویر
- تلفیق سنجنده‌ها و سکوها مختلف برای ناوبری خودکار
- زمان برگزاری همایش: ۳ تا ۶ جولای ۲۰۰۶ (۱۲ تا ۱۵ تیرماه ۱۳۸۵)
 - محل برگزاری: Marne-la-Vallée، پاریس، فرانسه
 - تاریخهای مهم:
 - نومبر ۲۰۰۵: آغاز ثبت نام
 - فوریه ۲۰۰۶: پایان ارسال خلاصه مقالات
 - مارس ۲۰۰۶: اعلام مقالات پذیرفته شده
 - می ۲۰۰۶: پایان ارسال مقاله کامل
 - نکات مهم: در تهیه خلاصه مقاله و مقاله کامل، شرایط مندرج در کتاب نارنجی انجمن (قابل دستیابی در پایگاه اینترنتی (<http://www.isprs.org/documents/orangebook/app5.html>) رعایت گردد.
- گروه ۲: مبانی نظری و اصول کار با داده‌ها و اطلاعات مکانی و زمانی
 - عنوان اصلی همایش: اطلاعات مکانی، ارتباط دهنده جوامع (GEOINFORMATION CONNECTING SOCIETIES)
 - عنوان فرعی:
 - مدل‌سازی مکانی - زمانی
 - تجزیه و تحلیل فضایی و استخراج داده‌ها
 - ارائه چندگانه داده‌های تصویری و برداری
 - برنامه‌ریزی مکانی و سیستم‌های حمایت تصمیم‌گیری
 - تلفیق و تعامل سیستمها

- ۲۸- فوریه ۲۰۰۶: اعلام مقالات پذیرفته شده
۳۰- ژوئن ۲۰۰۶: پایان ارسال مقاله کامل
- نکات مهم: خلاصه مقالات باید در حداقل ۱۰۰۰ کلمه برای دبیر همایش ارسال گردد. در تهیه خلاصه مقاله و مقاله کامل، شرایط مندرج در کتاب نارنجی انجمن (قابل دستیابی در پایگاه اینترنتی (<http://www.isprs.org/documents/orangebook/app5.html>) رعایت گردد.
- دیپرمر همایش: Dr.S.KPathan, پست الکترونیکی:
shailesh@sac.isro.gov.in
- ۵ گروه ۵: سنجش برد کوتاه-تجزیه و تحلیل و کاربردها**
● عنوان اصلی همایش: مهندسی تصاویر و متراولوژی بینایی (IMAGE ENGINEERING AND VISION METROLOGY)
● عنوان فرعی:
- روش‌های فتوگرامتری در فرآیندهای طراحی، تولید و کنترل کیفیت صنعتی
- مهندسی تصویر با فنون مبتنی بر CAD/CAM
- سیستمها، روشها و کاربردهای ثبت و مستندسازی میراث فرهنگی
- روش‌های ردیابی، تجزیه و تحلیل حرکات و اندازه‌گیری تغییر شکل در موضوعات سه بعدی
- اخذ داده‌های سه و چهار بعدی برای حقیقت مجازی و پویانمایی رایانه‌ای
- سیستمهای روباتیک صنعتی خودکار
- اسکن لیزری زمینی
- روش‌های تلفیقی برای اخذ و پردازش داده‌های تصویری و ابر نقاط
- روش‌های تلفیق داده‌ها و سنجنده‌های مختلف
- کاربردهای پزشکی
- خودکارسازی در پردازش داده‌های فتوگرامتری با تاکید بر بهینه سازی دقت و صحت
● زمان برگزاری همایش: ۲۵ تا ۲۷ سپتامبر ۲۰۰۶ (۳ تا ۵

- ارسال مقالات: موسسه فتوگرامتری دانشگاه بن، پست الکترونیکی: photogrammetry@uni-bonn.de
- ۴ گروه ۴: پایگاه‌های اطلاعات مکانی و تهیه نقشه‌های رقومی
● عنوان اصلی همایش: پایگاه داده‌های مکانی برای توسعه پایدار (GEOSPATIAL DATABASES FOR SUSTAINABLE DEVELOPEMENT)
- عنوان فرعی:
- ایجاد، مدیریت و دسترسی به پایگاه‌های داده‌های مکانی زمانی
- زیرساخت‌های داده‌های مکانی
- پایگاه داده‌های مکانی بر مبنای تصاویر
- نقشه‌برداری غیر زمینی و پایگاه داده‌های مکانی مربوط
- پایگاه‌های داده‌های محیط زیست جهانی
- تلفیق داده‌های دور کاوی
- استخراج داده‌های جهانی و تغییرات محیط زیست
- روش‌های پیشرفته برای حل مشکلات کشورهای کمتر توسعه یافته
- آرشیوهای غیر مرکز و دسترسی به منابع اطلاعاتی دور دست شامل متادیتا و استانداردهای داده‌های رقومی
- ذسترسی و کار با داده‌های مکانی از طریق شبکه وب و خدمات مکانی بر مبنای وب
- سیستمهای اطلاعات مکانی پویا و بازنگری داده‌های مکانی
- ایجاد پایگاه اطلاعات برای طرحهای تهیه نقشه‌های توپوگرافی و موضوعی (شامل تصاویر ارتو و مدل ارتفاعی رقومی)
- مدل‌های رقومی برای ارائه اطلاعات و مدل‌های بزرگ مقیاس شهری
- تجزیه و تحلیل نیازهای کاربران و طراحی سیستمهای تولید و بهنگام سازی اطلاعات مکانی
● زمان برگزاری همایش: ۲۷ تا ۳۰ سپتامبر ۲۰۰۶ (۵ تا ۸ مهرماه ۱۳۸۵)
- محل برگزاری: هتل Marriot، گوا، هند
- تاریخهای مهم:
- ۳۰ ژوئن ۲۰۰۶: پایان ثبت نام
- ۳۱ ژانویه ۲۰۰۶: پایان ارسال خلاصه مقالات

کامل باید شرایط مندرج در کتاب نارنجی انجمن (قابل دستیابی در پایگاه اینترنتی

(<http://www.isprs.org/documents/orangebook/app5.html>) رعایت گردد.

● دبیر همایش: **Mitsunori Yoshimura**, پست الکترونیکی:

yosh@chikyu.ac.jp

۷. گروه ۷: پردازش، آنالیز و مدل سازی موضوعی داده های دور کاوی

عنوان اصلی همایش: دور کاوی: از پیکسل تا پردازش
(REMOTE SENSING: FROM PIXELS TO PROCESSES)

● عنوانین فرعی:

- مدل سازی و فیزیک بنیادی

- استخراج اطلاعات از داده های SAR

- استخراج اطلاعات از داده های فراتفی (Hyperspectral)

- روش های طبقه بندی پیشرفته

- پردازش داده های با مبنای زمانی مختلف و تشخیص تغییرات

- تلفیق داده های دور کاوی

- استخراج داده های جهانی و تغییرات محیط زیست

- روش های پیشرفته برای حل مشکلات کشورهای کمتر توسعه یافته

● زمان برگزاری همایش: ۸ تا ۱۱ می ۲۰۰۶ (۱۸ تا ۲۱ اردیبهشت ماه ۱۳۸۵)

● محل برگزاری: موسسه ITC، انسخده، هلند

● تاریخهای مهم:

- ۳۱ مارس ۲۰۰۶: پایان ثبت نام

- ۱۵ دسامبر ۲۰۰۵: پایان ارسال خلاصه مقالات

- ۱۵ ژانویه ۲۰۰۶: اعلام مقالات پذیرفته شده

- آوریل ۲۰۰۶: پایان ارسال مقاله کامل

● نکات مهم: در تهیه خلاصه مقاله و مقاله کامل، شرایط مندرج در کتاب نارنجی انجمن (قابل دستیابی در پایگاه اینترنتی (<http://www.isprs.org/documents/orangebook/app5.html>) رعایت گردد.

● دبیر همایش: **Saskia Tempelman**, پست الکترونیکی:

isprsc7@itc.nl

مهر ماه (۱۳۸۵)

● محل برگزاری: دانشگاه صنعتی درسدن، درسدن، آلمان

● تاریخهای مهم:

۱ آوریل ۲۰۰۶: پایان ارسال مقاله کامل

● نکات مهم: پذیرش مقالات بر اساس بررسی مقاله کامل صورت می گیرد. برای تهیه مقاله کامل باید شرایط مندرج در کتاب نارنجی انجمن (قابل دستیابی در پایگاه اینترنتی (<http://www.isprs.org/documents/orangebook/app5.html>) رعایت گردد.

● دبیر همایش: **Prof.Dr.Hans-Gerd Maas**, پست الکترونیکی:

hansgerd.maas@tu-dresden.de

۶. گروه ۶: آموزش و ارتباطات

عنوان اصلی همایش: آموزش الکترونیک و گامهای بعدی

برای آموزش (AND THE NEXT STEPS FOR EDUCATION

(E-LEARNING)

● عنوانین فرعی:

- ترویج آموزش در سطوح پایه، پیشرفته و تخصصی

- ترویج انتقال فناوری با درنظر گرفتن نیازهای منطقه ای و

منابع موجود

- آموزش و تدریس با استفاده از رایانه و از راه دور

- همکاری با هیات رئیسه انجمن در ترویج فعالیتهای انجمن

در مناطق مختلف

- روش های پیشرفته برای نشر اطلاعات بر روی اینترنت

- بهبود کیفیت محتوى و فرمت انتشارات انجمن بر روی پایگاه

اینترنتی

● زمان برگزاری همایش: ۲۷ تا ۳۰ ژوئن ۲۰۰۶ (۶ تا ۹ تیرماه ۱۳۸۵)

● محل برگزاری: دانشگاه توکیو، توکیو، ژاپن

● تاریخهای مهم:

- ۳۰ سپتامبر ۲۰۰۵: شروع ثبت نام اینترنتی بر روی پایگاه گروه

- ۳۱ ژانویه ۲۰۰۶: پایان ارسال خلاصه مقالات

- ۳۱ مارس ۲۰۰۶: پایان ارسال مقاله کامل

● نکات مهم: خلاصه مقالات باید در حداقل ۸۰۰ کلمه برای

دبیر همایش ارسال گردد. برای تهیه خلاصه مقاله و همچنین مقاله

تازه‌های فناوری

گوگل واد بازا عکس‌های ماهواره‌ای شد.

مهندس محمود بخان ور

www.bbc.co.uk

۲۰۰۵ آوریل

پایگاه اینترنتی گوگل خدمات جدیدی را ارائه کرده است که با استفاده از آن می‌توان تصاویر بناهای و مکانهای معروف آمریکای شمالی را از نگاه ماهواره مشاهده نمود. این موتور جستجوگر اکنون تصاویر ماهواره‌ای بسیاری از مکانهای آمریکا و کانادا را در اختیار مراجعه کنندگان می‌گذارد. کاربران کافی است کدیپستی محل مورد نظر را بنویسند تا تصویر ماهواره‌ای آنجا را مشاهده کنند.

شرکت "کی هول" این خدمات را ارائه می‌دهد و گوگل آن را سال گذشته خریداری نمود. این شرکت تصاویر ماهواره‌ای سراسر جهان را در اختیار دارد، ولی گوگل فعلًا عکس‌های آمریکای شمالی را عرضه می‌نماید.

اگرچه تصاویر ماهواره‌ای چندی است که از انحصار سازمانهای جاسوسی خارج شده و در دسترس عموم قرار گرفته، اما هزینه‌های بالا آن باعث شده است اکثر مردم نتوانند از این تجربه بهره مند شوند.

شرکت "ارت ست" عکس‌های خود را می‌فروشد، اما گوگل عکس‌های خود را رایگان عرضه کرده و انتظار می‌رود این رقابت به یک جنگ قیمت در این صنعت

فورته، سنجنده‌های دیگری مشابه این سنجنده‌ها رانیز تولید نموده است. مارک هاتسون به عنوان مدیر طرح فورته در لاس‌الاموس در این باره می‌گوید: «ماهواره فورته به صورت مستمر در جستجوی آزمایش‌های هسته‌ای است. آزمایش‌های توانند در عمق کمی از زیرزمین تا مسافت‌های دور در فضا انجام داده شوند. با استفاده از سنجنده‌های نصب شده بر روی فورته می‌توان همه جا آنها را ردیابی نمود.

فورته می‌تواند جرقه ناشی از انفجار هسته‌ای را نیز تشخیص دهد. این در حالی است که چنین جرقه‌ای مشابه رعد در آسمان است. ابزار پیشرفته ماهواره فورته اطلاعات را از سنجنده‌ها گرفته و تجزیه و تحلیل می‌کند تا منشانور یا جرقه را تشخیص دهد.

آقای هاتسون می‌افزاید: «یک مشکل دیگر، سیگنال یا علائم تلویزیونی در طیف فرکانس‌های انفجارهای هسته‌ای است (اموجی که توسط دیش‌های ماهواره‌ای در خانه‌ها دریافت می‌شود). تمامی این عوامل، علائم و فرکانس‌های هسته‌ای را که ما می‌خواهیم تحت نظر داشته باشیم تحت الشاعر قرار می‌دهد».

وی ادامه می‌دهد: «سنجنده‌ها علائم تمامی تجهیزات هسته‌ای را ردیابی می‌کنند. از ابتدایی ترین نوع که حاکی از اقدامات اولیه است تا پیچیده‌ترین نوع علائم که نشان‌دهنده اقداماتی پیشرفته است. ما در حال تولید سنجنده‌هایی هستیم که مشکل فرکانس‌های تلویزیونی را هم برطرف نمایند. اطلاعات فورته چندین مرتبه در روز توسط ایستگاه‌های زمینی در نیومکزیکو و آلاسکا ثبت و تجزیه و تحلیل می‌شود».

نوپا تبدیل شود. وضوح برخی از تصاویر ماهواره‌ای گوگل خیره‌کننده است. شما به کمک ابزار زوم می‌توانید جزئیات خانه‌ها و حتی خودروها را ببینید. تقریباً هر آدرسی در آمریکای شمالی یک عکس ماهواره‌ای دارد، اما شرکت "کی هول" برای فرونشاندن نگرانی مردم از به خطر افتادن حریم خصوصی شان تاکید می‌کند که دست کم شش ماه از عمر تصاویرش می‌گذرد.

در همین حال، یک وب نوشت به نام «شردیز» شروع به گردآوری لینک تصاویر برخی از معروف‌ترین و عجیب‌ترین اماکن آمریکا کرده است. ورزشگاه‌های فوتبال، نیروگاه‌های اتمی و پایگاه‌های هوایی برخی از مکانهایی هستند که می‌توان به تصاویر ماهواره‌ای آنها دست یافت.

ماهواره جستجوگر هسته‌ای

sciensetechnology.com

سپتامبر ۲۰۰۵

سال است که ماهواره پوششگر فورته در حال گردش به دور زمین می‌باشد تا تمامی سطح زمین را پویش نموده و اطلاعات آن را به ایالات متحده ارسال نماید. این ماهواره در حال چرخش می‌تواند تمامی انفجارها و آزمایشگاه‌های هسته‌ای را ردیابی نماید. فورته مجهز به سنجنده‌های فیر نوری و فرکانس‌های رادیویی است. این نوع سیستم در آسمان به دنبال جرقه‌ای از روشنایی یا امواج رادیویی که توسط سلاحهای هسته‌ای تولید می‌گردد.

آزمایشگاه ملی لاس‌الاموس در ایالت نیومکزیکو به عنوان یکی از تولید کنندگان

قابل توجه جویندگان

نوآوریهای علمی - فنی

اولین کتاب راهنمای استفاده از

Auto CAD Land Development

منتشر شد.

این کتاب که تالیف مهندس شیرزاد روحی، کارشناس سازمان نقشه برداری کشور است، بر اساس تجربیات تدریس وی در دانشگاهها و مبتنی بر شناخت و دریافت نیازهای کاربران طی فعالیت ممتد در موسسات مختلف و پرداختن به کارهای اجرایی تدوین و تنظیم شده است.

سازمان نقشه برداری کشور با چاپ این کتاب (در ۲۲۵ صفحه)، در ارتقا دانش جامعه نقشه برداران در زمینه نرم افزارهای گرافیکی تهیه نقشه گامی دیگر برداشته است.

مطابق توضیحات مؤلف، کاربران این کتاب عبارتند از قشر وسیع نقشه برداران (اعم از دانشجو، استاد، پژوهشگر، عاملان اجرایی، متورها، مهندسان برنامه ریز، و مدیران هدایتگر) و متخصصان سایر رشته های مرتبط نظیر عمران، معماری، معدن و تمامی کاربران AutoCAD.

آنچه بر اهمیت کتاب می افزاید، آن است که نوعی ترکیب SDR Map و CAD Auto در یک محیط کاربر پسند با دسترسی آسان در این کتاب آموزش داده می شود. به عبارت دیگر، تمام قابلیت های Map Auto CAD را در کنار توانایی های شگرف SDR در اختیار کاربر قرار می گیرد، با این تفاوت که دشواری ناشی از وجود نارسانی های ویرایشی قبلی هر کدام از این دو نرم افزار کار آمد نیز برطرف شده است.

گردید.

در سال ۱۹۹۹، دانشمندان آمریکایی با استفاده از سیستم ماهواره ای موقعیت یاب جهانی (GPS) بار دیگر آن را اندازه گیری کردند.

آنها و انجمن «نشان جئوگرافی» نتیجه گیری کردند که ارتفاع آن دو متر بیشتر یعنی ۸۸۵۰ متر است. اما اکنون با پذیرده گرم تر شدن زمین و ذوب شدن یخهای بلندترین کوه جهان، ظاهرا از ارتفاع آن کاسته شده است.

دانشمندان چینی در ماه مارس ضمن انجام مطالعات تازه ای سعی خواهند کرد تا تخمینهایی را که می گوید ارتفاع آن بیش از یک متر کاهش یافته است محک بزنند.



زمین یک درجه گرم تر شد

مهندس محمود بخان ور

۱۳۸۴ مهر - isna.ir

کمیته بین المللی تغییرات جوی اخیرا اعلام کرده است دمای میانگین زمین در قرن بیستم، یک درجه فارنهایت افزایش یافته است. این افزایش دما آخرین افزایش دما در هزار سال گذشته بوده است. بنابر اعلام این کار گروه، سال ۱۹۹۸ میلادی گرم ترین سال محسوب می شود، این در حالی است که با توجه به شرایط فعلی این امکان وجود دارد که سال ۲۰۰۵ گرم تر از سال ۱۹۹۸ باشد.

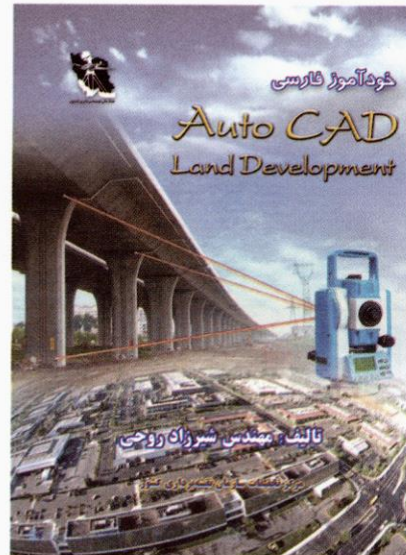
چین ارتفاع اورست را اندازه می گیرد

www.bbc.co.uk

۲۰۰۵ ژانویه

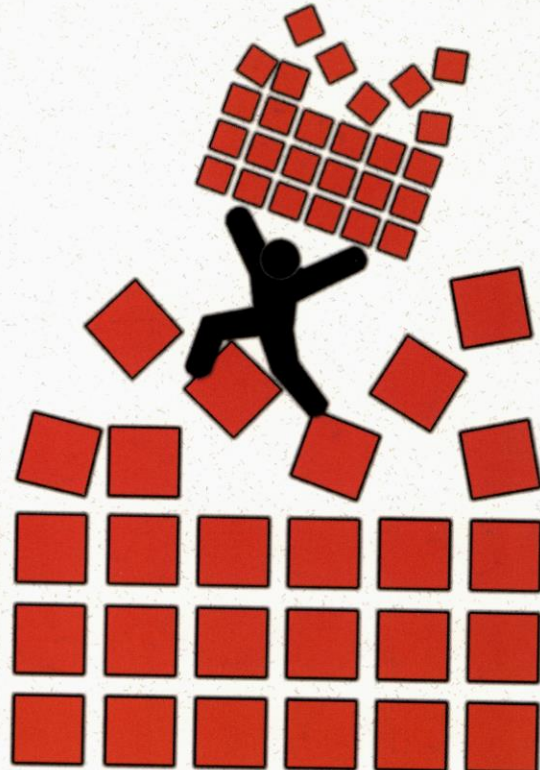
چین قصد دارد ارتفاع بلندترین قله جهان، اورست، را دوباره اندازه گیری کند؛ چرا که نگران آب رفتان آن است.

مطالعات تازه نشان داده است که این قله به علت پذیرده افزایش دمای زمین، ۷۳ متر کوتاه تر شده است. ارتفاع این کوه که در مرز میان چین و نپال قرار دارد همواره محل بحث و اختلاف نظر بوده است. ارتفاع آن ابتدا در دهه ۱۸۵۰ میلادی اندازه گیری شد و در محاسبات دقیق تری که ایتالیایی ها ۱۰۰ سال بعد انجام دادند معادل ۸۸۴۸ متر برآورد



**www.
doursanj
.com**

- اطلاعات فنی کلیه تجهیزات زیبایی
- اطلاعات کامل در مورد تخصصاتی ما
- افکار مبدع دنیای نقش و زیبایی
- آموزن اطلاعات تصفیهی ماده از سطح ایران
- طراحی زیبا توسط مدیدترین تکنیک های دنیا
- تماس مستقیم با مشاوران ما



دورسانج

مددگاری مشاور

مجری کلیه پروژه های نقشه بوداری

نیوپاکت انتشاری تجهیزات زیبایی کشور چین در ایران

دفتر مرکزی :

تهران - تقاطع شهروردي شمالی و خیابان مطهری

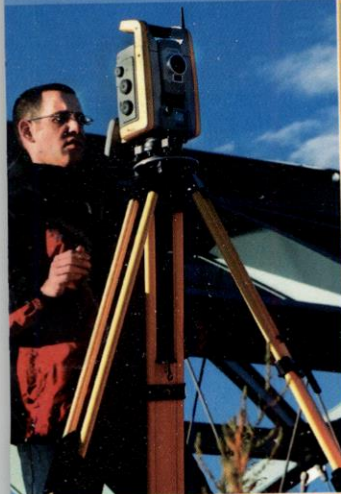
خیابان باغ - شماره ۳۵

تلفن : ۰۵۱-۸۸۷۴۳۰۰۵ - ۰۲۶-۸۸۷۵۷۵۱۰

پخش بازرگانی : ۰۲۶-۸۸۷۴۸۰۲۵ - ۰۲۶-۸۸۷۴۸۰۳۴

پست الکترونیک : doursanj@dpimail.net

ویب سایت : www.doursanj.com



مزایا و نکات فنی

- رانش مغناطیسی

به علت استفاده از تکنیک بسیار پیشرفته بالشتکهای شناور مغناطیسی هم اکنون این توتال بدون صدا ، با مصرف بسیار اندک ، با سرعت و دقیق غیر قابل تصور در اختیار شماست .

- تعقیب همزمانه چند منشور

امکان ترکیب منشور های قدیمی با تکنولوژی جدید تشخیص منشور برای پرهیز از اشتباه در گرفتن هدف درست

- تارگت گذاری دقیق

تصحیح اتوماتیک قراولروی دقیق اندازه گیری را برای شما ، حتی در شرایط غیر قابل اندازه گیری همچون باد های شدید و یا لرزش شدید سه پایه تصمیم می کند .

- کنترلر پیشرفته TCU مجهز به ویندوز با صفحه نمایش رنگ

حساس به تماس با قابلیت پشت زمینه کردن فایل های DXF

مجهز به پورت LAN , BLUETOOTH , USB

- قابلیت کنترل GPS های Trimble با TCU

- سرعت اندازه گیری بالای طول

- برد اندازه گیری بدون منشور تا ۸۰۰ متر

- فوکوس الکترونیکی

- مامشه اندازه گیری

